



توکسینولوژی حلزون‌های زهر آگین دریایی

غلامحسین محبی (PhD)^{۱*}، ایرج نبی پور (MD)^{۱**}

^۱ مرکز تحقیقات زیست فناوری دریایی خلیج فارس، پژوهشکده علوم زیست پزشکی خلیج فارس، دانشگاه علوم پزشکی بوشهر، بوشهر، ایران

(دریافت مقاله: ۱۴۰۰/۵/۲۵ - پذیرش مقاله: ۱۴۰۰/۷/۳۰)

چکیده

تعداد گونه‌های حلزون‌های دریایی زهرآگین به طرز شگفت‌آوری زیاد هستند. ونوم‌های مخروطی‌ها، در یک مجرای لوله‌ای طویل از یک دستگانه زهری پیچیده، تولید می‌شوند و کوکتلی از توکسین‌های متعدد به‌ویژه کونوتوکسین‌ها را تشکیل می‌دهند که از قدرت و اختصاصیت بالایی برای گیرنده‌های اختصاصی اهداف خود برخوردار هستند. آن‌ها کانال‌ها، گیرنده‌های مختلف عصبی عضلانی و یا هورمون‌های قربانی را مهار و موجب تداخل در سیگنال‌های انتقالی طعمه یا بازدارنده شکارچیان می‌گردند. حلزون‌های مخروطی، توانایی شگفت‌انگیزی برای جابجایی سریع بین دو نوع مختلف ونوم‌های شکاری یا دفاعی در پاسخ به محرک‌های دفاعی یا شکاری را دارا می‌باشند. کونوتوکسین‌ها و کونوپپتیدهای مختلفی چون α -کونوتوکسین‌ها، σ -کونوتوکسین‌ها، θ -کونوتوکسین‌ها، μ -کونوتوکسین‌ها، ψ -کونوتوکسین‌ها، τ -کونوتوکسین‌ها، δ -کونوتوکسین‌ها و κ -کونوتوکسین‌ها، کونوکونیتزین‌ها، کونانتوکین‌ها، کونترفان‌ها، کونوتوکسین‌های Acl، کونوانسولین‌ها، کونوتوکسین‌های شبه-گرانولین از کونوتوکسین‌ها؛ اوگرپیتیدها از ونوم‌پپتیدهای خانواده تربریده؛ تورپپتیدها از ونوم‌پپتیدهای خانواده توریده؛ کراسپپتیدها از ونوم‌پپتیدهای حلزون‌های کراسیسپیریده؛ کلاتورلیپتیدها از ریزکونوتوکسین‌های زهرآگین کلاتورلیده و توکسین‌های دیگری چون پپتیدهای آرفامید و شبه‌نوروپپتیدهای درون‌زایی نظیر کونوپرسین‌ها و نیز کونوتولاکین‌ها در زهر مخروطی‌ها دیده شده‌اند که عمکردهای زیستی و فارماکولوژیک شگفت‌انگیزی را نشان داده‌اند. با توجه به مورد تأیید قرار گرفتن برخی کونوتوکسین‌ها از جمله داروی ضد درد زیکونیتاید (Prialt®)، در کارآزمایی‌های بالینی و پتانسیل زیست پزشکی آن‌ها، تحقیقات فعلی به این توکسین‌ها معطوف گشته است. استفاده از رویکردهای ونومیکس یکپارچه، سرعت کشف توالی‌های کونوتوکسین بیان شده را به طرز چشمگیری افزایش داده است. امید است که با درک بهتر و شناسایی کونوتوکسین‌ها و سایر توکسین‌های به‌دست آمده از سایر حلزون‌های دریایی، در درمان بیماری‌هایی که بشر در برابر آن‌ها تسلیم شده است، مورد استفاده قرار گیرند.

واژگان کلیدی: حلزون‌های دریایی، ونوم، توکسین، مکانیسم عمل

^{**}بوشهر، مرکز تحقیقات زیست فناوری دریایی خلیج فارس، پژوهشکده علوم زیست پزشکی خلیج فارس، دانشگاه علوم پزشکی بوشهر، بوشهر، ایران

Email: inabipour@gmail.com

*ORCID: 0000-0003-3393-702X

**ORCID: 0000-0002-1785-0883

مقدمه

حلزون‌های مخروطی

ونوم‌های جانوران زهرآگین، بارها و بارها به‌طور مستقل، در دودمان‌های مختلف فیلوژنتیک تکامل یافته‌اند. تنوع زیستی جانوران زهرآگین که امروزه در زیستگاه‌های مختلف زندگی می‌کنند ممکن است بیش از ۱۰۵ گونه باشد. بدون شک، گروه‌های زمینی همچون مارها، عنکبوت‌ها، عقرب‌ها، و زنبورها جزو شناخته شده‌ترین‌ها هستند (۱). با این حال، محیط زیست دریایی نیز دارای یک تنوع زیستی قابل مقایسه با جانوران زهرآگین خشکی است و در مورد برخی از آن‌ها چون عروس‌های دریایی که اغلب موجب آسیب به انسان می‌گردند اطلاعات بیشتری وجود دارد (۲).

گاستروپودهای دریایی غارتگر از تیره کونوس، متعلق به کلاس طبقه‌بندی نئوگاستروپودا^۱ هستند که شامل سه بالاخانواده موریکوئیده^۲، کنسلاریوده^۳ و کونوئیده^۴ می‌باشند (۱).

به طرز شگفت‌آوری تعداد کل گونه‌های حلزون‌های گاستروپود دریایی زهرآگین زیاد است. محتمل است که بیشترین تنوع زیستی در میان تمام نژادهای نرم‌تنان، مربوط به بالا خانواده کونوئیده یا زیرمجموعه توکسوجلوسا^۵ باشد. این جانوران شکارچی زهرآگین شامل هزاران گونه توصیف شده هستند که احتمالاً تعداد زیادی از آن‌ها حتی به ثبت نیز نرسیده‌اند. به‌طور سنتی، درون شاخه کونوئیده، سه خانواده حلزون دریایی زهرآگین مشتمل بر حلزون‌های مخروطی (خانواده کونوئیده^۶ کوناسه^۷ یا توکسوجلوسا)، اوگرها (خانواده

تربریده^۸)، و توریدها (خانواده توریده^۹، سنسولاتو^{۱۰}) می‌باشد (۳). از این میان، توریدها ناشناخته‌ترین و دارای بیشترین ناهمگونی هستند. بر اساس برآوردهای موجود، ۷۰۰-۵۰۰ گونه حلزون مخروطی، ۵۰۰-۳۰۰ گونه اوگر و احتمالاً بیش از ۱۰۰۰۰ توریده وجود دارد. در بررسی سیستماتیک بوکت (Bouchet) و همکاران، در تنوع زیستی در کالدونیای جدید، فقط ۵۱ گونه کونوس و بیش از ۱۵۰۰ گونه "تورید" یافت گردیده بود که بیشتر آن‌ها هم نامگذاری نشده بودند (۴). بر اساس شناسایی بسترهای فسیلی چندین گروه بنیادی توکسوجلوسان^{۱۱}، منشاء اصلی توکسوجلوسات‌ها در سنوزوئیک بوده است (۱). بر اساس داده‌های جدید فیلوژنتیک مولکولی، گونه‌های مختص خانواده کلاسیک توریده به ۱۲ گروه جدیدتر تفکیک می‌شوند (۵).

بر اساس آمار کوئینزلند نیز خانواده کاملاً دریایی حلزون‌های مخروطی (کونیده) تقریباً از ۶۰۰-۵۰۰ گونه زنده تشکیل شده‌اند که حدود ۱۶۶ گونه از آن‌ها در آب‌های استرالیا یافت شده‌اند و از این میان، ۱۳۳ مورد نیز در کوئینزلند^{۱۲} به ثبت رسیده‌اند (۶).

حلزون‌های مخروطی، عمدتاً به دلیل زیبایی پوسته‌هایشان شناخته شده‌اند و در بسیاری از "سوغات‌سراهای کنار دریا"^{۱۳}، در سراسر گیتی یافت می‌شوند (۷).

حلزون‌های مخروطی در آب‌های گرمسیری و نیمه گرمسیری در سراسر جهان یافت می‌شوند؛ آن‌ها در مناطق هند و آرام بسیار زیاد به چشم می‌خورند و یک مرکز عمده از تنوع زیستی آن‌ها در اطراف فیلیپین

⁸ Terebridae

⁹ Turridae

¹⁰ *Sensu lato*

¹¹ Toxoglossan

¹² Queensland

¹³ Sea Side Souvenir Shops

¹ Neogastropoda

² Muricoidea

³ Cancellarioidea

⁴ Conoidea

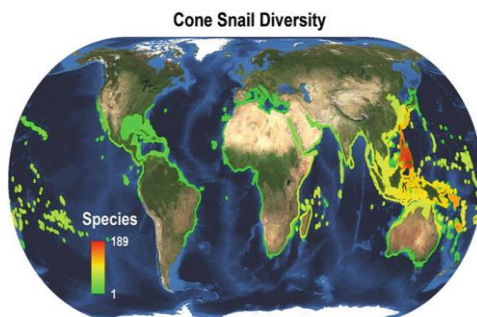
⁵ Toxoglossa

⁶ Conidae

⁷ Conacea

(۸). کونوئیدها را بسته به نوع گونه می‌توان در زیر سنگ‌ها، قلوه سنگ‌های مرجانی، شن و ماسه و علف‌های هرز در مناطق مختلف گرمسیری و نیمه‌گرمسیری، و همچنین آب‌های معتدل جنوب استرالیا نیز مشاهده نمود (۶ و ۹).

می‌باشد (شکل ۱) (۳). تربریدها و حلزون‌های مخروطی^{۱۴} عمدتاً گروه‌های گرمسیری هستند و توریدها فقط با محیط‌های آب سرد سازگار شده‌اند (۳). به‌علاوه، تنوع‌های استثنایی در اقیانوس‌های اطلس نظیر جزایر کیپ ورد^{۱۵} و هند (ماداگاسکار) دیده می‌شوند



شکل ۱) تنوع و توزیع حلزون‌های مخروطی. حلزون‌های مخروطی در تمام مناطق گرمسیری کره زمین یافت می‌شوند اما به‌ویژه در مناطق هند-اقیانوس آرام و فیلیپین بسیار زیاد هستند (۳).

Fig 1) Diversity and distribution of cone snails. Cone snails are found in all tropical areas of the world, though are especially abundant in the Indo-Pacific and Philippine regions (3).

تقریباً همه توکسین‌های شناسایی شده از ونوم توکسوگلوسان تا به امروز از حلزون‌های مخروطی است. در یک فراگرد کلی، عمده بررسی‌ها، پیرامون کونوتوکسین‌های ونوم کونوس متمرکز هستند. با این حال، اخیراً توکسین‌های ونوم‌های سایر نرم‌تنان نیز کم و بیش در حال بررسی هستند و به‌دلیل پتانسیل فارماکولوژیکی زیاد آن‌ها، مورد توجه زیادی قرار گرفته‌اند. غفلت از نرم‌تنان زهرآگین دیگر بجز حلزون‌های مخروطی در گذشته تا حدی ناشی از غیرقابل دسترس و ناکافی بودن ونوم جهت آنالیزهای بیوشیمیایی معمول آن‌ها بوده است. به‌علاوه، تقریباً همه گونه‌های غیرکونوس توکسوگلوسان، بسیار کوچک و نسبتاً کمیاب هستند (۴ و ۱۲). میزان بیشتر گونه‌های کونوس و فراوانی نسبی برخی از آن‌ها در زیستگاه‌های دریایی کم عمق، ونوم‌های کونوس را برای خالص‌سازی استاندارد و تعیین خصوصیت

این زیست‌مندان دریایی، اولین گروه از جانوران زهرآگین نیستند که بحث و مطالعه در مورد زهر آن‌ها به ذهن انسان خطور نموده است (۱)؛ هرچند اطلاعات موجود در مورد زهرهای آن‌ها به هیچ‌وجه با تعداد واقعی گونه‌ها مطابقت ندارد.

بیولوژی حلزون‌های دریایی، به‌عنوان شکارچیان کند بسیار جذاب است. آن‌ها حدود ۵۰۰ گونه شناخته شده جانوران دیگر را از حلزون‌های دیگر گرفته تا کرم‌ها یا حتی ماهی‌ها را شکار می‌کنند. بی‌حرکت نمودن طعمه در نتیجه عملکرد ونوم‌های نسبتاً پیچیده‌ای حاصل می‌شود که با استفاده از دندانک‌های نیزه مانند آن‌ها به قربانیان تزریق می‌گردد. ونوم هر گونه می‌تواند حاوی تا ۲۰۰ ترکیب فعال فارماکولوژیکی باشد که عمدتاً کانال‌های یونی مختلف دریچه-ولتاژ و دریچه-لیگاند را هدف قرار می‌دهند (۱۰ و ۱۱).

¹⁵ Cape Verde

¹⁴ Cone Snails

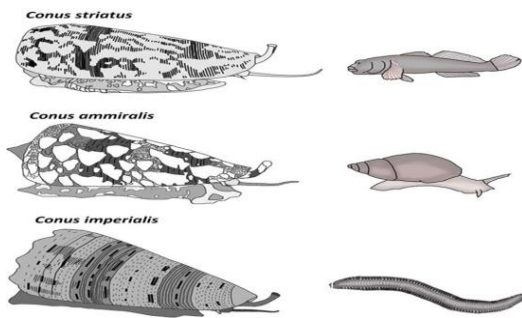
یکپارچه با یکدیگر ادغام گردند. برای استفاده از پلتفورم "کشف هماهنگ"، اطلاعات دیگری نیز لازم است. برای انجام مؤثر آنالیز ترانسکریپتومیکس، مهارت تشریح آناتومیک قابل توجهی نیز مورد نیاز است. بنابراین، محدوده تخصص میان رشته‌ای ضروری، دامنه چشم‌گیری از زمینه‌ها را نظیر تاکسونومی و فیلوژنی‌شناسی، بیوشیمی پپتیدها، علوم اعصاب، ژنتیک مولکولی، آناتومی و زیست‌شناسی میدانی (برای جمع‌آوری تنوع زیستی) نیز شامل می‌شود. پپتیدهای کشف نشده موجود در ونوم‌های نرم تنان می‌توانند به طور فزاینده‌ای استخراج شوند و ابزارهای فارماکولوژیکی منحصر به فردی را در آینده فراهم نمایند. بدین ترتیب، بسیاری از تحولات مهم در رابطه با پپتیدهای حلزون‌ها را می‌توان پیش‌بینی نمود. تحول مهم دیگر مورد پیش‌بینی، استفاده روزافزون از کونوپپتیدها و سایر ونوم پپتیدهای کونوئیدی، جهت تمایز بین ایزوفرم‌های مولکولی کانال‌های یونی و خانواده‌های گیرنده مورد بیان در سیستم‌های عصبی است. زهر حلزونیان، منبع اصلی برای چنین پپتیدهای خاص در گذشته بوده است و به نظر می‌رسد که این ونوم‌ها بخش عمده‌ای از ابزارهای فارماکولوژیکی جدید مورد نیاز برای بررسی کانال‌های یونی پیچیده‌تر یا خانواده‌های گیرنده‌ها را فراهم نمایند که خصوصیات عملکردی ایزوفرم‌های مولکولی منحصر به فردی برای آنها وجود ندارد (۴).

کونوئیدها

کونوئیدها، شکارچیان فعالی هستند که به‌طور معمول، شب‌ها در حال نگهبانی برای شکار طعمه

پپتیدهای آنها، بسیار امکان‌پذیرتر نموده است. با این حال، روش‌های میان‌رشته‌ای جدید برای کشف پپتیدها، امکان دسترسی به پپتیدها را از گروه‌های مورد غفلت مربوط به نرم‌تنان زهرآگین دیگر، مهیاتر نموده است. به‌طور خاص، پلتفورم "کشف هماهنگ"^{۱۶} که برای کشف پپتید کونوس توسعه یافته است، به‌راحتی می‌تواند برای سایر گروه‌های نرم‌تنان زهرآگین نیز سازگار باشد (۱۲). در واقع، کشف پپتید به جای نیاز به ونوم از صدها نمونه از یک گونه خاص، می‌تواند با استفاده از یک نمونه از حلزون‌های زهرآگین، حتی یک نمونه ریز انجام شود. با این حال، استفاده کارآمد از پلتفورم کشف هماهنگ، نیازمند به یک دانش فیلوژنی مولکولی خانواده حلزون‌های زهرآگین مورد آنالیز و همچنین اطلاعات پایه در مورد بالاخانواده‌های پپتید بیان شده در مجاری زهر گونه می‌باشد. با استفاده از این چهارچوب، آنالیز ترانسکریپتومیکس مجاری زهری، همراه با سنتز شیمیایی و یا بیان پپتیدهای پیش‌بینی شده، تولید پپتیدهای ونوم ویژه‌ای را برای خصوصیات عملکردی بیشتر، ممکن می‌سازد (۱۰).

خانواده خاصی از ونوم‌پپتیدها که در گروهی از نرم‌تنان مرتبط بیان می‌شوند، می‌توانند یک خانواده متناظر از کانال‌های یونی، گیرنده‌ها یا ناقل‌ها را نیز هدف قرار دهند. در نتیجه، شناسایی موفقیت‌آمیز هر یک از اعضای خانواده ونوم پپتیدها، چراغی برای شناسایی بیشتر خصوصیات فارماکولوژیکی پپتیدهای دیگر خانواده می‌گردد. بنابراین، برای کشف مؤثر، فیلوژنی مولکولی، شناسایی بالاخانواده‌های ژن ونوم‌پپتید، ترانسکریپتومیکس، سنتز پپتیدها و خصوصیات عملکردی پپتیدهای جداگانه باید به‌طور



شکل ۲) تقسیم‌بندی حلزون‌های مخروطی بر اساس رژیم غذایی آن‌ها. سه گروه اصلی کرم‌خوار، نرم‌تن‌خوار و ماهی‌خوار (۸).

Fig 2) Classification of cone snails based on their diet. The three main groups of vermivorous, molluscivorous, and piscivorous (8).

گونه‌های ماهی‌خوار

گونه‌های مخروطی ماهی‌خوار با پوسته‌هایی با روزنه‌های پهن مشخص می‌شوند. مواجهه با کونوس ژئوگرافوس^{۲۶}، کونوس تولیپا^{۲۷}، کونوس استرایتوس^{۲۸}، کونوس کاتوس^{۲۹} و کونوس مگوس^{۳۰}، فوق‌العاده خطرناک هستند (شکل ۳). در موزه کوئینزلند، نمونه واقعی کونوس ژئوگرافوس مسئول قتل معروف سال ۱۹۳۵ در جزیره هایمن^{۳۱}، در سواحل مرکزی کوئینزلند نگهداری می‌شود. قربانی بدشانس، مردی ۲۰ ساله بود که هنگام تمیز کردن سطح پوسته، با آن مواجهه داشته است (۱۳). رنگ روشن یا طرح‌دار پوسته‌های بسیاری از گونه‌های این مخروطی‌ها در سواحل، توجه غیرمنتظره افراد، خصوصاً کودکان را به خود جلب می‌نماید. یک پوسته مخروطی در کنار ساحل ممکن است هنوز یک حیوان زنده را در خود داشته باشد و در آب نیز به احتمال قریب به یقین جانور هنوز زنده باشد (۶).

هستند. به‌طور خلاصه، دستگاه تغذیه‌ای اکثر حلزون‌ها، متشکل از پروبوسیس^{۱۷}، دهان، رادولا^{۱۸} (ردیف‌هایی از دندان‌های ریز قرار گرفته در یک نوار) و فک می‌باشد. در حلزون‌های مخروطی، دندان‌های رادولاری، به شکل تیغ‌های توخالی و کشیده و به شکل نیزه چیده شده‌اند (۶). یک غده زهری، تهیه ونوم را برای پر نمودن بارب‌ها^{۱۹} (تیغ‌ها)، بر عهده دارد و پس از آن، یکی از این تیغ‌ها، توسط پروبوسیس به گوشت طعمه‌ای که ممکن است کرم، نرم‌تنان یا ماهی باشد، تزریق می‌گردد. طعمه پس از بی‌حرکت شدن، توسط پروبوسیس کونوس بلعیده می‌شود. خطرناک‌ترین مخروطیان، گونه‌های ماهی‌خوار^{۲۰} و نرم‌تن‌خوار^{۲۱} هستند که مسئول صدمات جدی و بسیاری از تلفات هستند. گونه کرم‌خواران^{۲۲} نیز ممکن است موجب آسیب گردند، گرچه، آسیب آن‌ها معمولاً تهدید کننده حیات نمی‌باشد (۶).

طبقه‌بندی حلزون‌های مخروطی بر اساس وضعیت

تغذیه‌ای

گونه‌های حلزون مخروطی دارای الگوهای پوسته، اندازه و عادات غذایی متنوعی هستند و همانگونه که اشاره شد گونه‌های کرم‌خوار^{۲۳}، نرم‌تن‌خوار^{۲۴} و ماهی‌خوار^{۲۵} سه گروه اصلی آن‌ها هستند (شکل ۲).

²⁵ Piscivorous
²⁶ *Conus geographus*
²⁷ *C. tulipa*
²⁸ *C. striatus*
²⁹ *C. catus*
³⁰ *C. magus*
³¹ Hayman

¹⁷ Proboscis
¹⁸ Radula
¹⁹ Barbs
²⁰ Fish-eating species
²¹ Mollusc-eating species
²² Worm-eating species
²³ Vermivorous
²⁴ Molluscivorous



شکل ۳) الف: برخی گونه‌های مخروطی ماهی‌خوار؛ چپ به راست: کونوس استرایتوس، کونوس ژئوگرافوس (بلندترین آن‌ها در شکل، ۱۳۰ میلی‌متر جهت قیاس)، کونوس تولیپا، کونوس مگوس و کونوس کاتوس (پایین سمت راست). ب: گونه‌های مخروطی نرم‌تن خوار. چپ به راست: کونوس تکستایل، کونوس اومریا، کونوس اولیکوس، کونوس مرمورئوس (بلندترین ۹۰ میلی‌متر). ج: گونه‌های مخروطی کرم‌خوار. چپ به راست: کونوس کاپیتانئوس، کونوس لئوپاردوس (۱۰۰ میلی‌متر)، کونوس وکسیلیوم، کونوس مایلس، کونوس لیتراتوس.

Fig 3) A: Some species of fish-eating cones; Left to right: *Conus striatus*, *C. geographus* (highest in the figure, 130 mm for analogy), *C. tulipa*, *C. Magus*, and *C. caeus* (bottom, right). B: Molluscivorous cone species. Left to right: *C. textile*, *C. omaria*, *C. aulicus*, *C. marmoreus* (tallest 90 mm). C: Vermivorous cone species. Left to right: *C. capitaneus*, *C. leopardus* (100 mm), *C. vexillum*, *C. miles*, *C. litteratus*.

گونه‌های نرم‌تن خوار

گونه‌های مخروطی نرم‌تن‌خوار با نشان‌های برجسته چتری روی پوسته مشخص می‌شوند. به دلیل توانایی آن‌ها در ایجاد آسیب زیاد و گاهی اوقات مرگ، نگهداری جانور زنده عاقلانه نیست. گونه‌های بزرگ‌تری چون کونوس تکستایل^{۳۲}، کونوس اولیکوس^{۳۳}، کونوس اومریا^{۳۴} و کونوس مرمورئوس^{۳۵} باید خطرناک تلقی شوند. گونه نادر معروف کونوس گلوریاماریس^{۳۶} (گونه آسیای جنوب شرقی و ملانزی)، به این گروه تعلق دارد (۱۴).

گونه‌های کرم‌خوار

گونه‌های مخروطی کرم‌خوار، توسط پوسته‌هایی با روزنه باریک مشخص می‌شوند. اکثر گونه‌های صدف‌های مخروطی در این گروه قرار می‌گیرند. گرچه، تاکنون هیچ یک مسئول مرگ و میرهای شناخته شده‌ای نیستند، لکن دست زدن به گونه‌های زنده بزرگ‌تری چون کونوس کاپیتانئوس^{۳۷}، کونوس

لئوپردوس^{۳۸}، کونوس وکسیلیوم^{۳۹}، کونوس لیتراتوس^{۴۰} و کونوس مایلس^{۴۱}، جایز به نظر نمی‌رسد (۱۵).

ونوم حلزون‌های مخروطی

ونوم‌های حلزون‌های مخروطی درنده دریایی تیره کونوس برای شکار طعمه و یا دفاع تکامل یافته‌اند و زمینه را برای بقاء و تنوع سریع بیش از ۷۵۰ گونه فعلی را فراهم می‌نمایند. این پپتیدهای غنی از دی سولفید و خوش‌ساخت، حاوی کوکتل متنوعی از صدها تا هزاران پپتید غنی از دی سولفید زیست فعال، به نام کونوتوکسین‌ها هستند که بر روی طیف وسیعی از اهداف از جمله کانال‌های یونی، گیرنده های همراه G- پروتئین (GPCRs)، ناقل‌ها و آنزیم‌ها عمل می‌کنند (۱۶).

ویژگی قابل توجه ونوم‌های حلزون دریایی پیچیدگی آن‌هاست. بر اساس خالص‌سازی‌های اولیه بیوشیمیایی ونوم‌های حلزون مخروطی، برآورد شده است که هر گونه حلزون مخروطی دارای مجموعه‌ای

³⁷ *C. capitaneus*

³⁸ *C. leopardus*

³⁹ *C. vexillum*

⁴⁰ *C. litteratus*

⁴¹ *C. miles*

³² *Conus textile*

³³ *C. aulicus*

³⁴ *C. omaria*

³⁵ *C. marmoreus*

³⁶ *C. gloriamaris*

حدود سه دوجین مرگ به گزش با کونوس ژئوگرافوس نسبت داده می‌شود که دوز کشنده آن بین ۰/۰۲۹ تا ۰/۰۳۸ میلی‌گرم در کیلوگرم برآورد شده است که در محدوده LD₅₀ گزارش شده موش برای مرگ‌بارترین مارهای کره زمین است (۲۲).

دستگاه زهری حلزون‌های مخروطی

حلزون‌های مخروطی یک دستگاه زهری پیچیده برای تولید یک کوکتل پیچیده‌ای از توکسین‌ها که به صورت عضلانی موجب بی‌حرکت نمودن سریع طعمه یا بازداری شکارچیان می‌شوند را مورد استفاده قرار می‌دهند. از ویژگی‌های ظاهری و برجسته جانور می‌توان به پا، بدن (بخشی از آن توسط گوشته یا منتل پوشانده شده)، سیفون، چشم‌ها و روستروم^{۴۳} قابل اتساع و پروبوسیس اشاره نمود. دستگاه زهری، پس از خارج نمودن پوسته جانور و برداشتن گوشته، در معرض دید قرار می‌گیرد. اولین گزارش دقیق در مورد آناتومی حلزون مخروطی توسط شاو (Shaw) انجام شد (۲۳). دستگاه کامل زهری را می‌توان به چندین ارگان عملکردی اصلی شامل پیاز عضلانی^{۴۴}، غده زهری^{۴۵} یا مجرای زهر^{۴۶}، کیسه رادیولار^{۴۷} و پروبوسیس تقسیم نمود (شکل ۴). همچنین، غده بزاقی ممکن است در تولید توکسین‌ها و یا آنزیم‌هایی که هضم و جذب طعمه را تسهیل می‌نمایند، نقش داشته باشد.

بین ۵۰ تا ۲۰۰ جزء مختلف ونوم باشند که عمدتاً پپتیدهای کوچک غنی از دی‌سولفید هستند (۱۰). براساس آنالیزهای طیف سنجی جرمی هو (Hu) و همکاران، نیز حداقل ۲۰۰ جزء ناخالص از اجزای زهر وجود دارد (۱۷). در طیف‌سنجی جرمی ونوم در مطالعه بیاس (Biass) و همکاران، در برخی از آن‌ها نظیر کونوس کونسورس^{۴۲}، بیش از ۱۰۰۰ اجزای سازنده تشخیص داده شده است (۱۸).

کونوتوکسین‌ها، به دلیل قدرت و انتخابگری منحصر بفرد خود، مورد توجه دانشمندان علوم مغز و اعصاب و همچنین تولیدکنندگان دارو قرار گرفته‌اند. آن‌ها نه تنها در شکار طعمه، بلکه منبع غنی از پروب‌های مولکولی و سرخ‌های درمانی را فراهم می‌کنند. ظهور ونومیکس یکپارچه، کشف کونوتوکسین را تسریع نموده است و اکنون بیش از ده هزار توالی کونوتوکسین منتشر شده است. با این - حال، خصوصیات ساختاری و فارماکولوژی بسیاری از آن‌ها، به طور قابل توجهی ناشناخته مانده است (۱۹ و ۲۰).

ونوم مخروطی‌ها، به طور انحصاری در یک مجرای لوله‌ای طویل، در غده زهری تولید می‌شود و یک کوکتلی از پپتیدهای کوتاه متعدد کونوتوکسین تشکیل می‌دهند که کانال یا گیرنده‌های عصبی عضلانی طعمه و یا هورمون‌ها را مهار و موجب تداخل در سیگنال‌های انتقالی طعمه می‌گردند (۲۱). برخی از گونه‌ها، به طور بالقوه برای انسان خطرناک هستند و

⁴⁵ Venom Gland

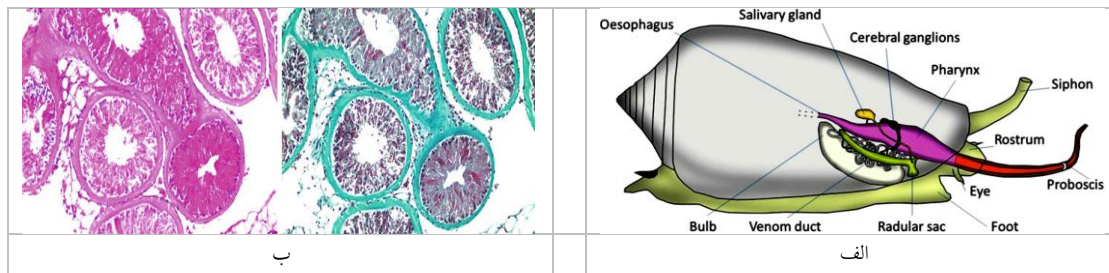
⁴⁶ Venom Duct

⁴⁷ Radular Sac

⁴² *C. consors*

⁴³ Rostrum

⁴⁴ Muscular Bulb



شکل ۴) الف: آناتومی عمومی دستگاه زهری یک حلزون مخروطی. این نرم‌تنان درنده یک دستگاه زهرآگین پیچیده را به وجود آورده‌اند که اندام‌های خاصی از جمله پروبوسیس، کیسه رادولا، مجرای زهر و پیاز عضلانی را با هم ادغام نموده‌اند؛ ب: مقاطع عرضی مجرای زهری حلزون مخروطی. پانل سمت چپ با پریدیک اسید-شیف (PAS) و پانل سمت راست با تری کروم گوموری^{۴۸} رنگ آمیزی شده‌اند (فیبرهای عضلانی به رنگ قرمز، لکه‌های کلاژن به رنگ سبز و هسته‌ها به رنگ آبی / مشکی).

Fig 4) A) General anatomy of the venom system of a cone snail. These predatory snails have created a complex venomous system that combines specific organs, including the proboscis, the radular sac, the venom duct, and the Muscular Bulb; B) Crosswise sections of cone snail venom duct. The left panel is stained with periodic Acid-Schiff (PAS) and the right panel is dyed with Gomori trichrome (muscle fibers as red, collagen spots as green, and nucleuses as blue/black colors)

پیاز عضلانی

دارد و به یک صورت یک برآمدگی مجرای زهر پروگزیمال ظاهر می‌شود. داده‌های پروتئومیکس، ژنومیکس و مورفولوژیک در مورد این حباب عضلانی نشان داده‌اند که سطوح بالایی از پروتئین‌هایی که در حرکت سریع عضلات آن نقش دارند وجود دارد و پروتئین‌های مشخصه بیوسنتز زهر ناچیز است. حباب ونوم از طریق انقباض عضله می‌تواند پروبوسیس را با زهر شکارچیانه یا دفاعی در قبل از تزریق طعمه پر نماید (۲۷).

مجرای ونوم

مجرای زهری، به صورت لوله‌ای بلند و پیچ خورده به قطر نیم تا یک و نیم میلی‌متر، در حفره بدن بین حباب زهری و حلق یا مری دیده می‌شود (شکل ۴). طول این لوله، بسته به گونه‌ها، متفاوت است، اما در آن‌ها، یک روند پیروی از رژیم غذایی وجود دارد که در آن گونه‌های ماهی‌خوار، دارای مجرای نسبتاً کوتاهی و

در انتهای پروگزیمال دستگاه زهری، یک ارگان بزرگ لوبیایی شکل دیده می‌شود که در واقع، "غده لیبلین"^{۴۹} است و توسط شاو، به اشتباه "غده سمی"^{۵۰} فرض گردید. اما به نظر هرमित (Hermitte)، این کیسه زهر^{۵۱}، ظاهراً فقط یک کیسه ذخیره‌سازی و اندام محرکه برای زهری بود که احتمالاً توسط لوله پیچ خورده^{۵۲} ترشح می‌شد (۲۴). بر اساس مطالعات بافت‌شناسی نیز این اندام از عضلات طولی، مورب و عمده‌تاً دایره‌ای شکل، همراه با بافت‌های همبند تشکیل گردیده است (۲۵). در سال ۱۹۶۳ نیز توسط ویسنر و ساندرس (Whysner & Saunders)، نشان داده شد که تزریق عصاره این بافت، اثرات قابل مشاهده‌ای در موش‌های سوری ایجاد نمی‌نماید (۲۶).

یک کانال یا لومن که توسط یک اپیتلیوم مکعبی غیر ترشحی پوشانیده شده‌است، در موقعیت عرضی قرار

⁴⁸ Gomori

⁴⁹ Gland Of Leiblein

⁵⁰ Poison Gland

⁵¹ Poison Sac

⁵² Coiled Tube

را نشان داد که می‌تواند به جای ترشح، در انتقال فعال دارای نقش داشته باشد. مجرای دیستال نیز حداقل دو نوع سلول مختلف را نشان داد که ترشح هولوکترین^{۵۴} را با گرانول‌های برجسته داخل سلولی نشان می‌دهد. گرانول‌های مشابهی نیز برای پر کردن مجرای لومن یافت شدند (۳۰).

کیسه رادولار

رادولای کاملاً اصلاح شده که برای تزریق ونوم بکار برده می‌شود، در یک بافت تخصصی به نام غلاف رادولار^{۵۵} یا به عبارت ساده تر، کیسه رادولار تولید می‌شود. این ارگان همراه یک استخوانچه^{۵۶} Y شکل با یک بازوی کوتاه و بلند است (۲۴) که بازوی بلندتر شامل تعداد مختلفی از دندان‌ها در مراحل مختلف بلوغ می‌باشند و تمام آن‌ها در امتداد محور آن قرار دارند و نوک آن به انتهای کور می‌رسد؛ در حالی که بازوی کوتاه‌تر بیشتر به عنوان ذخیره‌سازی دندان‌های کاملاً بالغ عمل می‌کند (۳۱). اندازه این ارگان، با توجه به اندازه رادولا متفاوت است. به طور کلی، مخروطی‌های ماهی‌خوار و نرم‌تن‌خوار دارای کیسه‌ای بزرگ‌تر و رشد یافته‌تر و در شکارگران کرم، نسبتاً کوچک است. تعداد دندان‌های موجود در کیسه رادولا در گونه‌ها نیز با توجه به تفاوت در رژیم‌ها متفاوت هستند. به عنوان مثال، تعداد دندان‌ها در کونوس تکستایل و کونوس مرمروس نرم‌تن‌خوار از ۷۰ (شامل ۲۰ عدد در بازوی کوتاه و ۵۰ عدد در بازوی بلند) و در کونوس مایلس شکارگر کرم فقط ۱۹ عدد (۱ مورد در بازوی کوتاه و ۱۸ مورد در بازوی بلند) است (۳۲).

دیواره‌های کیسه رادولار از بافت‌های همبند و رشته‌های صاف عضلانی تشکیل شده است؛ لومن پوشیده شده از

تقریباً دو تا سه برابر طول پوسته بوده و کرم‌خواران و نرم‌تن‌خواران دارای یک مجرای طولانی و تا شش برابر طول پوسته می‌باشند. مجرای زهری، "غده زهری" واقعی است و مسئول تولید کونوتوکسین‌ها و آنزیم‌های تزریق شده به طعمه یا صیاد است (۲۸). در اوایل، نظر بر آن بود که تولید ونوم در امتداد مجرا، همگن نیست. در مطالعه ویت و اندین (Whyte & Endean)، تزریق عصاره زهر کونوس ژئوگرافوس، از قسمت دیستال به موش‌ها بدون تأثیر و همین عصاره از قسمت پروگزیمال آن کشنده بود (۲۹). مطالعه اندین و دوکمین (Endean & Duchemin) نیز یک گرادیان "زهر نابالغ تا بالغ" را از انتهای پیاز تا انتهای حلق نشان داد (۲۵). این عملکرد منطقه سازی^{۵۳} تا زمانی که مشخص گردید حلزون‌های مخروطی می‌توانند در واکنش به محرک‌های تهاجمی یا دفاعی، به سرعت زهرهای متمایزی را جابجا کنند، به صورت یک راز باقی مانده بود. ونوم‌های ناشی از شکار و دفاع به ترتیب از مناطق دیستال و پروگزیمال مجرای زهر سرچشمه می‌گیرند (۸). برش‌های عرضی غده زهری در مطالعه اندین و دوکمین نشان داده شد که مجرای داخلی توسط یک اپیتلیوم متراکم نازک پوشانیده شده است که تقریباً به‌طور کامل لومن را اشغال می‌نماید (۲۵). در واقع، بر اساس مشاهدات مارشال (Marshall) و همکاران، چندین لایه سلول ستونی کشیده، حاوی گرانول‌های سیتوپلاسمی قابل مشاهده، لومن را به یک ناحیه نازک ستاره شکل محدود می‌کند (شکل ۴). دیواره خارجی مجرا، از بافت‌های همبند (کلاژن) و فیبرهای عضلانی طولی تشکیل شده است که دارای یک لایه میانی عضلات حلقوی است. نمای میکروسکوپی الکترونی عبوری از قسمت پروگزیمال مجرا، یک اپیتلیوم پیچیده

⁵⁵ Radular Sheath

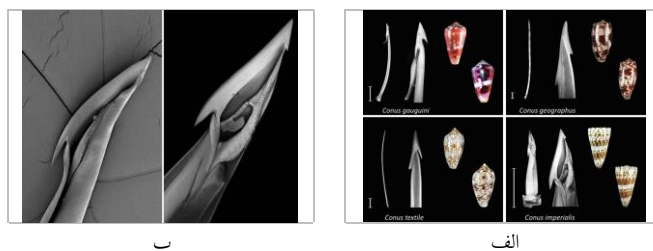
⁵⁶ Wishbone

⁵³ Regionalization

⁵⁴ Holocrine

و برای نفوذ به اعماق بافت‌های طعمه به صورت تیز و خاردار در آمده‌است. رادولا، اغلب به‌عنوان سوزن زیر جلدی^{۵۷} نیز شناخته می‌شود (شکل ۵) (۲۴).

اپیتلیوم، از سلول‌های ستونی ساخته شده است. به‌نظر می‌رسد که این اپیتلیوم، مسئول تولید دندان‌های کیتینوئیدی رادولا باشد (۲۵). مورفولوژی رادولا بسیار جذاب است و برای عبور و نوم از آن به صورت توخالی



شکل ۵ الف: رادولای حلزون مخروطی. رادولای هر گونه، متناسب با نوع طعمه‌ای است که شکار می‌کند و شامل یک شافت بلند و یک قسمت قدامی توسعه یافته است (نوار مقیاس، نشان‌دهنده ۱ میلی‌متر). ب: تصاویر مقایسه‌ای میکروسکوپی الکترونی اسکینینگ و کانفوکال از رادولای کونوس ایمپریالیس^{۵۸}.

Fig 5) **A:** Cone snail radula. The radula of each species is appropriate for the type of prey that hunts and comprises a long shaft and an extended anterior part (scale bar, indicating 1 mm). **B:** comparative scanning and confocal electron microscopic images of *Conus imperialis* radula.

چرخش نموده‌است. دندان‌های پیچیده‌ای در امتداد لبه چین داخلی همراه با لبه‌های چین تاشو خارجی و بارب‌ها برای تسهیل نفوذ و کمک به ایمنی دندان در داخل طعمه بوجود آمده‌است (شکل ۵) (۳۴). شمای نیزه‌ها^{۶۱} و سیمیتارهای^{۶۲} مشاهده شده با استفاده از میکروسکوپ الکترونی روبشی، جهت کدگذاری در مطالعات تاکسونومیک و فیلوژنتیک مورد استفاده قرار گرفته‌است (۳۴). موارد فرعی دیگری نظیر طول دندان‌ها، وجود خارها^{۶۳}، تیغه‌ها^{۶۴}، لبه‌ها^{۶۵} و سیخک‌ها^{۶۶} و همچنین عرض نسبی پایه دندان و نسبت طول کل رادولا به طول پوسته نیز مبنایی برای شناسایی آن‌ها گردید. نسبت کوچک‌تر از ۲۰، کرم‌خواران را از گونه‌های نرم‌تن‌خوار و ماهی‌خوار جدا می‌کند.

در گونه‌های ماهی‌خواری چون کونوس گاگویی^{۵۹}، رادولا به خوبی به یک چنگالک کوچک توخالی تبدیل شده است که علاوه بر تزریق و نوم، طعمه را نیز می‌بندد. گونه‌هایی چون کونوس ژئوگرافوس و شکارگران نرم‌تنی چون کونوس تکستایل نیز دارای یک رادولای بلند و باریک و شکارچیان کرمی نظیر کونوس ایمپریالیس دارای یک رادولای ضخیم و کوتاه هستند. نوک رادولا دارای یک تیغه، بارب (خار) و یک زایده جانبی بلند قلاب مانند در انتها است که به شکل یک چنگالک^{۶۰} دیده می‌شود. یک طبقه‌بندی سیستماتیک اخیر از کونوئیدان‌ها نیز بر اساس مورفولوژی رادولا تکیه دارد (۳۳).

بر اساس تصاویر، دندان رادولای کونوس ایمپریالیس، یک ورقه کیتینی است که بصورت لوله‌ای، دو و نیم دور

⁶² Scimitars

⁶³ Barbs

⁶⁴ Blades

⁶⁵ Cusp

⁶⁶ Spur

⁵⁷ Hypodermic Needle

⁵⁸ *C. imperialis*

⁵⁹ *C. gauquini*

⁶⁰ Mini-Harpoon

⁶¹ Spears

گونه‌های نزدیک به هم و دارای عادات غذایی مشابه، ساختار رادولای تقریباً یکسانی را نشان می‌دهند (۳۵).

غده بزاقی^{۶۷} و سایر غدد جلدی

غده بزاقی به صورت یک بافت انتشار یافته در نزدیکی حلق دیده می‌شود و از آن دو مجرای بزاقی نازک به وجود می‌آیند که به بازوی کوتاه کیسه رادولا ختم می‌شوند. بر اساس مطالعات بافت‌شناسی، مجاری بزاقی با یک اپیتلیوم مکعبی مژکدار پوشانیده شده‌اند و سلول‌های غدد نیز حاوی گرانول‌ها در خوشه‌های کوچکی می‌باشند (۲۵). آنالیز هیستوشیمی این گرانول‌ها، وجود پلی‌ساکاریدها و پروتئین‌ها را نشان داده است (۳۶). حرکات مژگانی، مسئول دفع ترشحات به مجرای لومن است (۳۶). در غده بزاقی فعالیت‌های پروتئازی نیز تشخیص داده شده است، اما نقش ترشح آنزیم‌های پروتئولیتیک درون بازوی کوتاه کیسه رادولا مورد بررسی چندانی قرار نگرفته است. در غدد بزاقی، توالی‌های شبه کونوتوکسین، توسط بیگز (Biggs) و همکاران، شناسایی شدند و احتمال داده شد که این ارگان بخشی از دستگاه زهری باشد و در تولید ونوم مشارکت نماید (۳۷). علاوه بر غده بزاقی اصلی، یک غده بزاقی ثانویه یا جانبی و همچنین غده پوزه^{۶۸} در برخی از گونه‌های کونوس گزارش شده است (۳۶). برخلاف ظاهر منتشر غده بزاقی، غده بزاقی ثانویه، دارای یک شکل کاملاً مشخص لوله‌ای است که در یک مجرای ظریف باریک می‌شود و به سمت قدامی شکمی پروبوسیس طولیل شده و نزدیک دهان باز می‌شود (۳۶).

مطالعات میکروسکوپی نوری و الکترونی شولتز (Schultz)، ساختاری متشکل از اپیتلیوم لومینال^{۶۹}، یک لایه فیبروماسکولار^{۷۰}، یک لایه تحت عضلانی^{۷۱} و یک کپسول را نشان داده است (۳۸). ترشح غده بزاقی ثانویه، موجب تولید پلی‌ساکارید و پروتئین‌ها می‌شود. ترشحات غده پوزه که در نزدیکی کیسه رادولا دیده می‌شود، از مواد مخاطی سولفات‌ها به شدت اسیدی تشکیل شده است که عملکرد ناشناخته‌ای دارند (۳۶).

پروبوسیس

حلزون‌های مخروطی برای انتقال رادولای پر از ونوم به داخل طعمه، پروبوسیس پلئورمبولیک^{۷۲} را مورد استفاده قرار می‌دهند (۳۹). پروبوسیس، یک عضو قابل ارتجاع است که در صورت محصور شدن در روستروم، قابل مشاهده نیست. در انتهای پروگزیمال، پروبوسیس به حلق متصل می‌شود و انتهای دیستال اندام قدامی دستگاه تغذیه‌ای یا به عبارت دیگر دهان آناتومیکی واقعی جانور را تشکیل می‌دهد. بر اساس مطالعات بافت‌شناسی، دیواره پروبوسیس از لایه‌های عضلانی حلقوی، ماریچی و طولی ساخته شده‌اند؛ در حالی که لومن با یک لایه سلول‌های مکعبی پوشانده شده است (۲۵). اعصاب و هموسل^{۷۳}، بین لایه‌های عضلانی و لومن یافت می‌شوند که عملکرد هیدرواستاتیک آن‌ها را امکان‌پذیر می‌سازد (۴۰). انتهای پروگزیمال پروبوسیس به شکل یک عضله اسفنجی دیده می‌شود که این اسفنجی‌تر ممکن است دندان رادولا را نگه داشته و از حرکت به عقب آن جلوگیری کند یا با تحت فشار قرار دادن ونوم، تزریق به جانور قربانی را تسهیل نماید (۴۰). نوک پروبوسیس با

⁶⁷ Salivary Gland

⁶⁸ Snout

⁶⁹ Luminal Epithelium

⁷⁰ Fibromuscular Layer

⁷¹ Submuscular Layer

⁷² Pleurembolic Proboscis

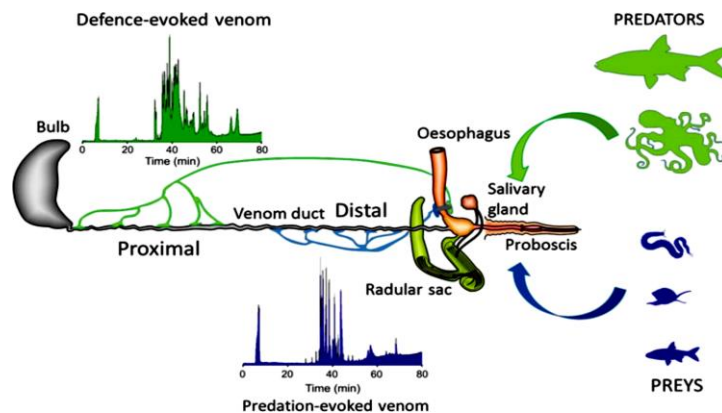
⁷³ Haemocoel

معروف و وجود تسهیل کننده‌های صید طعمه در ونوم برانگیخته با شکار^{۷۵} در حلزون کونوس ژئوگرافوس بود. در عوض، مشخص گردید که این توکسین‌های کشنده در تلقیح زهر کونوس ژئوگرافوس در انسان، به‌عنوان ونوم دفاعی شده چیرگی داشتند. یک مجرای تخصصی ونوم، مسئول این ویژگی منحصر به فرد است که در مناطق دیستال و پروکسیمال، به ترتیب زهرهای برانگیخته شکاری و دفاعی تولید می‌گردند (شکل ۶) (۸). این اطلاعات، به گانگلیون مغزی اطراف مری منتقل و یک جریان یکپارچه، تولید و به سلول عصبی مرتبط منتقل می‌شود. ترشح ونوم پیتیدهای دیستال، برای تولید زهر برانگیخته با شکار یا ونوم پیتیدهای پروگزیمال، برای پاسخ دفاعی از طریق تحریک عصب بخش مرتبط مجرای زهر انجام می‌شود. احتمالاً، پیاز عضلانی مسئول بیرون راندن پیتیدهای آزاد شده از لومن بوده و امکان تغییر سریع بین دو نوع زهر را فراهم می‌نماید (۸). با این حال، درک کامل روند تلقیح زهر حلزون‌های مخروطی، مکانیسم و چگونگی این تفاوت‌ها بین گزش‌های حمله‌ای و دفاعی، هنوز جای مطالعات زیادی دارد.

پاپیل‌های حسی^{۷۴} پوشانیده شده است و تصور می‌شود که اطلاعات مربوط به نوع طعمه و مکان شکار را پس از تماس اولیه تقویت نماید (۴۱). قابل ذکر است که یک پروبوسیس قطع شده مثلاً توسط ماهی‌های درنده، ظرف مدت ۱۰ روز به طور کامل احیاء می‌گردد.

ونوم‌های شکار و دفاعی

مطالعه دوترتر (Dutertre)، یکی از مهم‌ترین جنبه‌های بیولوژی کونوس را آشکار نمود که از تحقیقات گذشته دور مانده بود (۸). همانگونه که اشاره گردید، تصور بر آن بود که حلزون‌های مخروطی مانند سایر جانوران زهرآگین، احتمالاً همان کوکتل توکسین‌ها را به طعمه‌ها و شکارچیان برای شکار و دفاع تزریق می‌کنند. اما در یک خیز غافلگیرکننده مشخص گردید که حلزون‌های مخروطی، توانایی شگفت‌انگیزی برای جابجایی سریع بین دو نوع مختلف از ترکیبات ونوم در پاسخ به محرک‌های شکاری یا دفاعی دارا می‌باشند. به عنوان مثال، کونوس مرمئوس، می‌تواند در طی چند دقیقه، مخلوط ونوم را تغییر دهد. شگفت‌آورتر، عدم وجود کونوتوکسین‌های پارالیتیک



شکل ۶) مکانیسم پیشنهادی برای آزادسازی مجرای ونوم‌های برانگیخته با شکار و دفاعی. محرک زهرهای شکاری (آبی) یا دفاعی (سبز)، ممکن است مکانیکی، بصری و یا توسط حسگرهای بویایی حلزون‌های مخروطی باشد.

Fig 6) Proposed mechanism for release of the predation-evoked, and defence-evoked venom ducts. The stimulus of predatory (blue) or defensive (green) venoms of cone snails may possibly be mechanical, optical, or by olfactory sensors

⁷⁴ Sensory Papillae

⁷⁵ Predatory-Evoked Venom

مکانیسم تلقیح زهر^{۷۶}

با وجود توصیف منطقی آناتومی دستگاه زهری حلزون مخروطی، درک مکانیسم تلقیح زهر هنوز بسیار سطحی به نظر می‌رسد. معمولاً، یک محرک شیمیایی از سمت طعمه موجب فعال‌سازی فوری پروبوسیس می‌گردد. پس از تماس با بافت مناسب، روند تلقیح زهر با سرعت انفجاری پیش می‌رود. در حلزون‌های مخروطی شکارگر ماهی و نرم‌تن، مکانیسم بالستیک با سرعت بالای ۰/۶۶ تا ۳ متر بر ثانیه، رادولا را به داخل بافت طعمه سوق می‌دهد (۴۲ و ۴۳). تصور می‌شود که یک انقباض در نزدیکی نوک پروبوسیس، فشار لازم برای پیش‌راندن دندان رادولا فراهم می‌آورد و اسفنکتر عضلانی نیز جریان ونوم و فشار آن را تنظیم می‌نماید. یکی از جالب‌ترین معماهایی که هنوز روشن نشده‌است، مربوط به بارگیری دندان^{۷۷}، از کیسه رادولا تا نوک پروبوسیس است. غلاف‌شدگی^{۷۸} پروبوسیس به‌عنوان مکانیسم احتمالی مطرح شده‌است (۲۴).

حلزون‌های مخروطی زنده، توانایی چشم‌گیری در تزریق چندین برابری به طعمه خود در فواصل کوتاه دارند و تزریق‌های پی در پی می‌تواند بدون جمع‌شدن کامل پروبوسیس انجام شود. بنابراین، امکان فشار از طریق انقباضات هماهنگ شده چندین عضله، از جمله کیسه رادولا، حلق و پروبوسیس، یک دندان مجزا را از بازوی کوتاه کیسه رادولا به نوک پروبوسیس بوجود می‌آورد. احتمالاً، اندام تولید کننده فشار ونوم قبل از تزریق، حباب (پیاز)^{۷۹} بزرگ عضلانی در انتهای پروگزیمال مجرای زهر

است، اما حلق نیز می‌تواند در این عمل مشارکت نماید. ونوم استخراجی از غده، برخلاف مایع ونوم تزریقی، به صورت خمیری غلیظ می‌باشد. منشاء مایع رقیق کننده ترشحات مجرای زهر نیز ناشناخته است (۴۳). برای فلج نمودن طعمه و تداخل در انتقال عصبی عضلانی، حلزون‌های مخروطی هم‌زمان کانال‌های کلسیم پیش‌سیناپسی، گیرنده‌های نیکوتینی پس‌سیناپسی و کانال‌های سدیم ولتاژدار را روی غشای عضلانی طعمه، مورد هدف قرار می‌دهند. بر اساس مطالعه ترلاو (Terlau) و همکاران، به ترکیب پپتیدهای کونوس "واحد‌های توکسینی"^{۸۰} و ترکیب ایجاد کننده تداخل در انتقال عصبی عضلانی، "واحد موتوری"^{۸۱} گفته می‌شود. در ونوم‌های بسیاری از حلزون‌های مخروطی شکارگر ماهی، ترکیبی متفاوت از توکسین‌ها، موجب بی‌حرکتی بسیار سریع و آنی سمیت هیجانی^{۸۲} طعمه و به تبع، فلج تتانیک "واحد حمله برق آسا"^{۸۳} می‌گردند (۴۴). یک استراتژی جایگزین برای یک مجموعه متفاوت از گونه‌های حلزون مخروطی ماهی شکار، گرفتن طعمه بالقوه آرام و بی‌سرو صدا و باصطلاح "کابال نیروانا"^{۸۴} است. کونوتوکسین‌های متعلق به کابال توکسین به‌طور معمول از قدرت و اختصاصیت بالایی برای اهداف گیرنده‌های اختصاصی برخوردار هستند. با توجه به قدرت و انتخابگری هدف آن‌ها، تعداد فزاینده‌ای از کونوتوکسین‌ها کاربردهای تشخیصی و درمانی بدست آورده‌اند (۴۵).

⁷⁶ Envenomation

⁷⁷ Tooth

⁷⁸ Invagination

⁷⁹ Bulb

⁸⁰ Toxin Cabals

⁸¹ Motor Cabal

⁸² Excitotoxic

⁸³ Lightning-Strike Cabal

⁸⁴ Nirvana Cabal

کونوتوکسین‌ها

انواع مختلفی از حلزون‌های مخروطی وجود دارند و هر نوع حلزون مخروطی دارای توکسین‌های مختلفی می‌باشد. بنابراین، مطالعه گونه‌های جدید حلزون مخروطی به معنای به‌دست آوردن ساختار جدیدی از توکسین‌ها است که ممکن است دارای عملکرد جدیدی باشند (۴۶ و ۴۷). ونوم‌های کونوس، به‌طور غیرمعمولی پیچیده‌اند؛ هر گونه کونوس می‌تواند فهرستی حدود ۲۰۰-۱۰۰ توکسین مختلف پپتیدی را در مجرای زهر بیان کند. از آنجا که بین پپتیدهای یافت شده در گونه‌های مختلف کونوس، عملاً هیچ‌گونه همپوشانی مولکولی وجود ندارد، برآورد می‌شود که در ونوم‌های حلزون مخروطی زنده، بیش از ۵۰۰۰۰ پپتید مختلف وجود داشته باشد (۱۰). کشف کریگ کلارک (Craig Clark)، دانشجوی ۱۹ ساله در آن زمان، در دانشگاه یوتا^{۸۵}، مبنی بر اینکه اجزای مختلف ونوم کونوس ژئوگرافوس، هنگام تزریق به سیستم عصبی مرکزی موش‌ها، موجب انواع مختلفی از رفتارها می‌گردند، منجر به شناسایی خصوصیات گروهی از پپتیدهای کونوس گردید که دارای فعالیت بیولوژیکی روی سلول‌های عصبی پستانداران بودند (۷). این اولین کونوتوکسین خالص‌سازی و مشخص شده از ونوم این کونوس بود که موجب فلج ماهی یا موش شده و نشان داده شد که کانال‌های یونی که برای انتقال عصبی عضلانی مهم هستند، مورد هدف قرار می‌گیرد (۴۸). مطالعه ترلاو و الیورا (Terlau & Olivera)، در مورد ترکیبات ونوم حلزون‌های مخروطی نیز نشان داد که هر یک از گونه‌های آن‌ها در طول تکامل مجموعه اختصاصی کونوپپتیدهای مربوط به خود را ایجاد می‌نمایند و تخمین زده شد که احتمالاً بیش از ۵۰۰۰۰

کونوپپتید مختلف در ونوم‌های گونه‌های حلزون مخروطی وجود دارد (۱۰). هر چند، در یک تخمین در سال ۲۰۰۴، گفته شد که حلزون‌های مخروطی با یک میلیون کونوتوکسین مختلف، یکی از متنوع‌ترین ونوم‌ها را تولید می‌کنند که از این میان کمتر از یک درصد تعیین توالی گردیده و تنها بخش کوچکی از آن از نظر فارماکولوژیکی مشخص شده‌اند (۱۰). بر اساس مطالعات دهه اخیر، بالغ بر ۹۰۰ نوع کونوس، مخزنی از کونوتوکسین‌های منحصر به فرد خود را تولید می‌کنند که نه تنها می‌توانند در هر موجود متفاوت باشند (۴۹)، بلکه بسته به شرایط فیزیولوژیکی (۵۰) یا استفاده زهر، حتی برای شکار یا دفاع (۵۱)، متفاوت هستند و یکی از چالش‌های اصلی در ونومیکس مخروطی‌ها، فهرست‌بندی ترکیب دقیق مجموعه کونوتوکسین‌های هر یک از این گونه‌ها است (۴۹ و ۵۲). برای سال‌های متمادی، ونوم‌های ترشح شده کونوتوکسین‌های بالغ با استفاده از روش‌های مختلف کروماتوگرافی، خالص‌سازی و توالی‌یابی اسیدهای آمینه گردیدند و نقش‌های فیزیولوژیکی برخی از آن‌ها مشخص شد (۷) که یک روش بسیار مفید برای تشخیص کونوتوکسین‌های منحصر به فرد با ارزش پزشکی به‌شمار می‌آید. در سال‌های اخیر، ظهور تکنیک‌های عظیم توالی RNA (RNA-seq)، انقلابی در سرعت فهرست‌بندی ونوم مخروطی‌ها ایجاد نموده است (۵۳). کونوتوکسین‌ها، توکسین‌های پپتیدی کوتاهی هستند که طول آن‌ها معمولاً ۲۵ اسید آمینه می‌باشد (۵۴). ویژگی مشترک این پپتیدها، وجود بقایای سیستمین در ساختار اولیه آن‌ها است که معمولاً در طی رشد، پیوندهای دی‌سولفیدی تشکیل می‌دهند (۵۵). در برخی موارد، از این ویژگی، برای نامگذاری آن‌ها به‌عنوان کونوپپتیدها^{۸۶} (پپتیدهای فقیر

⁸⁵ Utah⁸⁶ Conopeptides

دی سولفید: صفر یا یک)، یا کونوتوکسین‌ها^{۸۷} (پپتیدهای غنی از سولفید: دو یا بیشتر) استفاده شده است (۵۶)؛ هر چند که بیشتر کونوتوکسین‌ها از ۱۲ تا ۴۰ بقایای اسید آمینه تشکیل شده‌اند و معمولاً، حاوی ۲ تا ۳ جفت پیوند دی سولفیدی هستند. آن‌ها از کوچک‌ترین پپتیدهای نوروٹوکسین جانوری رمزگذاری شده با اسید نوکلئیک و دارای بیشترین دانسیته پیوند دی سولفیدی هستند (۵۷).

اکثریت اجزای سازنده زهر کونوس، از نظر بیولوژیکی، پپتیدهایی هستند که در ابتدا از طریق ترجمه ریوزومی به‌عنوان پیش‌سازهای پلی‌پپتیدی سنتز می‌شوند و پس از ترجمه برای پردازش و نوم‌پپتیدهای بالغ و فعال بیولوژیکی پردازش می‌شوند. این پروتئین‌های کوچک رمزگذاری شده ژنتیکی، در ابتدا به صورت پیش‌سازهای پیش‌پروپپتیدی متشکل از یک توالی سیگنال (منطقه "پیش"^{۸۸}) و به دنبال آن یک منطقه "pro" بوده و در بخش C- ترمینال بیان‌کننده منطقه توکسین بالغ، ترجمه می‌شوند. پپتید فعال فارماکولوژیکی، توسط تجزیه آنزیمی قسمت C- ترمینال پیش پروپپتید^{۸۹} ایجاد می‌شود. در طول سنتز، پیش‌ساز به سه دامنه شکافته و پیوندهای دی سولفیدی در کونوتوکسین بالغ ایجاد می‌شود که تا شده و پس از ترجمه اصلاح می‌گردد (۵۸). وجود انواع اصلاحات پس ترجمه‌ای از ویژگی‌های بارز کونوپپتیدها می‌باشد که شامل هیدروکسیلاسیون پرولین‌ها، کربوکسیلاسیون گلوتامات، D-آمینواسیدها یا تیروزین سولفاته می‌باشند (۵۹). بر اساس یافته‌ها، حلزون‌های مخروطی، آنزیم‌های مهمی را برای آن تغییرات در مجاری زهری خود بیان می‌کنند (۶۰). از تغییرات کاملاً مشخص پس ترجمه‌ای ممکن در انتهای

یک توکسین پپتید بالغ کونوس می‌توان به آمیداسیون C- ترمینال و تغییر گلوتامین به پیروگلوتامات در N- ترمینال اشاره نمود. بنابراین، بسیاری از پپتیدهای کونوس دارای آمینواسیدهای غیراستاندارد هستند که از طریق یک مدیفیکاسیون آنزیم از یک اسید آمینه استاندارد صورت می‌گیرد. وجود این اسیدهای آمینه غیرمعمول، یکی از مشخصه‌های توکسین‌های پپتیدی این گروه از جانوران زهرآگین است (۵۹ و ۶۱). از دیگر ویژگی پپتیدهای کونوس، تنوع زیادی از "چین‌های پپتیدی" در هر ونوم است. آرایش مشخصه بقایای سیستئین در توالی اولیه توکسین‌های پپتید بالغ کونوس ("الگوهای Cys")، الگوهای پیوند عرضی دی سولفید را نشان می‌دهد. همه پپتیدهای متعلق به بالاخانواده کونوتوکسین، یک "الگوی Cys"^{۹۰} اصلی یکسان دارند. الگوهای فرعی Cys دیگری نیز ممکن است در برخی از بالاخانواده‌ها مشاهده شوند. همه پپتیدهای موجود در یک بالاخانواده کونوکسین احتمالاً دارای کانفورماسیون‌های کلی مشابهی هستند (۶۲ و ۶۳). این الگوهای مختلف Cys، چین‌های مختلف ساختاری را در پپتیدهای رمزگذاری شده توسط بالا خانواده‌های مختلف ژن کونوپپتیدی ایجاد می‌نمایند. بنابراین، در زهرهای کونوس، تنوع بیشتری از "چین‌های پپتیدی نسبت به ونوم‌های سایر جانوران، یافت می‌شود. اکثریت قریب به اتفاق پپتیدهای کوچک ونوم کونوس، غنی از دی سولفید و از نظر کانفورماسیونی سخت هستند. اقلیتی از پپتیدهای کونوس فاقد کراس‌لینک‌های دی سولفیدی هستند و احتمالاً بسیار انعطاف‌پذیرتر هستند. الگوهای Cys از بالاخانواده‌های مختلف کونوتوکسین توسط ترلاو و اولیورا، مورد بررسی قرار

87 Conotoxins

88 "Pre" Region

89 Prepropeptide

90 Cys Pattern

مهار کننده سیستم^{۹۴}، شناسایی شده‌اند. δ -کونوتوکسین‌ها^{۹۵}، در مهار غیرفعال‌سازی سریع کانال‌های سدیمی دریچه-ولتاژ، μO -کونوتوکسین‌ها^{۹۶} در مهار جریان سدیمی ولتاژ-دریچه، κ -کونوتوکسین‌ها^{۹۷}، در تعامل با کانال‌های پتاسیمی دریچه-ولتاژ، و نیز ω -کونوتوکسین‌های مهارکننده کانال‌های کلسیمی ولتاژ-فعال^{۹۸} شناخته شده‌اند. از نظر بی‌حرکت نمودن طعمه، پپتیدهای این خانواده‌های مختلف می‌توانند در واحد حمله برق آسا^{۹۹} یا در بخش موتور درگیر شوند. برای گونه‌های ماهی شکار، نظیر کونوس پورپوراسنس^{۱۰۰}، نشان داده شده است که δ -کونوتوکسین PVIA و κ -کونوتوکسین PVIIA برای واحد حمله برق آسا بسیار حیاتی است (۴۴). بنابراین، یکی از برجسته‌ترین ویژگی‌های کونوپپتیدها، خواص فارماکولوژیکی آنها است. فعالیت کونوتوکسین‌ها متفاوت است. کونوتوکسین Mo1659 روی کانال K^+ عمل می‌کند. کونومپ-Vt^{۱۰۱}، می‌تواند بافت عضلانی را تحریک کند، اما نقش آن در گیرنده‌ها مشخص نشده است. کونتولاکین-G^{۱۰۲} بر روی گیرنده نوروتانسین عمل می‌کند (۶۱). برخی پپتیدهای کونوس عملکرد گیرنده‌های پیوند با پروتئین G (GPCRS) را تحت تأثیر قرار می‌دهند. نشان داده شده است که برخی پپتیدهای کونوسی که عملکرد GPCRS را هدف قرار می‌دهند از خانواده‌های متنوع هستند و تاکنون هیچ خانواده عمده‌ای شناسایی نشده است.

گرفته‌اند (۱۰). تعداد به روز شده از همه چهارچوب‌های پپتیدی کونوس، در وبسایت کونسروور^{۹۱} نگهداری می‌شود (۶۴). یکی دیگر از ویژگی‌های بارز ابرخانواده‌های ژنی پپتیدی کونوس، تکامل آنها با یک سرعت بی‌سابقه است. در نتیجه، اساساً هیچ همپوشانی مولکولی بین پپتیدهای ونوم موجود در دو گونه مختلف حلزون مخروطی وجود ندارد (۶۵). همانگونه که اشاره گردید، کونوپپتیدها را با توجه به توالی اسید آمینه آنها می‌توان به دو گروه گسترده پپتیدهای غنی از دی‌سولفید^{۹۲} و پپتیدهای غیرغنی از دی‌سولفید^{۹۳} طبقه‌بندی نمود (۱۰). پل‌های دی‌سولفیدی برای عملکرد بیولوژیکی پپتیدهای غنی از سیستمین، ضروری شناخته شده‌اند. علاوه بر این، پل‌های دی‌سولفیدی به مثابه یک ستون فقرات برای ساختار این پپتیدها هستند که معمولاً نسبتاً پایدار هستند (۶۶). برای پپتیدهای غنی از سولفید، چندین بالاخانواده با توجه به تفاوت در اتصال سیستمین آنها تعریف شده است. در این بالاخانواده‌ها، پپتیدهای مختلف ممکن است اهداف مختلفی داشته باشند. بنابراین، یک بالاخانواده، ممکن است از چندین خانواده کونوتوکسین که با توجه به خواص فارماکولوژیک آنها گروه‌بندی شده‌اند، تشکیل شده باشد (۶۶). به عنوان مثال، در بالاخانواده-O، حداقل چهار خانواده مختلف از کونوپپتیدهای غنی از دی‌سولفید، شش سیستمین با آرایشی از پپتیدهای با ریشه‌های مختلف (نقش "گره

⁹¹ Conoserver

⁹² Disulfide-Rich Peptides

⁹³ Non-Disulfide-Rich Peptides

⁹⁴ Inhibitor Cystine Knot' Motif

⁹⁵ δ -conotoxins

⁹⁶ μO -conotoxins

⁹⁷ κ -conotoxins

⁹⁸ voltage-activated

⁹⁹ Lightning Strike Cabal

¹⁰⁰ *Conus purpurascens*

¹⁰¹ Conomap-Vt

¹⁰² Contulakin-G

به سان ابزاری ایده‌آل برای مطالعه ساختار و عملکرد یک هدف مشخص باشند (۶۶).

خانواده‌های بزرگ پپتیدی کونوس به خانواده‌های جداگانه کوچک‌تر تقسیم می‌شوند. ویژگی برجسته‌ای که خانواده‌های مختلف کونوتوکسین متعلق به یک بالاخانواده مشابه را از هم متمایز می‌کند، اثرات فارماکولوژی آنها است که مشخص می‌کند کدام گروه از کانال‌های یونی، گیرنده‌ها یا ناقل‌ها هدف مورد نظر آنها هستند (۷۳)؛ برخی از خانواده‌های کونوتوکسین به‌طور گسترده‌ای در کل جنس کونوس توزیع شده‌اند. نمونه‌هایی از آن، α - کونوتوکسین‌هایی هستند که گیرنده‌های استیل کولینی نیکوتینی و نیز δ -کونوتوکسین‌هایی که کانال‌های سدیمی دریچه ولتاژ را هدف قرار می‌دهند (۷۴).

اگرچه پیش‌بینی اینکه کدام‌یک از کونوتوکسین‌ها در ونوم یک گونه خاص مخروطی یافت می‌شود، دور از علم دقیق است؛ لکن زیر گروه ژنریکی که یک گونه حلزون مخروطی به آن تعلق دارد، به شدت پیش‌بینی کننده کونوتوکسین‌هایی است که در ونوم آن یافت می‌شود. به‌عنوان مثال، به نظر می‌رسد گروه‌های مختلف حلزون مخروطی ماهی شکار، دارای توکسین‌های مختلف تخصصی برای هدف قرار دادن گیرنده استیل کولینی نیکوتینیک عصبی عضلانی هستند. به موجب این امر، فیلوژنی مولکولی کونوس به یک کاتالیزور قدرتمند برای تسریع در کشف تبدیل شده است. با این حال، گونه‌های خاصی نیز، غالباً دارای اجزای سازنده زهر خاص هستند که حتی در گونه‌های بسیار نزدیک کونوس نیز یافت نمی‌شوند. در طی دهه گذشته، بیشترین کونوتوکسین‌ها از طریق توالی نسل

علاوه بر این، پپتیدهای کونوس ممکن است حامل‌های حامل‌های کاتکول‌آمین را هدف قرار دهند (۶۷).

نشان داده است که کونوپپتیدها، فوق‌العاده قوی و بسیار اختصاصی هستند. به‌عنوان مثال، ω -کونوتوکسین MVIIA، به‌طور اختصاصی کانال‌های کلسیمی نوع-N ($Ca_v2.2$) را با تمایل کم به سایر زیرگروه‌های کانال کلسیمی، مورد هدف قرار می‌دهد (۶۸). از آنجا که کانال‌های کلسیمی نوع-N در درجه اول در فضای پیش‌سیناپسی واقع شده‌اند، عملکرد ω -کونوتوکسین MVIIA، منجر به مهار انتقال سیناپسی می‌گردد و بنابراین، این پپتید در طی تلقیح زهر به طعمه، در بخش موتوری درگیر است. کونوتوکسین‌ها، می‌توانند به‌طور خاص بر روی کانال‌های یونی دریچه-ولتاژ (K^+ , Na^+ , Ca^{2+})، کانال‌های یونی دریچه- لیگاند ($5-nAChR$ ، $NMDAR$ ، HT_3R) و گیرنده‌های پروتئینی G عمل نمایند و مورد توجه گسترده‌ای در زمینه علوم اعصاب و توسعه داروهای جدید قرار گیرند. آنها گیرنده‌های، αA ، α و ψ -CTx با nAChR را به‌صورت‌های رقابتی و غیررقابتی آنتاگونیست می‌کنند (۶۹). برخی از کونوتوکسین‌ها با یا بدون یک جفت پیوند دی‌سولفیدی، می‌توانند به‌طور انتخابی بر روی گیرنده‌های وازوپرسین (مانند کونوپرسین^{۱۰۳}) (۷۰)، گیرنده‌های NMDA (مانند کونانتوکین‌ها^{۱۰۴}) (۷۱) و گیرنده‌های سروتونین عمل نمایند (۷۲). با توجه به ویژگی خارق‌العاده کونوپپتیدها، هر تک پپتید، یک "متخصصی" است که برای یک هدف خاص بهینه شده است و عملکرد فردی ولی هماهنگ پپتیدهای مختلف موجود در ونوم، منجر به عملکرد بیولوژیکی مورد نیاز جهت درندگی این حلزون‌ها می‌شود. با توجه به این خصوصیات فارماکولوژیک، کونوپپتیدها می‌توانند

¹⁰³ Conopressin

¹⁰⁴ Conantokins

بر همین اساس، هم اکنون چندین کونوپتید تحت کارآزمایی‌های بالینی قرار دارند. با آنکه استفاده از پپتیدها به عنوان دارو محدود است، اما این پپتیدها به درک ما در زمینه تأثیر متقابل ترکیبات با هدف و در نتیجه باز کردن زمینه‌های جدید تحقیقات دارویی کمک خواهند کرد. از آنجا که چندین کونوپتید در کارآزمایی‌های بالینی مورد ارزیابی قرار گرفته‌اند و همچنین با توجه به مورد تأیید قرار گرفتن ω-کونوتوکسین MVIIA^{۱۰۶}، به‌عنوان یک داروی ضد درد زیکونیتاید^{۱۰۷} (Prialt®)، نیاز به تولید بیشتر کونوپتیدها، افزایش یافته است (۶۶). این پتانسیل زیست پزشکی کونوپتیدها است که تحقیقات فعلی در زمینه خصوصیات آن‌ها را به خود معطوف داشته است و با این روند محتمل است که کونوپتیدهای بیشتری با خواص فارماکولوژیکی شگفت‌انگیز، کشف شوند (۶۶).

طبقه‌بندی و نامگذاری کونوتوکسین‌ها

یکی از ویژگی‌های اصلی کونوتوکسین‌ها چهارچوب سیستمینی بسیار محافظت شده آن‌ها است که برای طبقه‌بندی آن‌ها استفاده می‌شود. پیوندهای دی سولفید حاصل اغلب ساختارهای ثانویه پروتئین مانند و چین‌های زیست فعال بی نظیر را تثبیت می‌کنند. در حال حاضر، ۲۸ خانواده چهارچوب در کونسورس بر اساس تعداد بقایای سیستمینی، اندازه حلقه آن‌ها، و قابلیت اتصال پیوند سولفیدی وجود دارد. سه چهارچوب کونوتوکسین‌های VI/VII که دارای گره سیستمین بازدارندگی پایدار^{۱۰۸} (ICK) هستند، با ۷۱۹ عضو شناسایی شده؛ چهارچوب I، یا همان

بعدی (NGS)^{۱۰۵}، از ترانسکریپتوم کانال ونوم کشف شده‌اند (۷۵). همان‌گونه که اشاره شد با توجه به عملکرد ونوم روی قربانی و با توجه به نقش بیولوژیکی آن‌ها برای بی‌حرکتی طعمه، نیز می‌توان کونوتوکسین‌های مختلف را طبقه‌بندی نمود (۷). همان‌گونه که نشان داده شد، برخی از کونوپتیدها برای بی‌حرکت نمودن سریع طعمه ("کابال برخورد صاعقه")، دارای اهمیت زیادی هستند؛ در حالی که برخی فعالیت خود را در مراحل بعدی تلقیح زهر انجام می‌دهند که منجر به یک مهار برگشت‌ناپذیر انتقال عصب عضله می‌گردند که به اصطلاح "کابال حرکتی" گفته می‌شود.

کونوتوکسین‌ها به دلیل خصوصیات پیوند ویژه خود، می‌توانند ابزار ارزنده‌ای برای به‌دست آوردن اطلاعات ساختاری در مورد هدف مربوطه خود باشند؛ به‌عنوان مثال، برای پروتئین‌های غشایی که اطلاعات ساختاری آن‌ها کم و یا در دسترس نمی‌باشد؛ می‌توان از برهم‌کنش این توکسین‌های پپتیدی برای به‌دست آوردن اطلاعات ساختاری پروتئین هدف با استفاده از سطح برهم‌کنش پپتید استفاده نمود (۷۶). داده‌های به دست آمده از NMR حالت جامد در مطالعه لانگ (Lange) و همکاران، نشان دادند که در طی اتصال توکسین‌های پپتیدی به اهداف خود، برخی تغییرات کانفورماسیونی در هر دو بخش اتصال در طی برهم‌کنش‌های دارو-هدف رخ می‌دهد (۷۷). از آنجا که کانال‌های یونی دریچه-ولتاژ و دریچه-لیگاند به‌عنوان پروتئین‌های هدف کونوپتیدها، در انواع عملکردهای مختلف فیزیولوژیکی نقش دارند، مشخص می‌شود که برخی از کونوپتیدها پتانسیل این را دارند که به‌عنوان ترکیبات اساسی برای داروهای جدید عمل کنند.

¹⁰⁵ Next-Generation Sequencing

¹⁰⁶ ω-conotoxin MVIIA

¹⁰⁷ Ziconitide

¹⁰⁸ Inhibitory cysteine knot

چهارچوب II (CCC-C-C-C). فقط چهار کونوتوکسین از این چهارچوب، با سه باقیمانده سیستمین متوالی شناسایی شده است. به عنوان مثال، کونوتوکسین VxII، خالص سازی شده از نوم کونوس و اکسیلیوم (۷۹)، کونوتوکسین Cp2-DD02 کشف شده در سطح نوکلئیک اسید (۸۰) و Cp2-DD02. از این چهارچوب هستند. تزریق VxII سنتزی به صورت داخل مجسمه‌ای به موش‌های ۴ هفته‌ای، منجر به علائمی چون آرامبخشی، سفتی دم و القای پرش در موش‌ها گردید (۷۹).

چهارچوب III (CC-C-C-CC)
 ۱۴-کونوتوکسین‌ها ابزار بسیار ارزنده‌ای برای مطالعه زیرگروه‌های کانال سدیم بوده‌اند (۸۰ و ۸۱). در طی سال‌های گذشته، ۱۴-کونوتوکسین‌های متعددی کشف یا مجدداً بازنگری شده‌اند. بسته به تعداد بقایای واقع در حلقه آخر (بین Cys4 و Cys5)، این چهارچوب به زیر شاخه‌های M-۱ تا M-۴ تقسیم شده‌اند (۸۲). پیوندهای دی سولفیدی مختلفی برون و درون کونوتوکسین‌های زیرشاخه‌ها گزارش شده‌اند (۸۳). زیرگونه‌ها همسانی توالی کمی را نشان می‌دهند و اندازه حلقه آن‌ها متنوع می‌باشد (۸۴).

چهارچوب IV (CC-C-C-C-C). بیشتر کونوتوکسین‌های چهارچوب IV، از نوم شکارگران ماهی مشخص گردیده‌اند و به خانواده KA کونوپپتیدها تعلق دارند (۷۵).

چهارچوب V (CC-CC) V. پپتیدهای چهارچوب V، کوچک و حاوی ۸ تا ۱۷ اسید آمینه هستند و در انواع مختلفی از گونه‌ها یافت می‌شوند (۸۵). فارماکولوژی

α -کونوتوکسین‌ها^{۱۰۹}، با ۶۹۱ عضو و پس از آن چهارچوب III، یا μ -کونوتوکسین‌ها، با ۴۳۰ عضو، به ترتیب بر سایرین، غالب هستند (شکل ۱). به عنوان مثال، بالا خانواده A، اکنون دارای شش چهارچوب I, II, IV, VI / VII, XIV و XXII می‌باشد. نامگذاری کونوتوکسین‌ها بر اساس اتحادیه بین‌المللی فارماکولوژی پایه و بالینی (IUPHAR) و بر طبق چهارچوب کونوتوکسین و بالاخانواده ژنی استفاده می‌شود (۱۶ و ۶۴). بر اساس این فارماکولوژی، مثلاً α -GI که α نشان دهنده آن است کونوتوکسین گیرنده استیل کولینی نیکوتینی را هدف قرار می‌دهد G(mAChR)، نشانگر منشاء آن که در اینجا کونوس ژئوگرافوس است و I چهارچوب آن را نشان می‌دهد (۱۶، ۶۴ و ۷۵). هنگامی که هدف ناشناخته است، حرف یونانی حذف می‌شود و حرف گونه با حروف کوچک با یک عدد عربی برای چهارچوب و حروف کوچک برای انواع کونوتوکسین‌ها (به عنوان مثال، reg3b) نوشته می‌شود. این روش، به طرح اصلی مکیتوش، معروف است (۷۳).

در سال ۲۰۰۸، یک نامگذاری جایگزین، برای توکسین‌های پپتیدی توسط کینگ (King) و همکاران، پیشنهاد شد (۷۸) که نام توکسین را به سه قسمت فعالیت، منبع بیولوژیکی و ارتباط با توکسین‌های دیگر تقسیم می‌کند ولی به طور گسترده مورد استفاده قرار نگرفت. عملکرد توالی‌های جدید، بر اساس چهارچوب‌های سیستمین آن‌ها توصیف می‌گردند.

چهارچوب I (CC-C-C). این چهارچوب سیستمینی متداول، α -کونوتوکسین‌هایی که در بیشتر نوم‌های کونوس مشاهده می‌شوند را توصیف می‌کند.

چهارچوب، از ونوم کونوس تکستایل بود که یک علامت اسپاسمودیک متمایز را در موش‌ها ایجاد می‌نماید (۹۰).

چهارچوب X (CC-CXOC). کونوتوکسین‌های α -MrIB و γ -MrIA دو پپتید کشف شده از ونوم کونوس مرمئوس با عملکرد مهارکنندگی انتخابی انتقال دهنده عصبی نورایی نفرین انسانی (hNET) و کاندیداهای دارویی بالقوه برای کاهش درد مزمن نوروپاتی از اعضای خانواده این چهارچوب هستند (۹۰).

چهارچوب XI (C-C-CC-CC-C-C). کونوتوکسین‌های فراوانی با ۶۷ ورودی کونوسورور از چهارچوب XI هستند که کاوشگرهای ارزشمندی برای تشریح اجزای مولکولی آکسون‌ها به‌شمار می‌آیند (۹۱) و (۹۲). پپتیدهایی چون r11e و r11d r11c r11b r11a خالص‌سازی شده از ونوم کونوس رادیاتوس (۹۳)، با توانایی تحریک پتانسیل‌های عمل در آکسون‌های محیطی دوزیستان و نیز بی‌حرکت نمودن بی‌درنگ شکار ماهی، در گروه چهارچوب XI گروه‌بندی می‌شوند (۹۳). کونوتوکسین Xm11a، عضو کشف شده اخیر چهارچوب XI از ونوم کونوس زیمنس^{۱۱۱}، موجب مهار رشد مایکوپلازما توبرکولوزیس در غلظت در حد میکرومولار شده است (۹۴).

چهارچوب XII (C-C-C-C-CC-C-C). اولین پپتید کشف شده با چهارچوب XII، از کونوس گلوریاماریس، Gla-MrII بود که حاوی ۵۰ اسید آمینه، چهار پیوند دی سولفیدی و پنج بقایای اسید γ -کربوکسی گلوتامیک بود و فارماکولوژی مشخصی در مورد آن گزارش نشده است (۹۱).

آن‌ها ناشناخته است و برخلاف الفا- کونوتوکسین‌ها، توالی آن‌ها بسیار متنوع است. آن‌ها همچنین بسیاری از اصلاحات پس‌ترجمه (PTMs)، نظیر γ -کربوکسی گلوتامات، بروموتریپتوفان، هیدروکسی پرولین، ترئونین گلیکوزیده و آمیداسیون C- ترمینال را نشان می‌دهند. نمونه‌هایی از این موارد TxVA، Gla-MrIII و Gla-MrIV هستند (۸۶).

چهارچوب VI/VII (C-C-CC-C-C). چهارچوب VI/VII با ۷۱۹ ورودی در کونوسورور، بزرگ‌ترین گروه کونوتوکسین‌ها، به‌شمار می‌آید. داروی مورد تأیید FDA، یعنی ω -MVIIA و یا کونوتوکسین‌های ω -MoVIA و ω -MoVIB جداسازی شده از گونه مخروطی کرم‌خوار کونوس مونکوری، یا δ -SuVIA یک δ - کونوتوکسین قوی برای hNav1.3، hNav1.4 و hNav1.6 با EC₅₀ زیر نانومولار و یا پپتید جالب μ O ξ -GVIII یک فریم‌ورک VI/VII هستند (۸۷).

چهارچوب VIII (C-C-C-C-C-C-C-C-C-C). چهارچوب VIII با مجموع ۱۸ ورودی در کونوسورور مورد توجه فارماکولوژیکی زیادی قرار گرفته است. کونوتوکسین σ -GVIII خالص شده از ونوم کونوس ژئوگرافوس با فعالیت مهارکنندگی گیرنده (5-HT₃) (۸۸) و کونوتوکسین RVIII، از کونوس رادیاتوس^{۱۱۰}، مؤثر بر زیرگروه‌های گیرنده استیل کولینی نیکوتینیک (nAChR)، از اعضای چهارچوب VIII هستند (۸۹).

چهارچوب IX (C-C-C-C-C-C). آن‌ها دارای ۲۴ ورودی در کونوسورور هستند. کونوتوکسین TxIXA، نتیجه خالص‌سازی اولین پپتید با این

¹¹⁰ *Conus radiatus*

¹¹¹ *Conus ximenes*

چهارچوب XIII (C-C-C-CC-C-C-C).

یک چهارچوب غیرمعمول برای de13a، یک جزء عمده اصلی در زهر کونوس دلسرتی^{۱۱۲}، با محتوای بالایی از اصلاحات پس ترجمه‌ای از جمله هیدروکسیلاسیون چهار باقیمانده، برومیناسیون یک باقیمانده و آمیداسیون C-ترمینال و همچنین یک آنالوگ نزدیک به آن یعنی De13b که با کلونینگ cDNA کشف شد و نیز Mi044 به دست آمده از کونوس مایلس با اندازه‌های مختلف حلقه که با استفاده از یک رویکرد ونومیکس یکپارچه کشف شد از این چهارچوب هستند؛ هر چند که فارماکولوژی آن‌ها نیز چندان مشخص نیست (۹۲).

چهارچوب XIV (C-C-C-C).

با کشف F1fXIVA-C از ونوم کونوس فلوریدانوس فلوریدنسیس^{۱۱۳} و VilXIVA از زهر کونوس ویلیپینی^{۱۱۴}، به‌عنوان یک کونوتوکسین چهار سیستمی و سه حلقوی در سال ۲۰۰۵، توصیف شد (۹۵)؛ هرچند، یک پپتید با این چهارچوب، بنام پپتید اسکراچر^{۱۱۵}، در سال ۱۹۹۰ کشف شده بود (۷). در سال ۲۰۱۶، اولین کونوتوکسین گزارش شده دارای فعالیت آپوپتوز در رده‌های سلول سرطانی ریه، یعنی کونوتوکسین Cal14.1a از حلزون دریایی کونوس کالیفرنیکوس^{۱۱۶} به دست آمد که با کاهش زنده‌مانی سلولی، کاسپازها را فعال کرده و میزان بیان پروتئین پیش‌زنده مانی NFκB-1 را کاهش می‌داد. (۹۶).

چهارچوب XV (C-C-CC-C-C-C).

فرض بر این بود که چهارچوب XV، اتصال پیوند دی سولفید "ICK + 1" را اتخاذ می‌کند، اما این فرض در سطوح ساختاری و فارماکولوژیکی، مشخص نگردید. اولین پپتید شناسایی شده چهارچوب XV، از ونوم گونه شکارچی کرم کونوس ویرگو^{۱۱۷} بود (۹۷).

چهارچوب XVI (C-C-CC).

کرم‌خوار کونوس کوئرسینوس^{۱۱۸}، یک توکسین به نام کونوتوکسین Qc16a با چهارچوب XVI به دست آمد که تزریق داخل جمجمه‌ای آن به موش، موجب علائم افسردگی گردید. ساختار رزونانس مغناطیسی هسته‌ای Qc16a، یک کانفورماسیون روبانی با یک موتیف ساده β -turn مشابه χ -MrIA تطابق داشت (۹۸).

چهارچوب XVII (C-C-CC-C-CC-C).

پپتید cal16a که قبلاً در چهارچوب XVI توصیف شده بود، مجدداً توسط کونسورور، به‌عنوان چهارچوب XVII تعیین گردید. این کونوتوکسین، در سال ۲۰۰۸، از حلزون مخروطی شکارگر کرم کونوس کاراکتریستیکوس^{۱۱۹}، خالص‌سازی، توالی‌یابی و شبیه‌سازی شد (۹۹). فارماکولوژی این پپتید بسیار آب دوست غنی از بقایای قطبی Gly، Ser و Thr و همچنین Pro هیدروکسیله، مشخص نگردیده است (۱۹).

چهارچوب XVIII (C-C-CC-CC).

۱۹۹۹، کونوتوکسین BeTXIIa، با چهارچوب XVIII

¹¹² *C. delessertii*
¹¹³ *C. floridanus floridensis*
¹¹⁴ *C. villepini*
¹¹⁵ Scratcher
¹¹⁶ *Conus californicus*
¹¹⁷ *C. virgo*
¹¹⁸ *C. quercinus*
¹¹⁹ *C. characteristicus*

چهارچوب XXI (CC-C-C-C-CC-C-C) از کونوس بتولینوس^{۱۲۰}، جداسازی و توالی‌یابی گردید. ساختار سه بعدی، سنتز و فارماکولوژی این چهارچوب غیرمعمول، مورد مطالعه و بررسی قرار دارد (۱۰۰).
چهارچوب XIX (C-C-C-CCC-C-C-C-C) کونوتوکسین DiXIXA با چهارچوب غیرمعمول XIX، از ونوم کونوس دیستانس خالص‌سازی گردید که در دوزهای پایین موجب تحریک‌پذیری بیش از حد و در دوزهای بالاتر بی‌حالی در موش‌ها را ایجاد می‌نمود. کونوتوکسین DiXIXA، دارای پنج PTM مشتمل بر یک ۷-کربوکسی گلوتامات و چهار باقی‌مانده هیدروکسی پرولین است (۱۰۱). Pu19.1 نیز یک توالی پیش‌بینی شده توسط ترانسکریپتوم مجاری زهری کونوس پولیکاریوس^{۱۲۱} است.
چهارچوب XX (C-CC-C-CC-C-C-C-C) چهارچوبی که در ابتدا XII فرض می‌گردید، به چهارچوب XX تغییر یافت. اخیراً، پپتیدهای چهارچوب XX مربوط به کونوس وکسیلیوم توسط ترانسکریپتومیکس مورد تجدید نظر قرار گرفته‌اند. به‌علاوه، α D-کونوتوکسین‌های VxXXA^{۱۲۲} تا VxXXC، به‌عنوان نسخه اصلی شناسایی شدند و منحصراً در زهرهای دفاعی یافت گردیدند (۱۰۲). در سال ۲۰۱۵ نیز توسط زو (Xu) و همکاران یک چهارچوب XX برای پپتید α D-GeXXA کشف شده از کونوس جنرالیس^{۱۲۳} تعریف گردید. مطالعه ساختار بلوری آن یک جایگاه اتصال تازه روی nAChRs برای این پپتید را نشان داد که می‌تواند مبنایی ارزشمند، جهت طراحی منطقی ترکیبات جدید مورد هدف قرار دهنده nAChR، فراهم نماید (۱۰۳).

چهارچوب XXII (C-C-C-C-C-C-C-C) چهارچوب XXII، از آنالیز cDNA کونوس کالیفورنیکوس با شش نمونه پپتید پیش‌بینی شده (Cal22a-f) تعریف گردید (۱۰۶). پپتیدهای شناسایی شده از گونه‌های دیگر نظیر Mr22.1، Vc22.1 و cl10.1، اما کاملاً متفاوت از نظر اندازه‌های حلقه و طول نیز دارای چهارچوب XXII هستند (۱۰۶ و ۱۰۷).

چهارچوب XXIII (C-C-C-CC-C) آنالیز NMR کونوتوکسین Im23a، از چهارچوب XXIII، نشان داد که این پپتید دارای الگوهای III-IV، I-II و V-VI از پل‌های دی‌سولفیدی و یک چین تیز حلقوی

¹²⁰ C. betulinus

¹²¹ C. pulicarius

¹²² α D-conotoxins

¹²³ C. generalis

¹²⁴ C. victoriae

است. تزریق داخل جمجمه‌ای Im23a به موش‌ها موجب القاء عوارض تحریکی شده است (۱۰۸).

چهارچوب XXIV (C-CC-C). چهارچوب غیرمعمول XXIV، فقط دو ورودی کونوسورور دارد. کونوتوکسین $\alpha VxXXIVA$ به دست آمده از کونوس وکسیلیوم که ترجیحاً nAChR زیر گونه $\alpha 9\alpha 10$ را مهار می‌کند (۱۰۹) و نیز Mi041 از کونوس مایل، با ۱۱ باقیمانده اسید آمینه و سه پرولین در این توالی نسبتاً کوتاه دارای چهارچوب XXIV هستند (۹۲).

چهارچوب XXV (C-C-C-C-CC). تنها ورودی در کونوسورور برای فریم‌ورک XXV، کونوتوکسین as25a، از ونوم کونوس کنسلاتوس^{۱۲۵} جداسازی شد و تزریق داخل جمجمه‌ای آن به موش موجب فلج اندام‌های پشتی و حتی مرگ در دوز پایین ۲۴۰ میکومولار گردید (۱۱۰).

چهارچوب XXVI (C-C-C-C-CC-CC). یک پپتید منفرد از این چهارچوب، RsXXIVA، توسط برنالdez (Bernaldez) و همکاران، از مجرای زهر کونوس رگولاریس^{۱۲۶} جدا شد (۱۱۱).

تنوع ساختاری کونوتوکسین‌ها

تا سال ۲۰۱۲، تعداد ۲۱۸ ساختار سه بعدی کونوتوکسین در کونوسورور گزارش گردید (۷۵). به‌عنوان بخشی از به‌روزرسانی در مورد ساختارهای این توکسین‌ها، نامگذاری مرتبط با فولدهای (گروه‌ها^{۱۲۷}) و زیرگروه‌های^{۱۲۸} به‌روز شده آن‌ها در سال ۲۰۱۴ توسط آکوندی (Akondi) و همکاران، پیشنهاد گردید (۱۶).

فولدها با یک حرف بزرگ مشخص می‌شوند و زیرگروه‌های آن (ساب‌فولدها)، با اضافه کردن یک عدد به جلوی حروف نشان داده می‌شوند. به‌عنوان مثال، "A1"، یک ساب‌فولد از "فولد A" است. از زمان انتشار اولیه نام‌گذاری و گروه‌بندی کونوتوکسین، ساختارهای جدید به اصلاح گروه‌بندی کمک کرده است و هفت گروه کاملاً جدید کشف شده‌اند (۱۶ و ۵۱).

مکانیسم‌های بیولوژیکی

اثرات بیولوژیکی خاص یک ونوم کونوتیدی، تابعی از اهداف فیزیولوژیکی توکسین‌های خاصی است که در آن ونوم بیان می‌شوند. از بین اهداف گیرنده ونوم‌پپتیدهای نرم‌تنان، فقط برای بخش بسیار کوچکی از پپتیدهای کونوس روشن شده است. در حال حاضر، آن‌ها به سه کلاس گسترده کانال‌های یونی دریچه‌دار لیگاند؛ کانال‌های یونی ولتاژ دریچه‌دار و همچنین اهداف دیگری غیر از اهداف متعلق به این دو گروه بزرگ کانال‌های یونی، تقسیم می‌شوند (۱۱۲).

α -کونوتوکسین‌ها

α -کونوتوکسین‌ها، به‌طور قابل‌توجهی با آمیداسیون کربوکسی-ترمینال (C-ترمینال)، مهارکننده‌های گیرنده‌های استیل کولینی نیکوتینیک پنتامریک (nAChRs) هستند (۱۱۳). آن‌ها کانال‌های یونی گیرنده استیل کولین نیکوتینی دردار با لیگاند را مورد هدف قرار داده و با تغییر ساختار دینامیکی پس از پیوندی که منجر به بسته شدن کانال می‌شود، موجب مهار جریان یونی می‌گردد. گیرنده‌های nAChR

¹²⁵ C. cancellatus

¹²⁶ C. regularis

¹²⁷ Fold

¹²⁸ Subfold

این محدودیت‌ها انجام گردیده‌اند (۱۶). برخی از α -کونوتوکسین‌ها، مورد بررسی قرار می‌گیرند.

α -کونوتوکسین LsIA

α -کونوتوکسین LsIA، قدرت مهارى بالایی را در زیرگروه‌های $\alpha 3\beta 2$ (IC_{50} ۱۰/۳ نانومولار) و $\alpha 7$ (IC_{50} ۱۰ نانومولار) از nAChR از خود نشان داده‌اند (۱۲۶). زیرگروه $\alpha 3\beta 2$ در سیستم‌های عصبی مرکزی و محیطی، از جمله مخچه، نخاع و سلول‌های عصبی گانگلیونی اتونومیک، بیان می‌گردد (۱۲۷). در مطالعه اینسرا (Inserra) و همکاران، نشان داده‌شد که α -کونوتوکسین LsIA، جدا شده از ونوم کونوس لیمپوسی^{۱۳۳}، موجب مهار nAChR $\alpha 3\beta 2$ موش صحرائی با قدرت در حدود نانومولار می‌گردد (۱۲۶). مشابه با طیف بسیاری از α -کونوتوکسین‌ها، LsIA اولیه دارای یک C- انتهایی (C-T) و دو پل دی‌سولفیدی است که با چهار باقیمانده سیستئین (Cys1-Cys3، Cys2-Cys4)، تعامل می‌کند (۱۲۸). در مطالعه ابراهام (Abraham) و همکاران، نشان داده شد که LsIA به‌طور انتخابی، $\alpha 7$ انسانی و $\alpha 3\beta 2$ موشی nAChRs بیان‌شده در اووسیت‌های^{۱۳۴} زنبوپوس لیاویس^{۱۳۵} را مهار می‌کند (۱۲۹). مطالعات تجربی نظیر جهش‌زایی یا سنتز شیمیایی α -کونوتوکسین‌های اصلاح شده که اطلاعاتی را برای بهبود انتخابگری و اختصاصیت LsIA برای nAChR فراهم نماید ممکن است در آینده برای بهبود اثر بخشی فعالیت گیرنده‌های نیکوتینی، به‌عنوان داروهای مولکولی برای درمان‌های جدید با عوارض جانبی کمتر مفید واقع شوند نتایج

پروتئین‌های کانال غشایی میان‌غشایی^{۱۲۹} پنتامریک هستند که ترکیبات مختلفی از زیرگروه‌های هومومریک (زیرگروه‌های $\alpha 7$ و $\alpha 9$ هومومریک) و هتروپنتامریک (زیر واحد α و β (4- $\beta 2$) را تشکیل می‌دهند (۱۱۴) و (۱۱۵)، نقش مهمی در انتقال پیام واسطه بین نورون‌ها دارند (۱۱۶). بنابراین، آن‌ها با اختلالات عصبی و بیماری‌های متعددی چون پارکینسون، آلزایمر، زوال عقل، اسکیزوفرنی و اعتیاد، مرتبط هستند. (۱۲۰-۱۱۷) α -کونوتوکسین‌های به‌دست آمده از ونوم کونوس، به‌عنوان آنتاگونیست‌های رقابتی nAChR شناخته می‌شوند و برخی ممکن است از پتانسیل درمانی برخوردار باشند (۱۲۱ و ۱۲۲). به‌طور معمول، α -کونوتوکسین‌ها از ۱۲-۲۰ آمینو اسید که با چهار سیستئین منجر به ایجاد دو حلقه می‌شوند تشکیل یافته‌اند و بر اساس اندازه‌های مختلف، حلقه‌های آن‌ها نیز طبقه‌بندی می‌شوند (۱۲۳). به‌عبارتی از نظر تئوری، چهار باقیمانده Cys می‌توانند سه اتصال دی‌سولفیدی ایجاد نمایند و سه ایزومر از جمله ایزومرهای کروی^{۱۳۰} (CysI-CysIII، CysII-CysIV)، روبان^{۱۳۱} (CysI-CysIV، CysII-CysIII) و مهره^{۱۳۲} (CysI-CysII، CysIII-CysIV) تشکیل دهند (۱۲۴).

با وجودی که α -کونوتوکسین‌ها به‌عنوان ابزارهای فارماکولوژیکی و سرنخ‌های دارویی مفید در نظر گرفته شده‌اند، اما آن‌ها نیز با مشکلات عمومی پدیدها، از جمله هیدرولیز آسان توسط پروتئازها، نیمه عمر کوتاه و فراهم‌آوری زیستی پایین، در شرایط *in vivo* مواجه هستند که بر پتانسیل فارماکولوژیکی آن‌ها تأثیر می‌گذارد (۱۲۵)؛ هر چند که مطالعات متعددی در رفع

¹²⁹ Transmembrane

¹³⁰ Globular

¹³¹ Ribbon

¹³² Bead

¹³³ *C. limpusi*

¹³⁴ Oocyte

¹³⁵ *Xenopus laevis*

α -کونوتوکسین MII، به‌عنوان یک بازدارنده بسیار قوی و انتخابی ایزوفرم $\alpha 3\beta 2$ nAChR مشخص شده است. MII α -CTx دارای یک الگوی سیستین چهارچوب I از CC-CC و یک پپتید ۱۶ اسید آمینه‌ای با توالی اولیه GCCSNPVCHLEHSNLC و پیوندهای دی‌سولفید بین C₂-C₈ و C₃-C₁₆ می‌باشد که آن را به یک الگوی اتصال کروی تبدیل می‌نماید و معمول بسیاری از α -CTx ها می‌باشد (شکل ۷) (۱۶). یکی از ویژگی‌های مربوط به بسیاری از انواع تومورها، افزایش بیان گیرنده‌های استیل‌کولین نیکوتینیک (nAChRs) است. همان‌گونه که اشاره گردید ترکیبی از زیرواحدهای مختلف nAChR منجر به تشکیل زیرگروه‌های مختلفی از این گیرنده می‌شود که می‌تواند هترومیری متشکل از زیر واحدهای مختلف، یا هومومیری، متشکل از زیر واحدهای یکسان باشند. همراه با سلول‌های منشاء عصبی، nAChR در انواع مختلفی از سلول‌های غیر عصبی بیان می‌شوند و در تنظیم بسیاری از عملکردهای سلولی شرکت می‌کنند. این گیرنده‌ها به‌طور اختصاصی، در افزایش تکثیر و زنده‌مانی سلول‌های تومور و تسریع رشد تومور نقش ایفاء می‌کنند (۱۳۲). بنابراین، مسدود کننده‌های nAChR، ممکن است به‌عنوان عوامل ضد تومور در نظر گرفته شوند. α -کونوتوکسین‌های حاصل از ونوم حلزون‌های دریایی از تیره کونوس، مسدود کننده‌های انتخابی این زیرگروه‌های خاص nAChR هستند و بنابراین می‌توان از آن‌ها انتظار فعالیت ضدتوموری داشت. ترپینسکایا (Terpinskaya) و همکاران، نشان داده بودند که برخی از α -کونوتوکسین‌ها موجب مهار پیشرفت کارسینومای ارلیخ می‌گردند و فعال‌ترین آن α -کونوتوکسین MII است (۱۳۳).

تجربی نشان داده‌اند که کربوکسیلاسیون C-ترمینال، تمایل پیوند LsIA در $\alpha 3\beta 2$ nAChR موش صحرایی را سه برابر افزایش می‌دهد؛ هرچند، این اصلاح LsIA، منجر به کاهش تمایل سه برابری در $\alpha 7$ nAChR انسانی می‌شود (۱۱۳). جدول ۱، برخی خصوصیات توالی و جرمی α -کونوتوکسین LsIA را بر اساس داده‌های یونیپروت نشان می‌دهد.

جدول ۱) برخی خصوصیات توالی و جرمی α -کونوتوکسین LsIA (منبع: UniProtKB - P0DL68)	
((CA1A_CONLM	
عنوان	یافته‌ها
توالی	SGCCSNPACR VNNPNIC
طول توالی	۱۷
جرم توالی (Da)*	۱۷۵۲
وزن ملکولی (Da)**	۱۷۴۶/۶
* بر اساس میزان قید شده در یونیپروت؛ ** بر اساس MALDI	

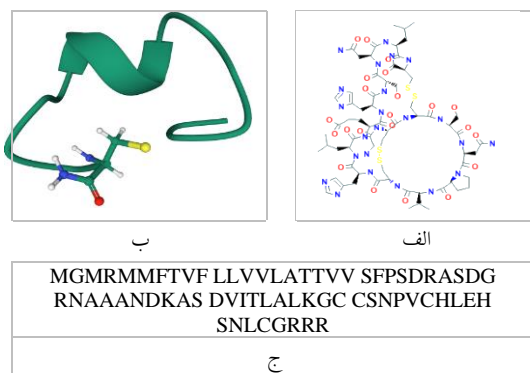
α -کونوتوکسین MII^{۱۳۶}

کونوتوکسین‌ها داربست‌های سفت و سختی دارند و از مهارکننده‌های بسیار قوی nAChR به‌شمار می‌آیند و آن‌ها را برای کاوش پیوندهای nAChR مؤثر می‌سازند. مطالعاتی در روابط ساختار-فعالیت α -CTx و آنالوگ‌های آن‌ها موجود هستند که منجر به کشف زیرگروه‌های nAChR مربوط به بیماری و شناسایی جایگاه‌های پیوند لیگاند- nAChR جدید گردیده‌اند (۱۱۵ و ۱۳۰). مطالعات گسترده رابطه فعالیت ساختار فعالیت (SAR)^{۱۳۷}، برای روشن کردن بر هم‌کنش‌های بین α -کونوتوکسین‌ها و ایزوفرم‌های nAChR و هدایت منطقی سنتز و توسعه آنتاگونیست‌های قوی‌تر و انتخابی‌تر از نظر درمانی انجام گردیده‌اند (۱۳۱-۱۲۹).

136 α -Conotoxin MII

137 Structure-Activity Relationship

α -کونوتوکسین‌ها می‌توانند موجب افزایش اثر سیتوتوکسیک مهارکننده‌های سیکلواکسیژناز و لیپوکسیژناز، در سلول‌های EAC گردند.



شکل ۷) ساختارهای دو بعدی (الف) و سه بعدی (ب) و توالی (ج) α -کونوتوکسین MII. (منبع: UniProtKB - P56636 (CA12_CONMA))

Fig 7) Two-dimensional (a) and three-dimensional (b) and sequence (c) of α - conotoxin MII. (Source : UniProtKB - P56636- (CA12_CONMA)).

بر اساس یونیپروت (UniProtKB-P56636(CA12_CONMA))، طول توالی توکسین ۶۸ و جرم آن ۷۳۵۷ دالتون بود. در مطالعه کارتیر (Cartier) و همکاران، جرم ملکولی تعیین شده α -کونوتوکسین MII با LSI برابر ۱۷۱۰/۶ دالتون به دست آمد (۱۳۶).

α -کونوتوکسین TxIB

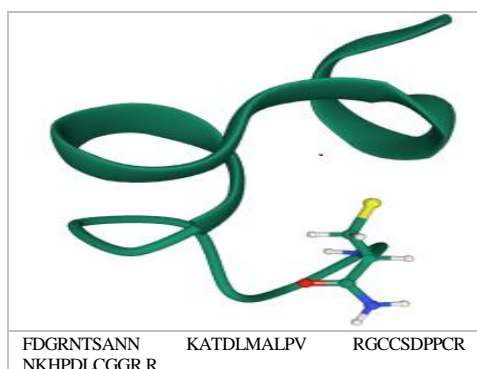
لو (Luo) و همکاران، α -کونوتوکسین TxIB (شکل ۸) را از کونوس تکستایل کشف نمودند که ایزومر کروی آن به‌طور انتخابی قادر به مهار nAChRs $\alpha 6\beta 2^*$ موش صحرائی با $IC_{50}: 2.8$ نانومولار بود اما تأثیر آشکاری بر دیگر انواع زیرگروه‌های nAChR نداشت (۱۰۹). گیرنده‌های

α -کونوتوکسین MII، یک مسدود کننده زیرگروه‌های $\alpha 6$ و $\alpha 3\beta 2$ از nAChR. اثر سیتوتوکسیک ایندومتاسین را ۱/۹ برابر پس از ۴۸ ساعت کشت افزایش می‌دهد. بر اساس مطالعه اوسپوو (Osipov) و همکاران، در شرایط *In vivo*، بایکالین و α -کونوتوکسین MII موجب مهار رشد کارسینومای ارلیچ و افزایش بقای موش می‌گردند. این اثرات با استفاده ترکیبی از α -کونوتوکسین MII با ایندومتاسین یا بایکالین، بسیار افزایش می‌یابند و بین فعالیت ضدتوموری α -کونوتوکسین و مهارکننده‌های آبشار آراشیدونیک اسید، هم‌افزایی دیده می‌شود (۱۲۰).

در میان انواع مختلف کوکسین‌های سیکلیزه شده، α -Ctx MII اولین کونوتوکسینی بود که به چرخش در آمد. مطالعه کلارک و همکاران، نشان داد که این چرخش MII، موجب بهبود و ثبات در پلاسمای انسان می‌گردد (۱۳۴). داده‌های اپیدمیولوژیک نشان می‌دهند که استفاده منظم از داروهای ضدالتهاب غیراستروئیدی مهارکننده COX، احتمال ابتلا به سرطان، به‌ویژه سرطان‌های روده بزرگ، سر و گردن و همچنین سرطان پستان را کاهش می‌دهند. اعتقاد بر این است که اثر ضدتوموری داروهای ضدالتهابی غیراستروئیدی، ممکن است تا حدی به دلیل مهار COX-2 و کاهش سطح PGE2 در ریز محیط تومور باشد (۱۳۵). نتایج مطالعه ترپینسکایا، بر روی موش‌ها، یک اثر ضد توموری α -کونوتوکسین MII را در *in vivo* نشان داد (۱۳۳). استفاده ترکیبی α -کونوتوکسین MII و ایندومتاسین، در *in vivo* نیز موجب مهار آشکار و طولانی مدت رشد سلول‌های کارسینومای ارلیش (EAC)^{۱۳۸}، در مقایسه با استفاده هر یک از این داروها به‌صورت جداگانه شده است (۱۲۰). داده‌های این مطالعات نشان می‌دهند که

¹³⁸ Ehrlich carcinoma Cell

و روبان TxIB، برای $\alpha 6\beta 2^*$ nAChRs غیرفعال هستند (۱۴۱).



شکل ۸) ساختار سه‌بعدی α -کونوتوکسین TxIB با جرم ۴۴۴۵ دالتون و توالی آن با طول ۴۱ (منبع: UniProtKB-K4RNX9 CA1B_CONTE).

Fig 8) The three-dimensional structure of α -conotoxin TxIB with MW: 4445 Da, and its sequence with length: 41 (Source: UniProtKB-K4RNX9 CA1B_CONTE).

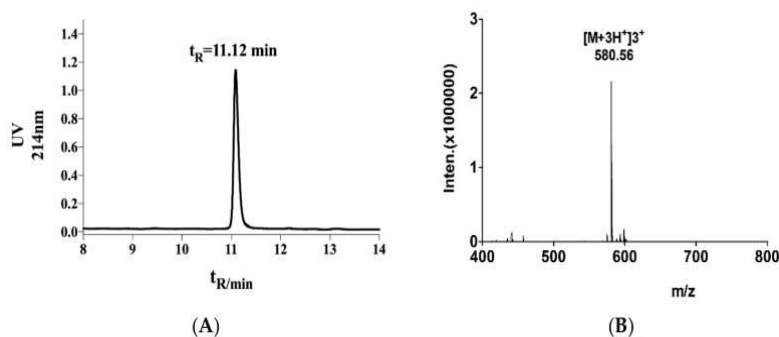
در مطالعه یو (You) و همکاران، با استفاده از روش‌های کروماتوگرافی و طیف‌سنجی α -کونوتوکسین TxIB را جداسازی و سپس شناسایی گردید (شکل ۹) (۱۴۲).

α -کونوتوکسین RegIIA

α -کونوتوکسین RegIIA قوی‌ترین آنتاگونیست $\alpha 3\beta 4$ nAChR انسانی شناخته شده است (شکل ۱۰)؛ این کونوتوکسین، با انتخابگری ضعیف‌تر در برابر زیرگروه‌های $\alpha 3\beta 2$ و $\alpha 7$ نیز فعال است (۱۴۳). در مطالعه محاسباتی کینگلیانگ (Qingliang) و همکاران نیز اثر مهارکنندگی انتخابی گیرنده نیکوتینیک $\alpha 3\beta 2$ توسط RegIIA تأیید گردید (۱۴۴).

استیل‌کولینی نیکوتینیک ($\alpha 6/\alpha 3\beta 2\beta 3$ ($\alpha 6\beta 2^*$)) در ناحیه نورون‌های دوپامینی مغز میانی (DA)^{۱۳۹}، در سیستم عصبی مرکزی بسیار بیان می‌شوند که رهاسازی دوپامین را تنظیم می‌کنند و اهداف مهمی هستند که با برخی اختلالات عصبی روانپزشکی از جمله بیماری پارکینسون و اعتیاد به نیکوتین در ارتباط هستند (۱۳۷-۱۳۹).

بر اساس مطالعه لی (Li) و همکاران، مهار اختصاصی گیرنده‌های استیل کولین ($\alpha 6/\alpha 3\beta 2\beta 3$ nAChRs) توسط α -کونوتوکسین TxIB می‌تواند یک پروب بالقوه برای مطالعه اعتیاد و سایر بیماری‌های مربوط به گیرنده‌های استیل کولین $\alpha 6/\alpha 3\beta 2\beta 3$ باشد. با این حال، TxIB به‌عنوان یک پپتید، ممکن است از پایداری پایین، نیمه عمر کوتاه و فراهمی زیستی ضعیف رنج برد. در مطالعه آن‌ها، یک استراتژی چرخش برای بهبود ثبات TxIB در سرم انسان و حفظ فعالیت بیولوژیکی آن برای $\alpha 6\beta 2^*$ nAChRs موش انتخاب شد. بنابراین، چهار آنالوگ TxIB با چهار تا هفت باقیمانده در منطقه پیوند دهنده بر اساس فاصله بین انتهای N- و C توکسین TxIB دوباره طراحی شدند. بر اساس نتایج آن‌ها، چرخش N- و C- ترمینال، یک استراتژی مؤثر برای افزایش ثبات متابولیکی کونوپپتیدها است. بنابراین، TxIB کروی می‌تواند به‌عنوان یک پروب برای مطالعه عملکرد و ساختار $\alpha 6\beta 2^*$ nAChRs و همچنین اختلالات عصبی نظیر اعتیاد به نیکوتین و بیماری پارکینسون توسعه یابد (۱۴۰). با این حال، بر اساس مطالعه ژانگسون (Zhangsun)، فرم‌های مهره‌ای



شکل ۹) کروماتوگرام HPLC (A)؛ و طیف‌سنجی جرمی α -کونوتوکسین TxIB (B). میزان TxIB شناسایی شده با HPLC ناچیز و زمان بازداری (t_R) آن حدود ۱۱/۱۲ دقیقه بود. آنالیز HPLC توسط یک ستون ویداک C_{18} تجزیه‌ای (5 μ m, 4.6 mm \times 250 mm) انجام گردید. جداسازی با استفاده از یک گرادیان ۱۰ تا ۳۰ درصد حلال B تا ۳۰ دقیقه انجام گرفت (حلال A: تری‌فلورو استیک‌اسید (TFA) ۰/۱ درصد در H_2O و حلال B: تری‌فلورو استیک‌اسید ۰/۰۵ درصد در ۹۰ درصد ACN بود. جرم محاسبه‌شده TxIB توسط آنالیز MS برابر ۱۷۳۸/۶۸ دالتون بود (۱۴۲).

Fig 9) The HPLC chromatogram (A); and mass spectroscopy of α -conotoxin TxIB (B). The amount of TxIB detected by HPLC was insignificant, and its retention time (t_R) was about 11.12 min. The HPLC analysis was performed by a Vydac C_{18} column (5 μ m, 4.6 mm \times 250 mm). Purification was performed using a gradient of 10- 30% solvent B for up to 30 min (solvent A: 0.1% trifluoroacetic acid (TFA) in H_2O , and solvent B: 0.05% TFA in ACN 90%). The calculated mass of TxIB by MS analysis was 1738.68 Da (142).



شکل ۱۰) ساختار سه‌بعدی (۱۴۴) و توالی مربوط به α -کونوتوکسین RegIIA (منبع: UniProtKB - P85013 (CA12A_CONRE)).
Fig 10) 3-D structure (144), and sequence of the α -conotoxin RegIIA (Source: (CA12A_CONRE(UniProtKB - P85013)).

طریق مکانیسم واسطه گیرنده $GABA_B$ مهار می‌کنند (۱۴۵ و ۱۴۶).

اثرات ضد توموری مهارکننده‌های COX و LOX در جانوران آزمایشگاهی و مطالعات بالینی نشان داده شده‌اند (۱۴۷). در مطالعه اوسپیو و همکاران، مهار دو مسیر ترکیبی منجر به اثر ضد توموری برجسته‌تری گردید. آن‌ها

α -کونوتوکسین RgIA

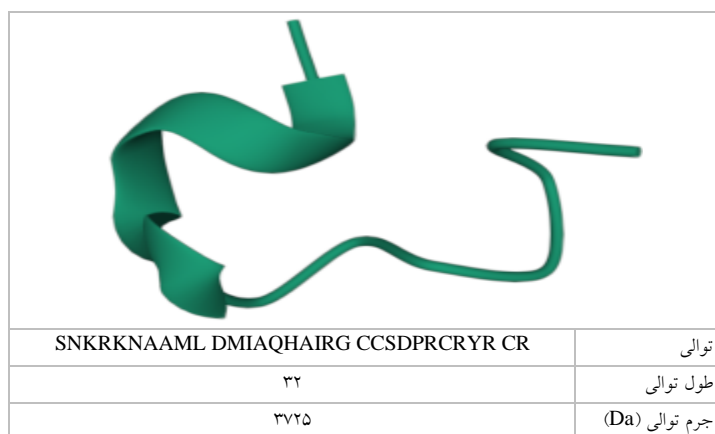
α -کونوتوکسین RgIA (شکل ۱۱) از جمله α -کونوتوکسین‌های دارای فعالیت ضد درد قوی هستند. این مسدود کننده‌های انتخابی $\alpha_9\alpha_{10}$ nAChRs، قویاً کانال‌های کلسیمی فعال‌شده با ولتاژ بالا (HVA) را از

عدم توانایی آنزیم‌ها برای دسترسی به انتهای N و C آن‌ها به‌طور گسترده‌ای برای افزایش توانایی پپتید در مقاومت در برابر تخریب آنزیمی به کار گرفته شده است (۱۴۸). از جمله کونوتوکسین‌های با موفقیت چرخش یافته، RgIA است که پایداری آن تا درجات مختلف بهبود یافت (۱۴۹).

آنالوگ‌های کونوتوکسین دیگر α -RgIA^{۱۴۳}، نیز توجه قابل ملاحظه‌ای را برای پتانسیل خود به عنوان مولکول‌های ضد درد جلب نموده‌اند (۱۵۰). یک آنالوگ اخیر RgIA به نام RgIA4، یک قدرت زیر نانومولار و انتخابگری بالا را بر α 9 α 10 nAChRs انسانی و موش‌های سوری و صحرایی نشان داده‌است و محافظت در برابر آلودینیای سرماخوردگی ناشی از اگزالیپلاتین (۱۵۱) و نیز جلوگیری از دردهای نوروپاتی ناشی از شیمی درمانی در موش‌های سوری و صحرایی موجب شده‌است (۱۵۲).

نشان دادند که بایکالین^{۱۴۱} (مهارکننده انتخابی ۱۲- لیپوکسیژناز)، نوردی‌هیدروگواآیریتیک اسید^{۱۴۲} (مهار کننده غیرانتخابی لیپوکسیژناز) و ایندومتاسین (مهارکننده غیرانتخابی سیکلواکسیژناز) برای سلول‌های کارسینوما اریش در شرایط *in vitro*، سیتوتوکسیک هستند (۱۲۰). بر اساس مطالعه آن‌ها، α -کونوتوکسین RgIA از حلزون دریایی در شرایط آزمایشگاهی، مهارکننده nAChR زیر گروه α 9 α 10، اثرات سیتوتوکسیک نوردی‌هیدروگواآیریتیک اسید و بایکالین را افزایش می‌دهد و موجب افزایش فعالیت ۱/۴ برابری ضدتومری بایکالین پس از ۲۴ ساعت و ۱/۸-۳/۹ برابری نوردی‌هیدروگواآیریتیک اسید پس از ۴۸ ساعت از زمان کشت سلول می‌گردند. در مطالعه آن‌ها اثرات هم‌افزایی فعالیت‌های ضدتومری α -کونوتوکسین RgIA و مهار کننده‌های اکسیژناز COX و LOX سرکوب رشد EAC مشخص گردید (۱۲۰).

در میان استراتژی‌های مختلف بهبود عملکرد α -کونوتوکسین‌ها، روش چرخش سر به دم به دلیل



شکل (۱۱) ساختار سه‌بعدی و توالی مربوط به α -کونوتوکسین RgIA (منبع (UniProtKB - P0C1D0 (CA1A_CONRE).

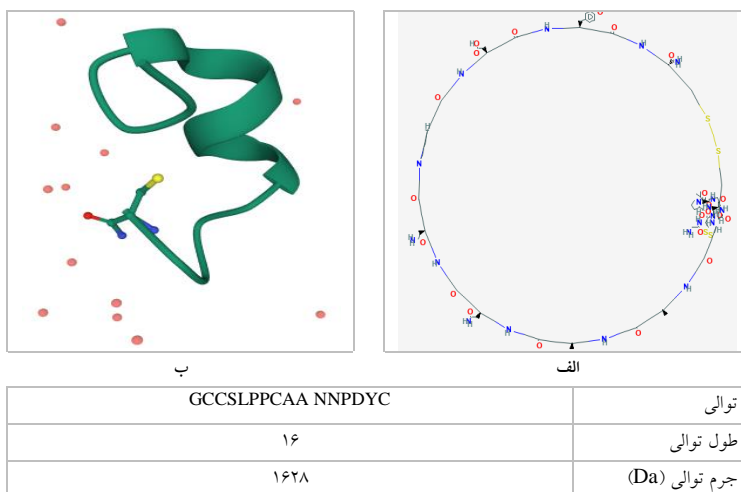
Fig 11) Three-dimensional structure and sequence of α -conotoxin RgIA (source: UniProtKB - P0C1D0).

¹⁴³ Conotoxin α -RgIA

¹⁴¹ Baicalein

¹⁴² Nordihydroguaiaretic acid

(۱۳۳). همچنین نشان داده شده است که اثرات ضدتوموری بایکالین با استفاده ترکیبی از بایکالین و α -کونوتوکسین PnIA افزایش می‌یابد و ترکیب α -کونوتوکسین‌ها و مهار کننده‌های اکسیژناز و آبشار آراشیدونیک اسید در سرکوب رشد EAC اثرات سینرژیسیم ایجاد می‌نماید (شکل ۱۲) (۱۲۰).



شکل ۱۲) ساختارهای دو بعدی (منبع: پابکم) (الف)؛ و سه بعدی (ب) α -کونوتوکسین PnIA (منبع: UniProtKB - P50984/CA1A_CONPE).

Fig 12) Two-dimensional structures (Source: Pubchem) (a); and three-dimensional (b) α -conotoxin PnIA (Source: CA1A_CONPE(UniProtKB - P50984)).

ولتاژ بالا (HVA) را از طریق مکانیسم واسطه گیرنده GABAB مهار می‌کند (۱۴۵ و ۱۴۶). با تلاش‌های فراوان، α -کونوتوکسین Vc1.1، وارد کارآزمایی بالینی شد، اما به دلایل مختلف، روند پیشرفت آن متوقف گردید (۱۵۵ و ۱۵۶).

زیست داروها، از جمله پروتئین‌ها و پپتیدها، به دلیل ویژگی، قدرت و فعالیت بالا و سمیت کمتر در مقایسه با دیگر مولکول‌های کوچک، مورد توجه زیادی قرار گرفته‌اند (۱۵۷). با این حال، بیشتر پپتیدها، در نتیجه فراهمی زیستی پایین، جذب و نیمه عمر کوتاه در گردش خون، به راحتی توسط پروتئازها در داخل بدن تخریب می‌شوند (۱۵۸).

α -کونوتوکسین MrIC

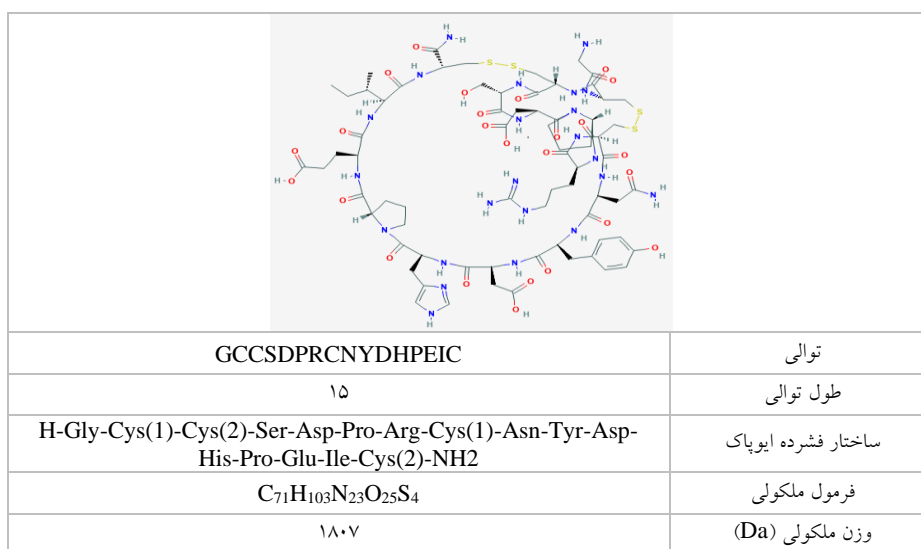
α -کونوتوکسین MrIC که توسط ترانسکریپتوم کونوس مرمئوس شناسایی شده است با وجود پیوند دی‌سولفیدی، یک آگونیست نسبی در $\alpha 7$ nAChR در حضور تعدیل کننده‌های آلوستریک مثبت nAChR نوع II، از جمله PNU12059، TQS و SB-206553 می‌باشد (۱۵۴).

α -کونوتوکسین Vc1.1

α -کونوتوکسین $^{133}\text{Vc1.1}$ ، پتانسیل چشمگیری را به‌عنوان یک مولکول ضد درد دارا است (۱۵۰). این α -کونوتوکسین، قویا کانال‌های کلسیمی فعال‌شونده با

حلقوی، مهندسی شده با هدف قرار دادن کانال‌های کلسیمی HVA، بیش از ۸۰۰۰ مرتبه انتخابگری بیشتری برای گیرنده GABAB، در مقایسه با سایر مهارکننده‌های $\alpha 9\alpha 10$ nAChRs دارا است و به‌عنوان یک ضد درد قوی، در یک مدل موشی مزمن مطرح است (۱۶۱).
 α -کونوتوکسین Vc1.1 حلقوی (شکل ۱۳)، در یک مدل درد نوروپاتیک در مطالعه کلارک و همکاران نیز از طریق تجویز خوراکی، فعالیت ضد درد داشته است (۱۶۲).

بنابراین، بهبود فراهم‌آوری زیستی، پایداری و جذب داروهای پپتیدی، با اصلاحات شیمیایی نظیر چرخش، مهندسی پیوند دی سولفیدی، جایگزینی‌های باقیمانده، استیلاسیون N ترمینال، گلیکوزیلاسیون و پلی‌اتیلن‌گلیکولاسیون^{۱۴۵} بسیار حائز اهمیت هستند (۱۴۰ و ۱۵۹).
 α -کونوتوکسین Vc1.1 نیز از جمله کونوتوکسین‌هایی بود که برای بهبود پایداری آن با موفقیت چرخانده شد (۱۴۹ و ۱۶۰).
 α -کونوتوکسین Vc1.1



شکل ۱۳) ساختار سه‌بعدی، توالی و برخی خصوصیات مربوط به α -کونوتوکسین Vc1.1 (منبع: پابکم).

Fig 13) Three-dimensional structure, sequence and some properties related to α -conotoxin Vc1.1 (Source: Pubchem).

و نیز مسدودکننده ضعیف در $\alpha 7$ و $\alpha 3\beta 4$ nAChRs است. این ترکیب در مدل‌های درد حاد عصب سیاتیک و همچنین انقباضات مزمن دارای فعالیت ضد درد قوی است (۱۶۳).

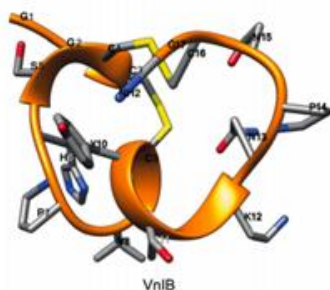
α -کونوتوکسین Eu1.6

بحث متقابل احتمالی بین $\alpha 9\alpha 10$ nAChRs و گیرنده GABAB با واسطه مهار کانال‌های کلسیمی برای ایجاد اثر ضد درد، هنوز وجود دارد. بر اساس مطالعه لیو (Liu) و همکاران، α -کونوتوکسین Eu1.6 یکی از α -کونوتوکسین‌های غیرمعمول جدید است که از زهر کونوس ابورنثوس^{۱۴۶} کشف شده است (شکل ۱۴). این α -کونوتوکسین، یک منع‌کننده قوی Cav2.2 نوع-N

¹⁴⁵ PEGylation

¹⁴⁶ *Conus eburneus*

است (شکل ۱۵) که به‌طور قاطع و انتخابی $\alpha 6\beta 4$ nAChR عصبی را آنتاگونیست می‌کند (۱۶۴).

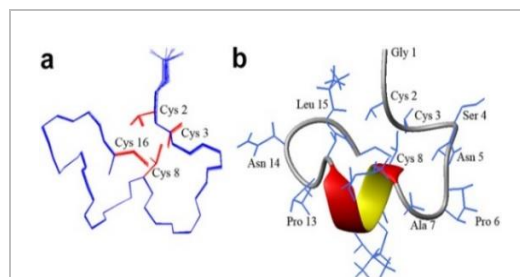


شکل ۱۵) ساختار روبانی α -کونوتوکسین VnIB (۱۶۴)
Fig 15) Ribbon structure of α -conotoxin VnIB (164).

در جدول (۲) برخی خصوصیات عملکردی α -Ctx VnIB در زیرگونه‌های مختلف nAChR آورده شده است.

جدول ۲) میزان اثرات مهاری (IC_{50}) α -کونوتوکسین VnIB بر زیرنوع‌های مختلف nAChR (۱۶۴)			
IC_{50} (nM)	گیرنده nAChR	IC_{50} (nM)	گیرنده nAChR
>۱۰۰۰۰	ra4 β 2	۱۲	ra6 β 4
>۱۰۰۰۰	ra4 β 4	۱۸	ra6/ α 3 β 4
>۱۰۰۰۰	ra7	۳۲۰	ra3 β 4
>۱۰۰۰۰	ra9 α 10	۴۰۰۰	ra6/ α 3 β 2 β 3
۵۳	ha6/ α 3 β 4	>۱۰۰۰۰	ha1 β 1 $\delta\epsilon$
>۱۰۰۰۰	ha3 β 4	>۱۰۰۰۰	ra2 β 2
>۱۰۰۰۰	ha6/ α 3 β 2 β 3	>۱۰۰۰۰	ra2 β 4
>۱۰۰۰۰	ha4 β 2	>۱۰۰۰۰	ra3 β 2

برخی بالا خانواده‌های غیر A از α -کونوتوکسین‌ها α -کونوتوکسین‌های ابرخانواده A، از رایج‌ترین تعدیل‌کننده‌های nAChR هستند که در زهر حلزون‌های مخروطی یافت می‌شوند. سایر کونوتوکسین‌هایی که گیرنده‌های nAChR را هدف قرار می‌دهند در هشت بالاخانواده (D.B, J, L, M, O1, S و T) توزیع می‌شوند (۱۰۳).



الف

Eu1.6 GCCSNPACMLKPNLNC-NH₂

ب

شکل ۱۴) ساختار NMR محلول Eu1.6. (الف): زنجیره‌های جانبی بقایای Cys با رنگ قرمز نشان داده شده است (a); نمایش روبانی نزدیکترین ساختار ترکیب (b); (ب): ساختار توالی اولیه Eu1.6 (۱۶۳).

Fig 14) the NMR structure of Eu1.6 solution. (A): The side chains of Cys residues are shown in red (a); the ribbon illustration of the adjacent composition structure (b); (B): Primary sequence structure of Eu1.6 (163).

α -کونوتوکسین VnIB

بیشتر α -کونوتوکسین‌های کشف شده در چند سال اخیر در گروه آنتاگونیست‌های کلاسیک nAChR قرار می‌گیرند؛ اگرچه نشان داده شده است بسیاری از α -کونوتوکسین‌ها به‌طور انتخابی روی زیرواحدهای مختلف nAChR عمل می‌کنند. α -VnIB کشف شده از کونوس و نتریکسوس^{۱۴۷}، اولین α -کونوتوکسین اصلی است (شکل ۱۵) که به‌طور قاطع و انتخابی nAChR $\alpha 6\beta 4$ عصبی را آنتاگونیست می‌کند (۱۶۴).

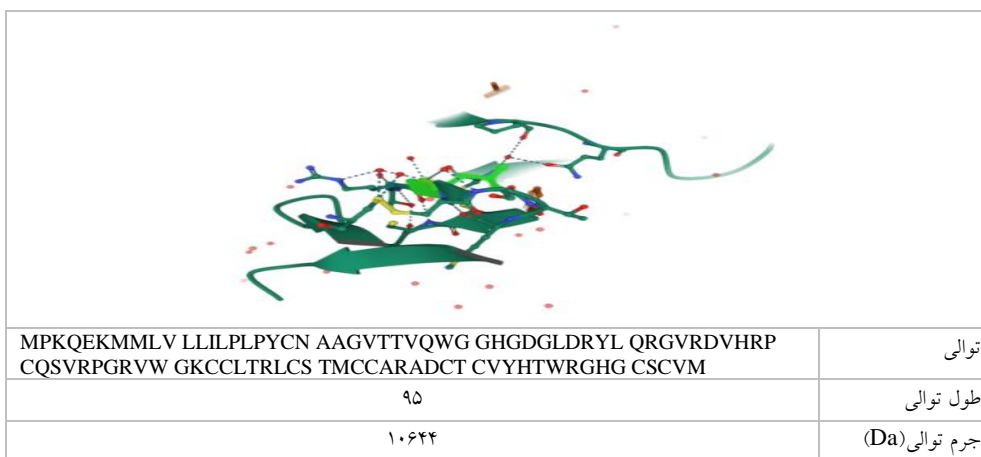
α -کونوتوکسین VnIB

بیشتر α -کونوتوکسین‌های کشف شده در چند سال اخیر در گروه آنتاگونیست‌های کلاسیک nAChR قرار می‌گیرند؛ اگرچه نشان داده شده است بسیاری از α -کونوتوکسین‌ها به‌طور انتخابی روی زیرواحدهای مختلف nAChR عمل می‌کنند. α -VnIB کشف شده از کونوس و نتریکسوس، اولین α -کونوتوکسین اصلی

¹⁴⁷ *Conus ventricosus*

مکانیسم مهاری جدید، متمایز از سایر لیگاند‌های آلوستریک nAChRs نشان می‌دهد. فعالیت بازدارندگی CTD (دوماین C-ترمینال) و NTD توکسین α D-GeXXA بر روی nAChR $\alpha 9\alpha 10$ مشابه است. این مکانیسم آنتاگونیستی جدید α D-GeXXA، از طریق یک سایت اتصال جدید در nAChRs راهی نو را برای طراحی ترکیبات جدید هدف قرار دهنده nAChR فراهم می‌نماید (۱۶۵). مطالعه پراشانه (Prashanth)، در مورد استراتژی‌های دفاعی حلزون‌های مخروطی شکارگر کرم نشان داد که α D-کونوتوکسین‌ها، تقریباً به‌طور انحصاری، در طی گزش دفاعی توسط کونوس وکسیلوم^{۱۴۸} تزریق می‌شوند (۱۰۲).

در میان سایر α -کونوتوکسین‌های بالاخانواده غیر از A، ترکیب α D-کونوتوکسین‌های مهارکننده nAChR در بالا خانواده D، به نسبت، بیشتر مشخص شده‌اند. مولکول‌های نسبتاً بزرگ α D-کونوتوکسین‌ها، به‌عنوان دیم‌های همومری با اتصال کووالانسی وجود دارند (۱۰۳). پیشنهاد شده است که α D-GeXXA به‌طور مشترک به دو رابط بین زیر واحد در بالای سطح nAChR پیوند و در نتیجه، موجب مزاحمت در باز شدن گیرنده می‌شود (شکل ۱۶). دوماین N-ترمینال دیمریک داخلی (NTD)، از α D-GeXXA، ترجیحاً به زیر واحدهای بتای nAChR متصل می‌شود و بخش NTD از α D-GeXXA به‌عنوان مهارکننده nAChR "پوشاننده" عمل می‌کند و یک



شکل ۱۶) ساختار سه‌بعدی و توالی مربوط به α -کونوتوکسین α D-GeXXA (منبع: (CDKA_CONGR) (UniProtKB - A0A0A0VBX4).

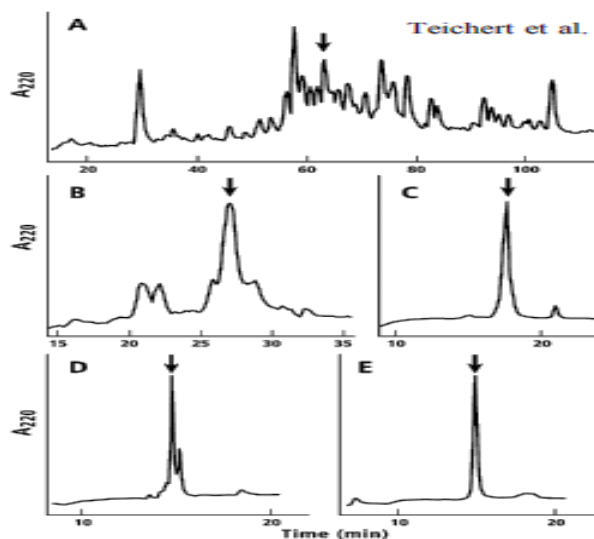
Fig 16) Three-dimensional structure and sequence of α -conotoxin α D-GeXXA (Source: (CDKA_CONGR) (UniProtKB - A0A0A0VBX4).

انحصاری رقابتی $\alpha 9\alpha 10$ است که به جایگاه پیوند ارتوستریک در رابط زیر واحدهای $\alpha 9 / \alpha 10$ متصل می‌شود (۱۶۶). در جدول (۳)، برخی خصوصیات توالی و جرمی α S-کونوتوکسین RVIIIA بر اساس داده‌های یونپیرات و جرم ملکولی (Da) آن آورده شده است (۸۹).

α S-کونوتوکسین‌های^{۱۴۹} بالاخانواده S، با پنج پیوند دی‌سولفیدی یکی از زیرکلاس‌های غیرمعمول مهارکننده‌های nAChR هستند. تا به امروز، فقط دو پپتید از این زیر کلاس از حلزون‌های مخروطی ماهی شکار، یعنی α S-RVIIIA از کونوس رادیاتس (۸۹) و α S-GVIIIB از کونوس ژئوگرافوس شناسایی شده‌اند (۱۶۶). کونوتوکسین α SGVII، یک مهارکننده

جدول ۳) برخی خصوصیات توالی و جرمی (منبع: UniProtKB - P0C1W3 (CSA8A_CONRA))	
عنوان	یافته‌ها
توالی	MMSKMGAMFV LLLFLASS QEGDVQARK THPKREFQRI LLRSGRKCNF DKCKGTGVYN CGESCSCEGL HSCRCTYNIG SMKSGCACIC TYY
طول توالی	۹۳
جرم توالی (Da)*	۱۰۳۸۳
جرم ملکولی (Da)**	۵۱۶۸/۹۹
* بر اساس میزان قید شده در یونیپروت؛ ** بر اساس MALDI (۸۹).	

در مطالعه تیچرت (Teichert) و همکاران،
خالص‌سازی RVIIIا توسط HPLC فاز معکوس طی
چند مرحله انجام گرفت (شکل ۱۷) (۸۹).

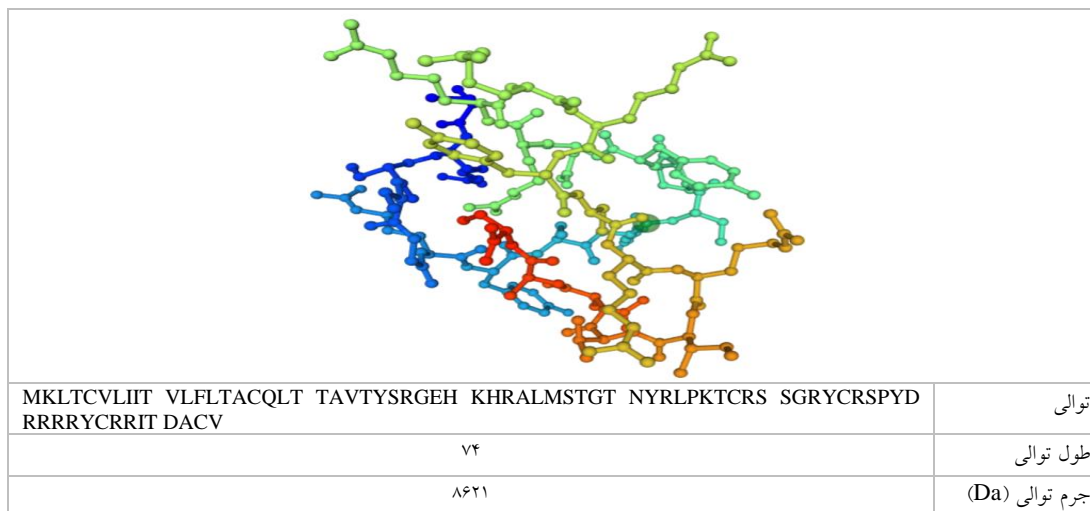


شکل ۱۷) خالص‌سازی S-RVIIIا توسط HPLC فاز معکوس. (A): فراقشناسیون عصاره زهر خام با استفاده از یک ستون نیمه‌تهپه‌ای C18 با یک گرادیان صفر تا ۶۰ درصد حلال B90 (۰/۰۸۵ درصد TFA در ۹۰ درصد استونیتریل) برای ۱۲۰ دقیقه با فلوی ۵ میلی‌لیتر در دقیقه شستشو شد. علامت پیکان فراقشن حاوی RS-RVIIIا را نشان می‌دهد؛ (B): شستشوی مجدد فراقشن مشخص شده با فلش در مرحله A، با استفاده از ستون تجزیه‌ای C18 در ۲۰-۳۵ درصد حلال B90 بیش از ۴۵ دقیقه با فلوی ۱ میلی‌لیتر در دقیقه؛ (C): شستشوی فراقشن زیست‌فعال - مشخص با پیکان در B - با گرادیان ۲۰-۵۰ درصد حلال B90 بیش از ۳۰ دقیقه با فلوی ۱ میلی‌لیتر در دقیقه؛ (D): خالص‌سازی بیشتر فراقشن - با یک پیکان در قسمت C نشان داده شده است - با یک گرادیان ۲۰-۶۰ درصد حلال B90 بیش از ۲۰ دقیقه با فلوی ۱ میلی‌لیتر در دقیقه؛ (E): اجرای مجدد فراقشن قسمت D با استفاده از همان فلو و گرادیان (۸۹).

Fig 17) Purification of S-RVIIIa by reverse- phase HPLC. (A): Fractionation of crude venom extract was washed using a semi-preparative C18 column with a gradient of 0 to 60% B90 solvent (0.085% TFA in 90% ACN) for 120 minutes at a flow rate of 5 ml/min. The arrow symbol indicates the fraction containing RS-RVIIIa; (B): reWashing the indicated fraction with a flash in step A, using a C18 analytical column in 20-35% B90 solvent for more than 45 minutes with a flow rate of 1 ml/min; (C): Wash the bioactive fraction - marked with an arrow in B - with a gradient of 20-50% B90 over 30 minutes with a flow of 1 ml/min; (D): Further fraction purification - indicated by an arrow in section C - with a gradient of 20-60% B90, over 20 minutes at a flow rate of 1 ml/min; (E): Re-perform the fraction of part D using the same flow and gradient (89).

دلیل تراکم بالای بقایای آرژینین، با ۹ باقی مانده آرژینین در ۲۸ اسید آمینه پپتید، کاملاً از سایر اعضای بالاخانواده O1 متمایز است.

یک مهار کننده انتخابی جالب آلوستریک زیر نوع $\alpha 9\alpha 10$ nAChR، یعنی GeXIVA که به بالاخانواده O1 تعلق دارد از کونوس ژنرالیز جدا شد (شکل ۱۸) (۱۶۷). ترکیب بالغ این کونوتوکسین، به



شکل ۱۸) ساختار سه بعدی و توالی مربوط به α -کونوتوکسین α D-GeXIVA (منبع: (UniProtKB - J7GY56 (CO1EA_CONGR).

Fig 18) Three-dimensional structure and sequence of α -conotoxin α D-GeXIVA (Source: (CO1EA_CONGR) Uni-ProtKB - J7GY56).

خصوصیات توالی و جرمی α S- کونوتوکسین VxXXIVA بر اساس داده‌های یونیپروت آورده شده است.

پپتید α -VxXXIVA از بالا خانواده B که گیرنده $\alpha 9\alpha 10$ nAChR را با تمایل زیر میکرومولار مهار می‌کند، از طریق جستجوی کتابخانه cDNA کونوس وکسیلیوم^{۱۵۰} یافت گردید (۱۰۹). در جدول (۴)، برخی

جدول ۴) برخی خصوصیات توالی و جرمی α -کونوتوکسین VxXXIVA (منبع: (UniProtKB - J7JU64(CBOA_CONVX)	
عنوان	یافته‌ها
توالی	METLTLWRA SSSCLLVVLS HLLRLLGVR CLEKSGAQPN KLFPPCCQK GPSFARHSRC VYYTQSRE
طول توالی	۶۸
جرم توالی (Da)*	۷۷۲۴
* بر اساس میزان قید شده در یونیپروت	

KTM با استفاده از ویژگی‌های فارماکولوژیک α -CTx MII الهام گرفته شد و پیش بینی می‌شد که همان اتصال دی‌سولفیدی کروی را نیز اتخاذ نماید

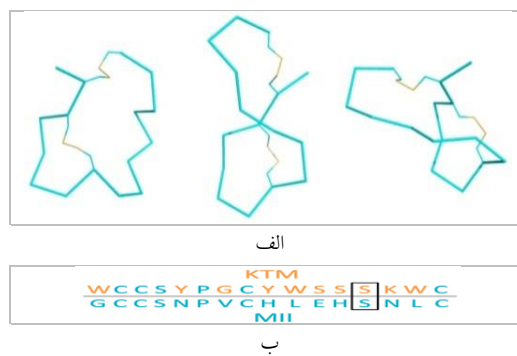
α -کونوتوکسین صناعی KTM یک پپتید ۱۶ اسید آمینه با توالی WCCSYPGCYWSSSKWC است. طراحی

مطالعه مارکوارت (Marquart) و همکاران، به دنبال تأیید صحت و سودمندی برای طراحی منطقی یک آنتاگونیست انتخابی ایزوفرم خاص nAChR بر اساس داروی دریایی α -CTx MII است (۱۱۵).

σ-کونوتوکسین‌ها

σ-کونوتوکسین‌ها، گروهی از مهارکننده‌های کانال‌های یونی بسته به لیگاند هستند. چهارچوب VIII با مجموع ۱۸ ورودی در کونوسورور مورد توجه فارماکولوژیکی قرار گرفته است. بر اساس مطالعه انگلند (England) و همکاران، کونوتوکسین σ-GVIII که اولین عضو کشف شده از این چهارچوب است از ونوم کونوس ژئوگرافوس خالص‌سازی شده است (۸۸). این σ-کونوتوکسین، گیرنده ۵-هیدروکسی تریپتامین یا سروتونین (5-HT₃)، را که یک کانال یونی دریچه‌دار تحریک کننده سروتونین می‌باشد مسدود می‌کند. σ-GVIII دارای یک تریپتوفان برومینه و یک مشتق هیدروکسیله تریپتوفان است (جدول ۵) (۸۸ و ۸۹).

(شکل ۱۹). فعالیت KTM در nAChRs به روش کیفی با استفاده از روش لومینسانس PC12 مبتنی بر سلول *in vitro* و از نظر کمی با مهار ایزوفرم‌های nAChR $\alpha 3\beta 2$ با استفاده از الکتروفیزیولوژی گیره ولتاژ دو الکترودی ارزیابی و نشان داده شد که KTM موجب مهار قابل توجه و انتخابی زیرگروه‌های nAChR می‌گردد (۱۱۵). این ارزیابی کیفی فعالیت زیستی، تأیید نمود که KTM احتمالاً با مهار nAChR، میزان دوپامین ترشح شده از سلول‌ها را کاهش می‌دهد (۱۶۸). KTM با یک IC₅₀ برابر ۰/۱۹±۰/۰۲ نانومولار، موجب مهار $\alpha 3\beta 2$ -nAChRs، در مقایسه با میزان ۰/۳۵±۰/۰۸ نانومولار برای α -CTx MII گردید. بنابراین، اثر مشابه KTM در مقایسه با α -CTx MII، از این فرضیه پشتیبانی می‌کند که پپتید صنعتی، یک آنتاگونیست مؤثر $\alpha 3\beta 2$ -nAChR می‌باشد. KTM مهار قوی $\alpha 3\beta 2$ -nAChRs موش صحرائی معادل با α -CTx MII را نشان می‌دهد. توالی α -CTx MII و KTM هر دو حاوی ۱۶ اسید آمینه هستند (۱۱۵).



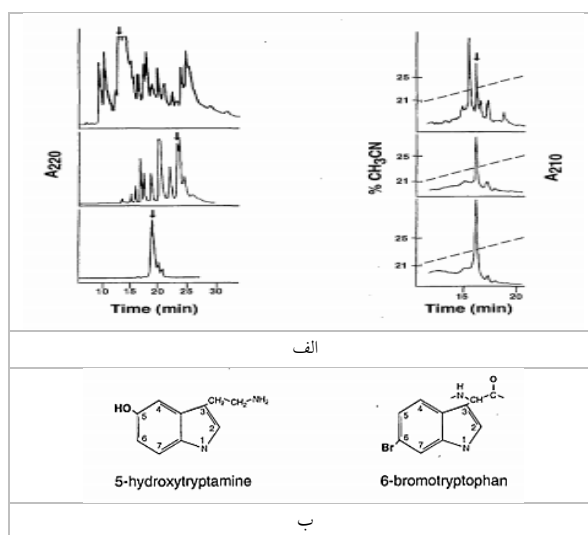
شکل ۱۹) ساختارهای رویانی KTM (از چپ به راست) در زمان‌های صفر، ۲۵ و ۵۰ نانوثانیه در شبیه‌سازی دینامیک مولکولی^{۱۵۱} (الف)؛ توالی KTM و مقایسه آن با توالی α -CTx MII (ب).

Fig 19) The ribbon structures of KTM (left to right), at zero, 25, and 50 nanoseconds in molecular dynamics simulation (A); sequence of the KTM and its comparison with α -CTx MII sequence (B).

جدول ۵) برخی خصوصیات توالی و جرمی σ -کونوتوکسین GVIII A- (منبع: (UniProtKB - P58924((CS8A_CONGE))	
عنوان	یافته‌ها
توالی	MMSKMGAMFV LLLFLASS LQEGDVQARK TRLKSDFYRA LARDDRGTCT TCGGPKCTGT CTCTNSSKCG CRYNVHPSGW GCGCACSG
طول توالی	۸۸
جرم توالی (Da)*	۹۴۳۰
جرم ملکولی (Da)**	۴۱۸۷/۶
* بر اساس میزان قید شده در یونیپروت؛ ** بر اساس ESI جرم مونوایزوتوپیک (۸۸).	

طیف‌سنجی جرمی قرار گرفت. σ -GVIII A دارای یک تریپتوفان برومینه و یک مشتق تریپتوفان هیدروکسیله است (شکل ۲۰) (۸۸).

در مطالعه انگلند و همکاران، خالص‌سازی σ -کونوتوکسین GVIII A- از ونوم کونوس اگرافوس^{۱۵۲} توسط HPLC فاز معکوس انجام گردید و پپتید زیست فعال خالص، تحت توالی شیمیایی و



شکل ۲۰ الف: خالص‌سازی σ -کونوتوکسین GVIII A- از ونوم *C. geographus* در سه مرحله با HPLC فاز معکوس (کروماتوگرام‌های فوقانی، میانی و پایینی) (چپ)؛ پپتید زیست فعال خالص (مشخص شده با فلش، کروماتوگرام پایین)، تحت توالی شیمیایی و طیف‌سنجی جرمی (راست)؛ ب: تریپتوفان برومینه و مشتق هیدروکسیله تریپتوفان در σ -GVIII A (۸۸).

Fig 20) **A:** Purification of σ -conotoxin-GVIII A from *C. geographus* venom in three steps by RP- HPLC (up, middle and Down chromatograms) (left); Pure bioactive peptide (indicated by the arrow, down chromatogram), under chemical sequencing and mass spectrometry (right); **B:** Brominated tryptophan and hydroxylated derivative of tryptophan in σ -GVIII A (88).

ω -کونوتوکسین‌ها، به‌طور گسترده برای تحقیقات بنیادی نورویبولوژی استفاده می‌شوند. یکی از برجسته‌ترین ویژگی‌های این کونوتوکسین‌ها، خواص

ω -کونوتوکسین‌ها^{۱۵۳}

ω -کونوتوکسین‌ها، در بالاخانواده O، از کونوپپتیدهای غنی از دی‌سولفید شناخته شده‌اند (۴۴).

¹⁵² *C. aeographus*
¹⁵³ ω -conotoxins

کلسیمی نوع -N، یک هدف دارویی بالقوه برای دردهای شدید هستند (۶۵ و ۶۶). دسترس پذیری ناچیز کونوتوکسین‌ها از منابع طبیعی خود، آن‌ها را برای کاربردهای تحقیقاتی و پزشکی محدود می‌کند. به‌طور معمول، برای دستیابی به مقادیر بیشتری از این پپتیدها، از دو روش سنتز شیمیایی و تولید نوترکیب در سیستم‌های بیان هترولوگ، استفاده می‌گردد. سنتز شیمیایی از طریق سنتز پپتید فاز جامد^{۱۵۵} (SPPS)، بر روی یک رزین، روش انتخابی تولید مقادیر زیاد کونوتوکسین‌ها می‌باشد (۱۷۲). این روش برای سنتز پپتیدهای تا ۳۰-مریک به‌خوبی عمل می‌کند. از آنجا که شناخته شده‌ترین کونوتوکسین‌ها از حدود ۳۰-۱۰ بقایای اسید آمینه تشکیل شده‌اند SPPS برای تولید آن‌ها کاملاً مناسب است (۱۰). از نمونه‌های کلاسیک برای کونوتوکسین‌های سنتزی توسط SPPS می‌توان از ω -کونوتوکسین GVIA، به‌عنوان مهارکننده‌های کانال کلسیمی نام برد (۱۷۳). در تولید نوترکیب در سیستم‌های بیان، مشکلاتی چون بیان بیش از حد مستقیم پپتیدهای کوچک در *E. coli*، بدلیل تخریب سریع این پپتیدها توسط پروتئازهای سلولی و یا تجمع آن‌ها به صورت توده‌های نامحلول و تشکیل به اصطلاح اجسام انسدادی^{۱۵۶} (۱۷۴) و یا جلوگیری از تشکیل پیوندهای دی سولفیدی به‌سبب کاهنده بودن محیط سیتوپلاسم اشریشیا کلی (۱۷۵)، وجود دارند. بیان پپتیدهای کوچک در همجوشی با پروتئین‌های حامل بزرگ‌تر و خوش‌بیان (۱۷۶)، همچون، پروتئین متصل به مالتوز (۱۷۷)، تیوردوکسین^{۱۵۷} (۱۷۸)، یا گلوکوتایون S- ترانسفراز (۱۷۹)، یا استفاده از سویه‌های میزبان کم‌پروتئاز جهت جلوگیری از تخریب پروتئولیتیک غیراختصاصی (۱۸۰)، از موفقیت‌آمیزترین رویکرد

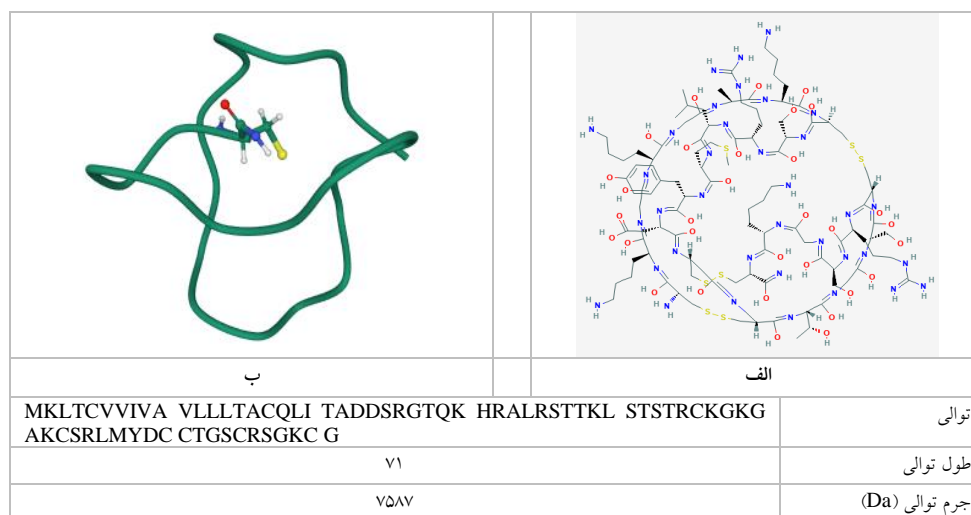
فارماکولوژیکی آن‌ها است. آن‌ها به‌طور انتخابی انواع مختلفی از کانال‌های Ca^{2+} حساس به ولتاژ را مهار می‌کنند (۱۶۹). ω -کونوتوکسین MVII، که یک پپتید خالص‌سازی شده از کونوس مگوس است موجب لرزش در موش‌ها می‌گردد (شکل ۲۱). این اولین ونوم‌پپتید بود که تنها بر اساس توالی پیش‌بینی شده از یک کلون cDNA مشخص شد (۶۸). به دلیل ساختار پایدار، اندازه نسبتاً کوچک و انتخابگری هدف، کونوتوکسین‌ها را می‌توان به‌عنوان پروب‌های ملکولی ایده‌آل برای اعتبارسنجی هدف و کشف داروهای پپتیدی تبدیل نمود. با توجه به اینکه کونوتوکسین‌ها اغلب کانال‌های یونی را هدف قرار می‌دهند؛ بنابراین، مطالعه تعدیل‌کننده‌های درد جدید منطقی بود (۱۷۰). نتیجه این زحمات، داروی مورد تأیید FDA با نام تجاری پریالت^{۱۵۴} بود. این ترکیب، در دسامبر ۲۰۰۴ به‌عنوان دارویی برای دردهای شدید مزمن، مورد تأیید قرار گرفت (۱۷۱). این داروی مورد تأیید FDA، یک فریم‌ورک VI/VII است. ω -کونوتوکسین MVIIA، به‌طور اختصاصی کانال‌های کلسیمی نوع -N ($Ca_v2.2$) و با تمایل کمتر، سایر زیرگروه‌های کانال کلسیمی را مورد هدف قرار می‌دهد (۶۸). از آنجا که کانال‌های کلسیمی نوع -N، در درجه اول در فضای پیش‌سیناپسی واقع شده‌اند، عملکرد ω -کونوتوکسین MVIIA، منجر به مهار انتقال سیناپسی می‌گردد و بنابراین، این پپتید در طی تلقیح زهر به طعمه، در بخش موتوری درگیر است (۶۹). اثر ضددردی ترکیب ω -کونوتوکسین MVIIA، علاوه بر نشان دادن تداخل عملکرد خاص کونوپپتیدها در مسیرهای مختلف پیام‌دهی احساس درد، به درک مکانیسم‌های مولکولی درد نیز کمک می‌نماید و مشخص گردید که کانال‌های

¹⁵⁶ Inclusion Bodies
¹⁵⁷ thioredoxin

¹⁵⁴ Prialt
¹⁵⁵ Solid Phase Peptide Synthesis

گلوکوتیون S-ترانسفراز توسط زیا (Xia) و همکاران (۱۸۱)، ماحصل استفاده از نتایج این تجربیات بود.

تاکنون بوده است. تولید ω -کونوتوکسین MVIIA، نیز به صورت محلول به عنوان یک پروتئین همجوشی با

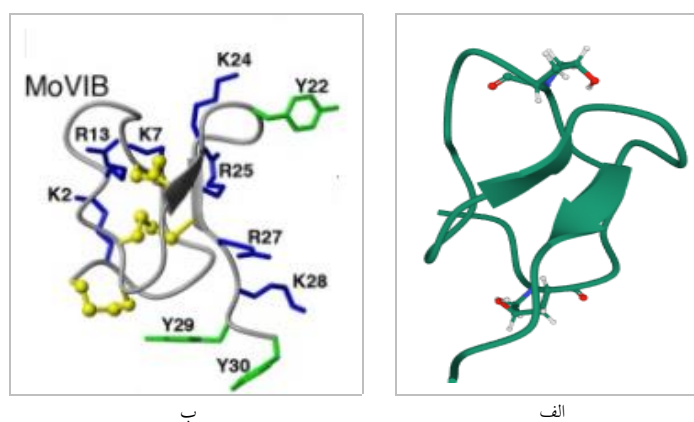


شکل ۲۱) ساختارهای دو بعدی (منبع: پایکم) (الف)؛ و سه بعدی و توالی (ب) ω -کونوتوکسین (Ziconitide, Prialt®) MVIIA. (منبع: UniProtKB- P05484(O17A_CONMA)).

Fig 21) Two-dimensional (Source: Pubchem) (a); three-dimensional structures and sequence (b) of ω -conotoxin MVIIA. (Ziconitide, Prialt®) (Source: (O17A_CONMA) UniProtKB- P05484).

مشخص شده است که آرژینین در موقعیت ۱۳ در ω -MoVIB و ω -MoVIA برای فعالیت حیاتی است؛ گرچه از لحاظ عملکردی، در ω -کونوتوکسین‌های ماهی خوار منقاری، در این موقعیت معمولاً یک تیروزین است (۸۷).

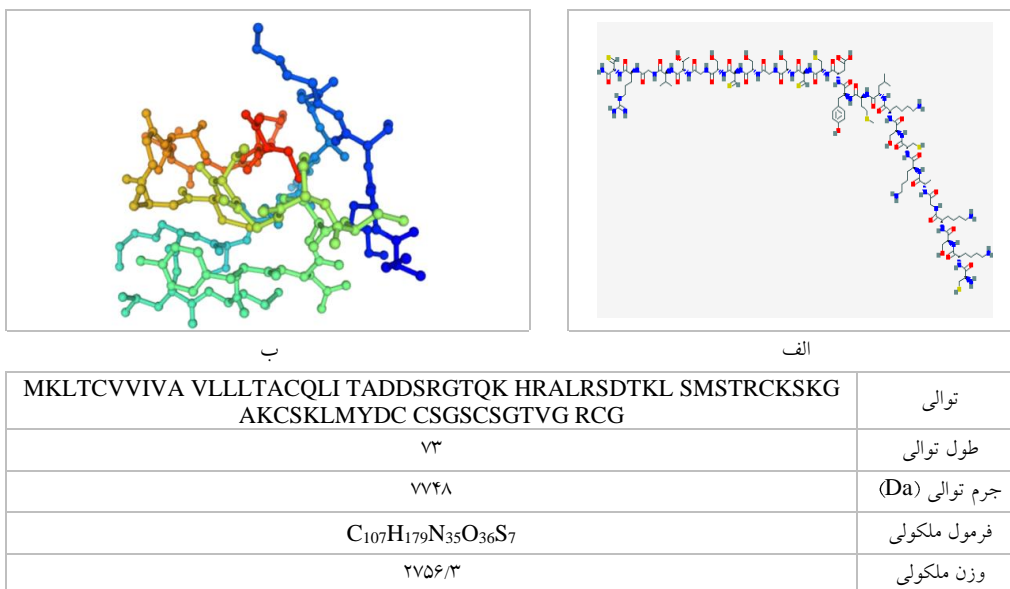
ω -MoVIB و ω -MoVIA از گونه مخروطی کرم خوار کونوس مونکوری^{۱۵۸} جداسازی (شکل ۲۲) و مشخص گردید که آن‌ها به طور قوی، کانال‌های Cav2.2 انسانی را در آزمایش‌های فلوریمتری و Cav2.2 موشی در مطالعات گیره پیچ مهار می‌نمایند (۸۷).



شکل ۲۲) ساختارهای ω -MoVIA (منبع: UniProtKB - A0A384E129(O16A_CONMB) (الف)؛ ω -MoVIB (منبع: ۸۷) (ب).
Fig 22) the structures of ω -MoVIA (source: (O16A_CONMB) UniProtKB - A0A384E129) (a); and ω -MoVIB (source: 87) (b).

گرچه، کونوتوکسین ω -MVIIA (پریالت، الان^{۱۶۰})، مشتق از کونوس مگوس، توسط FDA تأیید شد تا درد مزمن شدید بیمارانی که به درمان با اپیوئیدها پاسخ نمی‌دهند را درمان کند لکن، عوارض جانبی عصبی و روانی، آن را محدود نمود (۱۸۳). بنابراین، کشف به سوی نسل دوم ω -کونوتوکسین‌هایی با اثربخشی بهتر و عوارض جانبی کمتر هدایت شد. بنابراین، با تلاش فراوان، ω -CVID نیز با نام لکونوتاید^{۱۶۱} وارد کارآزمایی بالینی شد (شکل ۲۳)؛ اگرچه CVID مشتق شده از کونوس کاتوس (AM336, AMRAD)، نسبت به ω -MVIIA، انتخابگری بهتری به Cav2.2 و عوارض جانبی کمتری داشت، اما به دلیل عدم علاقه تجاری در توسعه درمان‌های داخل تراشه‌ای، کارآزمایی‌های بالینی پس از فاز I/IIa متوقف شد (۱۸۴ و ۱۸۵).

کانال‌های کلسیمی ولتاژدار (VGCC)، در انتقال، توسعه و نگهداری دردهای مزمن نقش مهمی دارند و بیانگر این است که مهارکننده‌ها یا تعدیل‌کننده‌های VGCC می‌توانند به‌عنوان داروهای مفید برای درمان درد نوروپاتیک توسعه یابند (۱۸۲). بسیاری از ω -کونوتوکسین‌ها، آنتاگونیست‌های انتخابی VGCC نوع N یا P/Q هستند و ترجیحاً درد را در مدل‌های درد التهابی و آلودینیا و یا هایپرآلژزیا^{۱۵۹} در مدل‌های درد نوروپاتیک مسدود می‌کنند. با توسعه داروی پریالت (ω -MVIIA) به بازار عرضه، مسلماً ω -کونوتوکسین‌ها از نظر ارزش درمانی و امکانات کاربردی، موفق‌ترین کلاس کونوتوکسین‌ها محسوب گردیدند. توسعه، تنوع، سنتز، فارماکولوژی، SAR و آنالیز بر هم‌کنش‌های ω -کونوتوکسین‌های VGCC به‌طور جامع بررسی گردید (۱۲۳).



شکل ۲۳) ساختارهای دو بعدی (منبع: پایکم) (الف)؛ و سه‌بعدی و توالی (ب) ω -کونوتوکسین CVID یا لکونوتاید (منبع: (UniProtKB - P58920(O16D_CONCT)).

Fig 23) Two-dimensional (source: Pubchem) (a); and three-dimensionality structures and sequence of (b) ω -conotoxin CVID or Leconotide (Source: (O16D_CONCT) UniProtKB - P58920).

¹⁶¹ Leconotide

¹⁵⁹ Hyperalgesia
¹⁶⁰ Elan

دادند که **RsXXIVA** جریان کانال **Cav2.2** را به روش وابسته به دوز با EC_{50} برابر $2/8$ میکرومولار مهار می‌کند. علاوه بر این، روش‌های صفحه داغ برای تعیین اثر ضد درد بالقوه به یک محرک حرارتی حاد، نشان داد که **RsXXIVA**، یک اثر ضد درد در درد حرارتی حاد و مدل درد فرمالین است. با این حال، تمایل کم برای **CaV2.2**، نشان داد که هدف اصلی این پپتید می‌تواند متفاوت از ω -MVIIA باشد.

پپتید منفرد **RsXXIVA** که دو حلقه از آن بسیار شبیه به توالی اسیدهای آمینه ω -MVIIA است، در سال ۲۰۱۳ از مجرای زهر کونوس رگولاریس جدا شد (جدول ۶) (۱۱۱). این کونوتوکسین حاوی ۴۰ اسید آمینه است و در آن زمان، ترتیب جدیدی از هشت بقایای سیستمین (**CC-C-C-CC-CC**) را به نمایش گذاشته بود. آنالیزهای الکتروفیزولوژیک با استفاده از نرون‌های گانگلیون دهانه رحم قدامی (**SCG**) نشان

جدول ۶) برخی خصوصیات توالی و جرمی ω -کونوتوکسین RsXXIVA (منبع: CXQA_CONRG) (UniProtKB - P0DL31)	
عنوان	یافته‌ها
توالی	CKGQSCSSCS TKEFCLSKGS RLMYDCCTGS CCGVKTAGVT
طول توالی	۴۰
جرم توالی (Da)°	۴۱۲۱
* بر اساس میزان قید شده در یونیپروت.	

ω -کونوتوکسین‌ها، گهگاهی در ونوم‌های شکارچیان کرم و نرم‌تن (**PuIIA**، **PuIA**، **PnVIB**، **PnVIA**، **TxVII**) نیز یافت می‌شوند و خصوصیات توالی این پپتیدها از ω -کونوتوکسین‌های ماهی شکار متفاوت است (۱۸۷).

μ -کونوتوکسین‌ها

با توجه به نقش حیاتی کانال‌های Nav در **CNS** و **PNS**، شاید تعجب‌آور نباشد که حلزون‌های مخروطی چندین روش مختلف برای هدف‌گیری انتخابی این کانال‌ها ایجاد کرده باشند. تا به امروز، پنج کلاس از کونوتوکسین‌ها (μ -، μ O-، δ -، μ O-S- و ι - کونوتوکسین‌ها) شناخته شده‌اند که کانال‌های Nav را هدف قرار می‌دهند. علی‌رغم اینکه آن‌ها بر روی یک هدف مشابه عمل می‌کنند، لکن از نظر ساختاری متمایز هستند و فارماکولوژی‌های مختلفی را در کانال‌های Nav ایجاد می‌نمایند. کونوتوکسین‌های μ ، μ O و

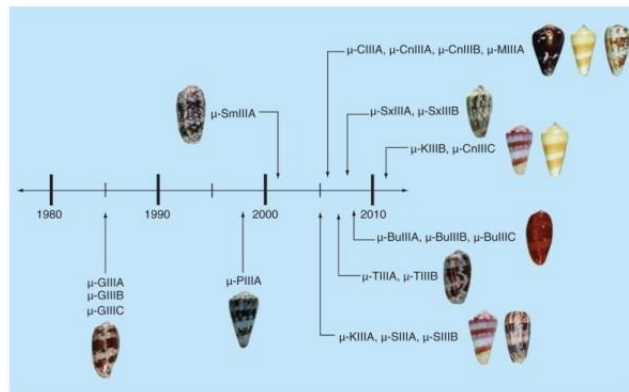
طراحی یک سری هیبریدهای ω -MVIIA/ SO_3^- ، موجبات کاهش سمیت و عوارض جانبی ω -کونوتوکسین‌ها را فراهم نمود (۱۸۶). علی‌رغم پتانسیل درمانی، در سال‌های گذشته، میزان کشف جدید ω -کونوتوکسین‌ها کند شده است. اکثر اکتشافات جدید ω -کونوتوکسین‌ها، نظیر **GVIA**، **CVIA-F**، **MVIIA-D**، **SVIA** و **SVIB** از گونه‌های ماهی شکار، به دست آمده‌اند. بر اساس متون، شکارچیان ماهی متعلق به کلادهای پیونوکونوس^{۱۶۲} و گاستریدیوم^{۱۶۳}، ω -کونوتوکسین‌ها را به عنوان اجزای اصلی زهر خود تولید می‌کنند. در ابتدا، اعتقاد بر این بود که ω -کونوتوکسین‌ها، بخشی از "واحد موتوری" شکارچیان ماهی هستند که اجازه بی‌حرکت نمودن سریع طعمه‌ها را می‌دهند؛ هر چند، مکانیسم‌های شکار و دفاع جداگانه مطالعه دوترتر و همکاران، نشان داد که ω -کونوتوکسین‌ها، یک قسمت اساسی از استراتژی دفاعی در کونوس ژئوگرافوس نیز هستند (۵۱).

163 Gastridium

162 Pionoconus

Nav1.2, Nav1.8 و Nav1.4 عمل می‌کنند مورد بررسی قرار گرفته‌اند (۲۸ و ۱۸۷). μ -کونوتوکسین‌ها، ابزار بسیار ارزنده‌ای برای مطالعه زیرگروه‌های کانال سدیم هستند (شکل ۲۴) (۸۱).

μ O-S بازدارنده‌های کانال Nav و کونوتوکسین‌های δ - و ϵ فعال کننده این کانال‌ها هستند. μ -کونوتوکسین‌ها، به جایگاه ۱ واقع در نزدیکی منفذ هدایت یونی پیوند می‌یابند و منافذ را مسدود می‌کنند. در برخی مطالعات، کونوتوکسین‌های مختلفی که بر روی



شکل ۲۴) برخی μ -کونوتوکسین‌ها، به‌عنوان ابزارهای پپتیدی نوپدید مسدود کننده کانال‌های سدیمی (۴۰).

Fig 24) Some μ -conotoxins, as emerging sodium channel blocker peptide tools (40).

(۸۲). عملکردهای μ و μ O کونوتوکسین‌ها، بر روی کانال Na^+ حساس ولتاژ، به‌طور انتخابی می‌باشند (۱۸۸). (شکل ۲۵)، برخی از ساختارها و برخی خصوصیات توالی و جرمی برخی μ -کونوتوکسین‌ها را نشان می‌دهد.

در طی چند سال گذشته، μ -کونوتوکسین‌های مختلفی از جمله μ -MiO، μ -SmIIIA، μ -SIIIA، μ -GIIIA، μ -PIIIA، μ -SxIIIA، μ -BuIIIB، μ -Vx3-VV01، μ -KIIIA و μ reg3b کشف یا مجدداً بازنگری شده‌اند

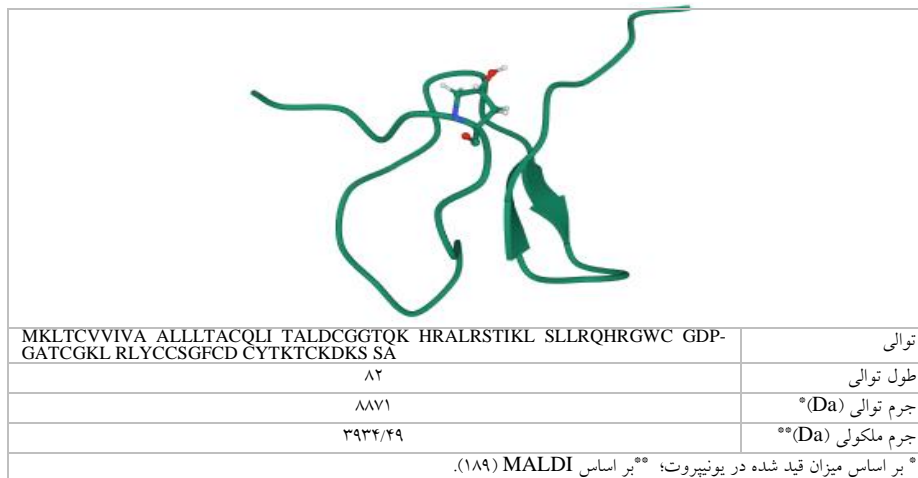
						ساختار	
	RCCTGKK GSC SGRACKN LKC CA	MMSKLGVLLT TICLLLFPLFA LPDGDOPAD RPAERMQDDI SSEQNSLLEK RVT- DRCCGK RECRCWRD HSRCCGRR	MMSKLGVLLTI CLLLFPITAL PMDGDOPADR LAERMQDNIS SEEHPEFKRQ RLCCGFPKSC RSRQCKPHRC CGR	MMSKLGVLLT ICLLLFPLTA LPMDGDOPAN RPVERMQDNI SSEQYPLFEK RRDCCTPPPK CKDRQCKPQR CCAGR	MMSKLGVLLT VCPLLFPPLTA LPDGDOPAD RPAERMQDDI SSDEHPLFDK RQNCNCGGCS SKWCRDHARC CGR	PLFDKRORCC NGRRGCSRW CRDHSRCCGR R	توالی
	۲۲	۷۷	۷۳	۷۵	۷۳	طول توالی	
	۲۲۷۸	۸۸۵۵	۸۳۳۴	۸۵۸۶	۸۱۰۵	جرم توالی (Da)	
	μ -SxIIIA	μ -BuIIIB	μ -PIIIA	μ -GIIIA	μ -SIIIA	μ -SmIIIA	-M کونوتوکسین
	UniProtKB - P0C8V2 (CM3A_CONSR)	UniProtKB - C1J5M5 (CM3A_CONBU)	UniProtKB - P58925 (CM3A_CONPU)	UniProtKB - P01523 (CM3A_CONGE)	UniProtKB - Q86DU6 (CM3A_CONST)	UniProtKB - P60207 (CM3A_CONSE)	منبع

شکل ۲۵) برخی ساختارها، خصوصیات توالی و جرمی μ -کونوتوکسین‌ها (منبع: یونیپروت).

Fig 25) Some structures, sequence and mass properties of some μ -conotoxins (Source: Uniport).

در مطالعه گازویاک (Gajewiak) و همکاران، یک پپتید جالب از این گروه کونوتوکسین‌ها، بنام $\mu\text{O}\S\text{-GVIII}$ از کونوس ژئوگرافوس، کشف گردید که دارای PTM منحصر به فرد، سیستئین S-سیستئینیلاته بوده که امکان

ایجاد یک پیوند کووالانسی پپتید به کانال‌های سدیمی مورد هدف در یک جایگاه پیوند- لیگاند را فراهم می‌نماید (شکل ۲۶) (۱۸۹).



شکل ۲۶) ساختار سه‌بعدی و توالی مربوط به- $\mu\text{O}\S$ کونوتوکسین GVIII (منبع: (UniProtKB - X5IWS1(O17J_CONGE) Fig 26) Three-dimensional structure and sequence of $\mu\text{O}\S$ -conotoxin GVIII (Source: (O17J_CONGE) UniProtKB-X5IWS1).

مطالعه فرانکو (Franco) و همکاران، به‌دست آمده است که در چهارچوب III قرار دارد (۸۴). μC -کونوتوکسین‌ها نیز فراتر از پتانسیل درمانی خود، به‌عنوان مواد آرایشی مورد بررسی قرار گرفته‌اند. $\mu\text{-CnIIIIC}$ که با عنوان XEPTM-018، ثبت تجاری گردیده است، یک آنتاگونیست قوی Nav1.4 با IC_{50} برابر ۱/۳ نانومولار می‌باشد (۱۹۳). یک فرمولاسیون کرم از $\mu\text{-CnIIIIC}$ به‌صورت موضعی (Lirikos Marine) برای صاف کردن خطوط صورت در زیبایی پوست موجود است (۱۹۴). μO -کونوتوکسین‌ها، از طریق تعدیل سنسورهای ولتاژ در دامنه II، کانال‌های Nav را مهار می‌کنند تا باز شدن کانال را محدود نمایند؛ بنابراین، آن‌ها مسدود کننده منافذ نیستند. به دلیل ماهیت آبگریز و بنابراین ستر چالش برانگیز،

در وضعیت فعلی دانش ما، کونوتوکسین‌هایی که مطابق گروه B هستند، یک چهارچوب III نیز دارند. عوارض جانبی ناشی از فلج سریع ناخوشایند و مرگ در مدل‌های درد التهابی و نوروپاتی‌ک در استفاده‌های وریدی μ -کونوتوکسین‌ها، احتمالاً به دلیل فعالیت خارج از هدف^{۱۶۴} در زیر گونه Nav1.4 اسکلتی، ممکن است موجب ناامیدی در جستجوی مسدود کننده‌های جدید کانال‌های Nav از حلزون‌های مخروطی جهت درمان درد گردد. تلاش‌هایی برای مهندسی شیمیایی μ -کونوتوکسین‌ها انجام شده است تا بتوانند ضمن رفع این عیوب، ایزوفرم‌های Nav مهم درمانی را هدف قرار دهند (۱۹۰). از سال ۲۰۱۸، تعداد کمی از کشف‌های جدید مسدود کننده‌های کانال Nav مربوط به μ -کونوتوکسین‌ها بوده است (۱۹۰). یک توکسین تحت عنوان $\mu\text{-BtIIIa}$ در

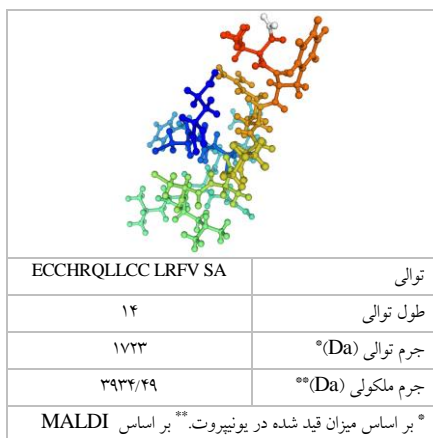
تا حد زیادی توسط نواحی منفذ کانال‌ها از جمله دومین "برجک"^{۱۶۸} تعیین می‌شود. این نتایج، نه تنها اهداف متعددی از برخی از μ -کونوتوکسین‌ها را آشکار کرده است بلکه سؤال مهمی نیز در مورد در نظر گرفتن μ -کونوتوکسین‌ها به‌عنوان مسکن ایجاد می‌کند. هر چند، ذکر گردید که اثرات خارج از هدف آن‌ها می‌تواند به‌طور بالقوه منجر به عوارض جانبی شدید گردد.

۱۶۹- کونوتوکسین‌ها

دو کونوتوکسین ψ -PIIE و ψ -PIIF که محتوای مارپیچی ندارند قادر به مسدود نمودن nAChRها می‌باشند (۱۹۱ و ۱۹۲).

۱۷۰- کونوتوکسین‌ها

کونوتوکسین τ -CnVA^{۱۷۰} (شکل ۲۷)، با چهارچوب V که گیرنده سوماتواستاتین را هدف قرار می‌دهد، دارای یک کانفورماسیون سنجاک موی مشابه با توکسین‌های زیر گروه D2 می‌باشد (۱۵۰). برخی τ -کونوتوکسین‌ها، همچون δ -کونوتوکسین‌ها، فعال کننده کانال‌های Nav هستند.



شکل ۲۷) ساختار سه‌بعدی و توالی مربوط به τ -کونوتوکسین CnVA (منبع: UniProtKB - P0DJL6 (CT5A_CONCN)).

Fig 27) Three-dimensional structure and sequence of τ -conotoxin CnVA.

بسیاری از μ O-کونوتوکسین‌ها به‌درستی مورد مطالعه قرار نگرفته‌اند و از سال ۲۰۱۴ هیچ μ O-کونوتوکسین جدیدی نیز کشف نشده‌اند.

μ O \S -کونوتوکسین‌ها^{۱۶۵}، از جدیدترین گروه‌های مسدود کننده کانال Na هستند و در حال حاضر، μ O \S -کونوتوکسین GVIIJ جدا شده از کونوس ژئوگرافوس، تنها عضو این گروه است (۱۸۹). در مقایسه با کونوتوکسین‌های مسدود کننده کانال Nav معمول، μ O \S -کونوتوکسین GVIIJ دارای هفت باقیمانده سیستئین است که شش مورد از آن‌ها به‌هم پیوند خورده و سه پیوند دی‌سولفیدی ایجاد می‌نمایند و Cys24 نیز S-سیستئینه است (۱۸۹).

نه زیر واحد α مختلف کانال سدیم پستانداران (Nav1.1 تا Nav1.9) وجود دارد که منفذ هدایت یونی^{۱۶۶} را تشکیل می‌دهند و با زیرواحدهای β کمکی (β_1 تا β_4)، مونتاژ شده و در نتیجه کانال را تنظیم نموده و عمل انتقال را انجام می‌دهند (۱۹۵ و ۱۹۶). بر اساس مطالعه الکتروفیزیولوژیک گازویاک و همکاران، کونوتوکسین GVIIJ S-گلو تائینیل^{۱۶۷}، همه زیرگروه‌های حساس rNav1 حساس به TTX را مهار می‌کند؛ هرچند که تأیید شد که GVIIJ، یک مسدود کننده کلاسیک منفذ نیست (۱۸۹).

برخی از μ -کونوتوکسین‌ها می‌توانند کانال‌های پتاسیمی ولتاژدار از خانواده Kv1 را نیز به‌طور انتخابی آنتاگونیزه کنند. در مطالعه لیپولد (Leipold) و همکاران، نشان داده شد که کونوتوکسین‌های μ -PIIA و μ -SIIA، موجب مهار کانال‌های Kv1.1 و Kv1.6 در محدوده نانومولار می‌گردند ولی بر روی Kv1.2-1.5 و Kv2.1 غیرفعال هستند (۱۹۷). فعالیت این توکسین‌ها روی کانال‌های Kv.

¹⁶⁸ Turret

¹⁶⁹ μ -conotoxins

¹⁷⁰ Conotoxin τ -CnVA

¹⁶⁵ μ O \S -Conotoxins

¹⁶⁶ Ion-Conducting Pore

¹⁶⁷ S-glutathionylated GVIIJ

δ-کونوتوکسین‌ها

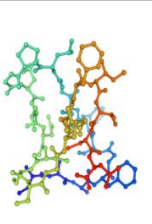
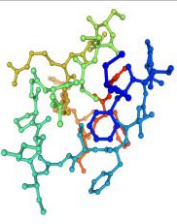
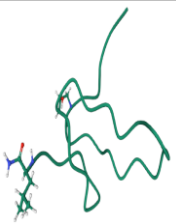
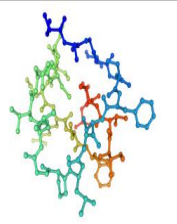
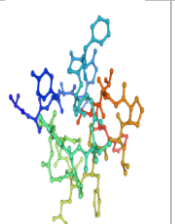
برخی از خانواده‌های کونوتوکسین به‌طور گسترده‌ای در کل جنس کونوس توزیع شده‌اند. نمونه‌هایی از آن، δ-کونوتوکسین‌ها هستند (شکل ۲۸)(۷۴). این کونوپپتیدهای غنی از دی‌سولفید، در مهار غیرفعال‌سازی سریع کانال‌های سدیمی دریچه ولتاژ شناخته شده هستند (۴۴). آن‌ها، کانال‌های Nav را از طریق تأخیر مکانیسم غیرفعال‌سازی کانال فعال می‌نمایند که منجر به شلیک عصبی مداوم می‌شود. به‌نظر می‌رسد که δ-کونوتوکسین‌ها، با بقایای آگریز واقع در اتصال دهنده S3/S4 دامنه IV کانال Nav اتصال برقرار نمایند. این توکسین‌ها برای افتراق زیرگروه‌های خاص کانال سدیمی نیز به‌کار برده شده‌اند (۱۹۸).

برای گونه‌های ماهی شکار، نظیر کونوس پورپوراسنس، نشان داده شده است که δ-کونوتوکسین PVIA نیز همچون κ-کونوتوکسین PVIIA برای واحد حمله برق آسا بسیار حیاتی است (۴۴). δ-کونوتوکسین‌های SVIA، PVIA، EVIA و NgVIA جداسازی شده از حلزون‌های شکارگر ماهی، قادر به فعال‌سازی کانال‌های Nav پستانداران نیز می‌باشند. δ-کونوتوکسین‌های جدا شده از گونه‌های کرم شکار کلاد تسلیکونوس^{۱۷۱}، یعنی کونوتوکسین‌های ErVIA (کونوس تسولاتوس^{۱۷۲}) (۱۹۹)؛

(کونوس ابورنئوس) (۱۹۹) و SuVIA (کونوس سوتوراتوس^{۱۷۳}) نیز فعال‌کننده‌های قوی کانال‌های Nav مهره‌داران هستند (۲۰۰). δ-کونوتوکسین SuVIA، به‌طور اختصاصی کانال‌های Nav1.3، Nav1.4 و Nav1.6 انسانی را با EC50 زیر نانومولار فعال می‌نماید. این توکسین، در میان پپتیدهای مشخص شده چهارچوب V/VII، یک δ-کونوتوکسین قوی است که از یک حلزون مخروطی ماهی‌خوار کونوس سوتوراتوس شناسایی شده است (۲۰۰). شباهت توالی قابل توجه بین δ-کونوتوکسین‌های شکارگر ماهی و کرم، منجر به این فرضیه شد که δ-کونوتوکسین‌های شکارچیان کرم در درجه اول برای دفاع در برابر شکارچیان بزرگتر، از جمله ماهی‌ها تکامل یافته است (۲۰۰).

با وجود این اکتشافات جدید، پتانسیل درمانی δ-کونوتوکسین‌ها به خوبی مورد بررسی قرار نگرفته است. محدودیت اصلی مطالعه فارماکولوژی δ-کونوتوکسین‌ها، سنتز و خالص‌سازی چالش برانگیز به دلیل ماهیت آگریز آن‌ها است. این چالش، اخیراً با استفاده از تگ حلالیت برطرف شده است و امید است که به‌زودی بینش بیشتری در مورد فارماکولوژی آن‌ها و نیز ابزارهای جدیدی برای رمزگشایی بیشتر ساز و کارهای فعالیت کانال Nav فراهم گردد.

¹⁷³ C. suturatus¹⁷¹ Tesseliconus¹⁷² C. tessulatus

					ساختار
CAAFGSFCGL PGLVDCCSGR CFIVCLL	SKCFSPGTF GIKPGLCSSV RCFSLFCISF E	DDCIKPYGFC SLP- ILKNGLC CSGACVGVCA DL	CAGIGSFCL PGLVDCCSDR CFIVCLP	MKLTCVMIVA VLFLTAWTFV TADDSKNGLE NHFWKARDEM KNREASKLDDK	توالی
				KEACYAPGTF CGIKPGLCCS EFCLPGVCFG G	
۲۷	۳۱	۳۲	۲۷	۸۱	طول توالی
۲۷۵۵	۳۳۶۸	۳۲۷۹	۲۷۴۹	۸۹۴۵	جرم توالی (Da)
δ -conotoxin TsVIA	δ -conotoxin NgVIA	δ -conotoxin EVIA	δ -conotoxin SuVIA	δ -conotoxin PVIA	کونوتوکسین
UniProtKB - P0DL66 (O16A_CONTS)	UniProtKB - P56710 (O16A_CONNI)	UniProtKB - P60513 (U6A_CONER)	UniProtKB - P0DL67 (O16A_CONSC)	UniProtKB- P58913 (O16A_CONPU)	منبع

شکل ۲۸) برخی ساختارها و خصوصیات توالی و جرمی برخی δ -کونوتوکسین‌ها (منبع: یونیپروت).

Fig 28) Some structures, and sequence and mass properties of some δ -conotoxins (Source: UniProt).

شد (۲۸). از آن زمان تاکنون، کشف قابل توجهی از این گروه کونوتوکسین‌ها صورت نگرفته است. مهار کانال‌های پتاسیمی حساس به ولتاژ توسط κ -کونوتوکسین‌ها، به‌طور انتخابی صورت می‌گیرد (۲۰۱)، این توکسین، موجب مهار کانال شاکر حشرات می‌شود. جایگاه تعامل بین کانال شاکر و این توکسین در حلقه S_5 - S_6 کانال شاکر است. این توکسین در ماهی، موجب بیش‌فعالی و به دنبال آن انقباض مداوم و باز شدن و بی‌حرکتی باله‌های اصلی، یا مرگ شده است. تزریق این پپتید، همراه با دلتا کونوتوکسین PVIA، موجب سندرم شکار ناگهانی تتانوس (STOP)^{۱۷۸} می‌شود که یک "فین-پاپ"^{۱۷۹} منفرد و کشنده در ماهی‌های تلقیح شده با زهر می‌باشد (۴۴ و ۲۰۲). همچنین در موش نیز موجب بیش‌فعالی می‌گردد (۲۰۳).

کاپا- کونوتوکسین‌ها^{۱۷۴}

κ -کونوتوکسین‌ها، یکی از حداقل چهار خانواده مختلف بالاخانواده O-، از کونوپپتیدهای غنی از دی‌سولفید می‌باشند. آن‌ها در تعامل با کانال‌های پتاسیمی دریچه- ولتاژ، شناخته شده‌اند (۴۴). تعدیل‌کننده‌های کانال‌های پتاسیم (Kv)، یکی از فراوان‌ترین و متنوع‌ترین خانواده‌های کانال‌های یونی با حدود ۷۰ ایزوفرم متفاوت هستند. برای مطابقت با این تنوع هدف‌ها، چندین خانواده از کونوتوکسین‌ها برای تعدیل کانال‌های پتاسیم دریچه-ولتاژ تکامل یافته‌اند و هشت کلاس مسدود کننده کانال پتاسیمی یعنی κ -کونوتوکسین‌ها، شامل κA ، κO ، κM ، κJ ، κI کانتریفان‌ها^{۱۷۵}، کونکونیتزین‌ها^{۱۷۶} و کونورفامیدها^{۱۷۷} وجود دارند. فارماکولوژی κ -کونوتوکسین‌ها، در سال ۲۰۱۲، توسط لوئیس (Lewis) و همکاران شرح داده

¹⁷⁷ Conorfamides

¹⁷⁸ Sudden Tetanus Of Prey (STOP) Syndrome

¹⁷⁹ Fin-Pop

¹⁷⁴ κ -conotoxins

¹⁷⁵ Contryphans

¹⁷⁶ Conkunitzins

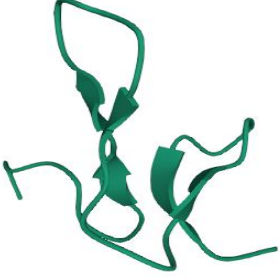
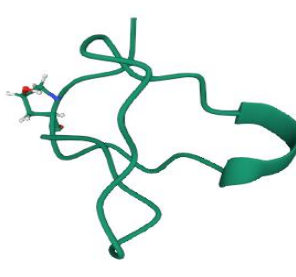
کونوپتیدها تعلق دارند (۷۵). κ -کونوتوکسین Mo3964، تنها عضو چهارچوب XXVIII، از کونوس مونیل^{۱۸۱} است. این توکسین، موجب مهار کانال‌های پتاسیمی دریچه ولتاژ در نورون‌های گانگلیون ریشه پشتی (DRG) می‌گردد (۲۰۵).

در مطالعه اگیلار (Aguilar) و همکاران، نشان داده شد که κ -کونوتوکسین‌های κ M-RIIIJ و κ J-PIXIVA، جدا شده از حلزون‌های ماهی شکار کونوس رادپاتوس و کرم شکار کونوس پلانوریس^{۱۸۲}، دارای فعالیت مهارتی بر کانال‌های Kv1.6، به ترتیب با IC_{50} ۱/۵۹ و میکرومولار می‌باشند. علاوه بر این، نشان داده شد که κ -ViTx جدا شده از حلزون شکارگر کرم کونوس ویرگو، دارای فعالیت مهارتی بر کانال Kv1.3 با IC_{50} : ۲/۰۹ میکرومولار می‌باشد (۲۰۶). برخی ساختارها و خصوصیات توالی و جرمی برخی κ -کونوتوکسین‌ها در شکل (۲۹) آورده شده است.

اولین و بیشترین مطالعه کونوتوکسین با فعالیت روی کانال‌های پتاسیمی، مربوط به κ -PVIIA جدا شده از ونوم کونوس پورپوراسنس است که متعلق به توالی‌های بالاخانواده O1 است. کونوتوکسین κ -PVIIA با IC_{50} برابر ۶۰ نانومولار برای کانال پتاسیمی شاکر است و هیچ فعالیتی بر زیرگروه‌های Kv1.1 و Kv1.4 پستانداران ندارد (۴۴). نشان داده شده است که κ -کونوتوکسین PVIIA، برای گونه‌های ماهی شکار، نظیر کونوس پورپوراسنس، برای واحد حمله برق‌آسا بسیار حیاتی است (۴۴).

در مطالعه لوبرس (Lubbers) و همکاران، نشان داده شد که κ -کونوتوکسین PVIIA^{۱۸۰}، در شرایط *in vivo* میزان انفارکتوس میوکارد را در مدل ایسکمی/رپرفیوژن در مدل حیوانی کاهش می‌دهد (۶۶). این نتایج قبلاً توسط ژانگ (Zhang) و همکاران، نیز مشخص شده بود (۲۰۴).

اکثر ۵۸ کونوتوکسین چهارچوب IV، از ونوم کونوس‌های شکارگر ماهی مشخص گردیده‌اند. آن‌ها به خانواده κ A

	-		ساختار
DGECGDKDEP CCGRPDGAKV CNDPWVCILT SSRCENP	LPPCCTPPKK HCPAPACKYK PCKKS	MKLTCCVVIVV VLFLTACQLI TADDSRRRTQK HRALRSTTKL SLSTRCRIPN QKCFQHLDDC CSRK- CNRFNK CV	توالی
۳۷	۲۵	۷۲	طول توالی
۳۹۷۰	۲۷۰۱	۸۳۱۷	جرم توالی (Da)
-	۲۸۰۵/۸۴ توسط ESI مونوایزوتوپیک	۳۲۶۸/۴ توسط FAB جرم مونوایزوتوپیک	جرم ملکولی (Da)
κ -conotoxin Mo3964	κ M -conotoxin RIIIJ	κ -conotoxin PVIIA	κ -کونوتوکسین
UniProtKB - A0A0R4I952 (CXRA_CONMO)	UniProtKB - P0CG45 (CM3J_CONRA)	UniProtKB - P56633 (O17A_CONPU)	منبع

شکل ۲۹) برخی ساختارها و خصوصیات توالی و جرمی برخی κ -کونوتوکسین‌ها (منبع: یونیپروت)

Fig 29) Some structures, and sequence and mass properties of some κ -conotoxins (Source: UniProt)

¹⁸² *Conus planorbis*

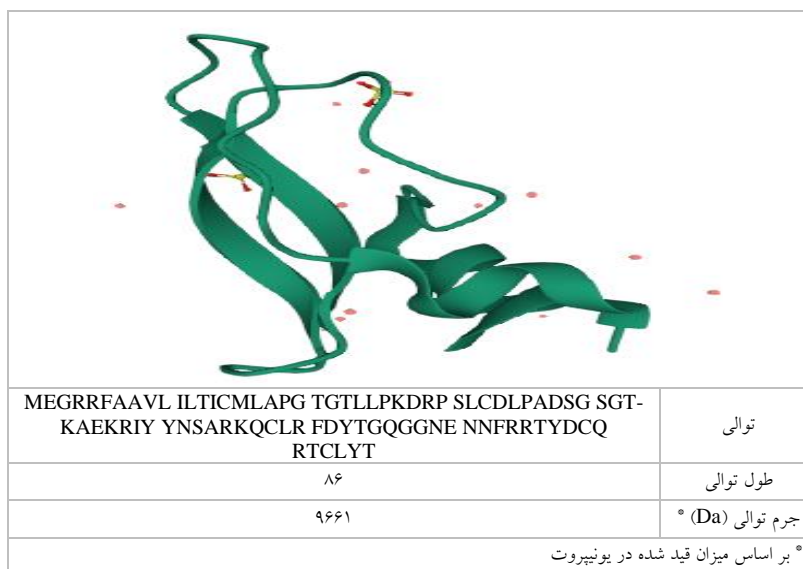
¹⁸⁰ κ -conotoxin PVIIA

¹⁸¹ *Conus monile*

کونکوئیتزین‌ها

کونکوئیتزین‌ها، یکی از هشت کلاس کونوتوکسین‌های مسدود کننده کانال پتاسیمی یعنی K-کونوتوکسین‌ها هستند (۲۸). در چند دهه گذشته، بسیاری از کونوتوکسین‌های با اسیدهای آمینه اصلاح شده پس از ترجمه با موفقیت توسط روش SPPS تولید شده‌اند که نتیجه آن تولید پلی‌پپتیدهای طویل‌تر حاوی تا چند صد آمینو اسید بوده است (۲۰۷). یکی از سنتزهای موفق با استفاده از این روش، سنتز یک کلاس جدید کونوتوکسین‌ها به نام کونکوئیتزین S1 (Conk-S1) ^{۱۸۳}

توسط گروه دای (Dy) و همکاران بود که از نظر ساختاری با پروتئین‌های کونیتز ^{۱۸۴} بسیار مرتبط هستند (شکل ۳۰) (۲۰۸). با توجه به هزینه‌های بالای سنتز و محافظت اسیدهای آمینه برای سنتز چنین پپتیدهای بزرگی، روش جایگزین مقرون به صرفه برای تولید این پپتیدها در مقادیر بیشتر همان استفاده از سیستم‌های بیان باکتریایی و یوکاریوتی است. اشریشیا کلی، به دلایل مختلفی چون کم هزینه بودن و زمان کوتاه کشت، بهترین مشخصه و پرکاربردترین میزبان باکتریایی برای تولید پروتئین‌های نو ترکیب است (۲۰۹).



شکل ۳۰ ساختار سه‌بعدی و توالی مربوط به کونکوئیتزین - (Conk-S1)S1 (منبع (UniProtKB - P0C1X2 (VKTS1_CONST)).

Fig 30) Three-dimensional structure and sequence of Conk-S1 (source (VKTS1_CONST) UniProtKB-P0C1X2).

کوناتوکین‌ها

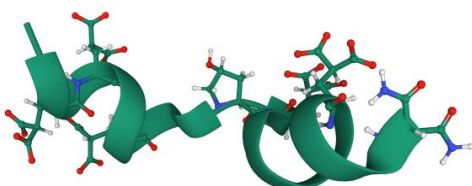
کونوتوکسین‌هایی که دارای بیش از یک پیوند دی‌سولفید نباشند در گروه کونوتوکسین‌های دارای فقر دی‌سولفید ^{۱۸۵} طبقه‌بندی می‌گردند (۵۶). در میان آن‌ها، کوناتوکین‌ها هستند که از کونوتوکسین‌های ماریچی ۲۰ اسید آمینه‌ای، حاوی بقایای ۷-کربوکسی گلوتامات و برابر گروه K

می‌باشند (۱۶). آن‌ها به‌طور آلوستریک، موجب مهار گیرنده‌های NMDA که دومین گروه اصلی گیرنده‌های گلوتاماتی هستند (علاوه بر گیرنده‌های AMPA)، می‌گردند (۲۱۰). ساختار این پپتیدهای غیرمعمول، به جای استفاده از لینک‌های عرضی دی‌سولفید (که به‌طور کلی در کوناتوکین‌ها وجود ندارد)، توسط آمینواسید اصلاح شده

¹⁸⁵ Disulfide-Poor Conotoxins

¹⁸³ Conkunitzin-S1

¹⁸⁴ Kunitz



شکل ۳۱) ساختار رویانی کونانتوکین-R1B
Fig 31) Conantokin-R1B ribbon structure

کونترفان‌ها

کونترفان‌ها، کونوتوکسین‌های کوچکی هستند که دارای یک ساختار حلقوی پنج باقیمانده حاوی یک D-آمینو اسید بوده و توسط یک پیوند دی‌سولفید تثبیت می‌شوند که به‌عنوان فولد J طبقه‌بندی گردیده‌اند (۱۶). هدف مولکولی کانترفان‌ها ناشناخته مانده است، اما هنگام تزریق به موش، یک فنوتیپ افسردگی و یا بیش‌فعالی را القاء می‌نمایند (۲۱۵).

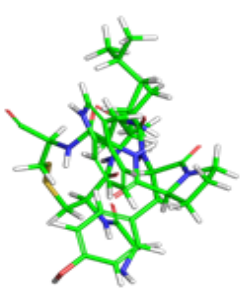
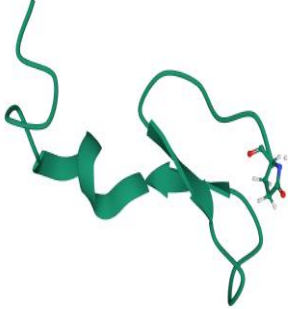
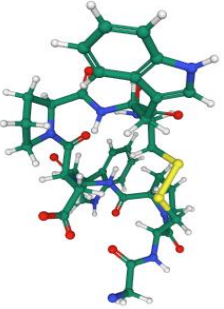
کونترفان-In از کونوس اینسکریپتوس^{۱۸۷} و کونترفان-Lo^{۱۸۸} از کونوس لورویسی^{۱۸۹} به‌دست آمدند (۲۱۶). کونترفان-Vc1^{۱۹۰} کونوس ویکتوریا، هیچ همسانی توالی و ساختاری با سایر کونترفان‌ها ندارد، اما براساس شباهت توالی پپتید سیگنال پیش‌ماده خود با سایر اعضای خانواده، کونترفان نام‌گذاری گردید (۱۰۵). مطالعه ساختار کونترفان-Vc1156^{۱۹۱}، یک فولد (گروه) جدیدی ایجاد کرد که فولد P نامیده شد. این فولد با یک β -ورقه‌ای کوچک و یک پیوند دی‌سولفید مشخص می‌شود که یکی از رشته‌های بتای C-ترمینال را به N-ترمینال متصل می‌کند و دوباره بر روی ورق β قرار می‌گیرد. این فولد به‌عنوان یک بتا-سنجاقی دی‌سولفیدی هدایت شده است و یک زیر شاخه ثابت از ICK است (۲۱۷). شکل (۳۲)، ساختارهای سه بعدی و توالی برخی کونترفان‌ها را نشان می‌دهد.

پس از ترجمه γ -کربوکسی گلوتامات، تثبیت می‌شود. وجود زنجیره‌های جانبی γ -کربوکسی گلوتامات در هر سه یا چهار اسید آمینه، به این پپتیدها در حضور کلسیم، یک ساختار ماریچی پایدار می‌بخشد. کونانتوکین‌هایی چون کونانتوکین G، در حضور کاتیون‌های دو ظرفیتی نظیر منیزیم یا کلسیم، یک کانفورماسیون ماریچی به وجود می‌آورند (۲۱۱). شلاته شدن یون‌های منیزیم توسط زنجیره‌های جانبی γ -کربوکسی گلوتامات، کانفورماسیون کونانتوکین‌ها و فعالیت آن‌ها را در گیرنده GluN2B NMDA کنترل می‌کند. بنابراین، این γ -کربوکسی گلوتامیک اسید کونانتوکین‌ها هستند که محلی برای اتصال به یون‌های فلزی ایجاد نموده‌اند (۲۱۲).

ساختار کونانتوکین-R1B کونوس رولانی^{۱۸۶}، توسط NMR تعیین و نشان داده شد که دارای یک چین‌خوردگی در وسط ماریچ است که توسط یک هیدروکسی‌پرولین ایجاد می‌گردد (شکل ۳۱). جایگزینی هیدروکسی‌پرولین توسط یک پرولین یا آلانین، به‌طور چشمگیری فعالیت زیستی آن را کاهش می‌دهد (۲۱۳). بر اساس مطالعه مایلو (Maillo) و همکاران، کونانتوکین‌ها تنها مهارکننده‌های NMDAR از نوع پپتیدی با اثرات محافظت‌کنندگی قوی عصبی هستند و همچنین دارای اثرات ضددرد قابل ملاحظه‌ای می‌باشند. باقیمانده‌های C-ترمینال کونانتوکین‌های آنتاگونیست NMDAR، از پپتیدها آمیددار شده‌اند (۲۱۴).

¹⁸⁹ *Conus lorioisii*
¹⁹⁰ Contryphan-Vc1
¹⁹¹ Contryphan-Vc1156

¹⁸⁶ *Conus rolandi*
¹⁸⁷ *Conus inscriptus*
¹⁸⁸ Contryphan-Lo

			ساختار
GCVLYPWC	MGKLTILFLV AAALLSTQVM VQGDGAHERT EAEEPQHHGA KRQDGTGGYP VDDVDMMQRI FRTPCLKRQWC QPGYAYNPVL GICTITLSRI EHPGNYDYRR GRQ	MGKLTILVLV AAVLLSTQVM VQGDGDQPAD RNAVRRDDNP GGTRGFMNI LRRTGCPWDP WC	توالی
۸	۱۰۳	۶۳	طول توالی
۹۴۰	۱۱۶۲۹	۶۸۹۷	جرم توالی (Da)
۹۳۷ بر اساس MALDI	-	۹۶۰/۱ توسط ESI. جرم مونوایزوتوپیک	جرم ملکولی (Da)
Contryphan-In	Contryphan-Vc1	Contryphan-Lo	کونترفان
UniProtKB - P0C249 (COW_CONIN)	UniProtKB - W4VSF6 (O2VC1_CONVC)	UniProtKB - P0C250 (COW1_CONBL)	منبع

شکل ۳۲) ساختارهای سه‌بعدی و توالی برخی کونترفان‌ها (منبع: UniProtKB).

Fig 32) Three-dimensional structures and sequences of some Contryphans (Source: (UniProtKB)).

IC₅₀ حدود ۰/۰۲۲±۰/۰۲۲ میکرومولار مهار می‌کند. مطالعات بیشتر ساختار- فعالیت کونوتوکسین Ac1 نشان داد که بقایای اسید آمینه قطبی، برای تعدیل فعالیت آن مهم است. علاوه بر این، در آزمون‌های تعیین فعالیت ضد درد، روش‌های هات-پلیت^{۱۹۵} و تایل فلیک^{۱۹۶} پاسخ به محرک گرمایی حاد کونوتوکسین‌های Ac1 و Ac1-O6P، تأیید نمود که کونوتوکسین Ac1، یک مهار کننده NMDAR در یک حالت وابسته به دوز است و فعالیت ضد درد را نشان می‌دهد (۲۱۲). در مطالعه کشف رابطه ساختار- فعالیت بین کونوتوکسین Ac1 و تارگت لیو (Liu) و همکاران، اثرات ۱۰ میکرومولار کونوتوکسین Ac1- و کونوتوکسین Ac1-O6P بر فعالیت کانال‌های یونی Na⁺، K⁺، Ca²⁺ و NMDAR با استفاده از فناوری پچ گیره^{۱۹۷} سلول تام نشان داد که ۱۰ میکرومولار کونوتوکسین-Ac1 و

کونوتوکسین‌های ^{۱۹۲}Ac1

بر اساس مطالعه ترلاو و همکاران، بیشتر CTxها حاوی پیوندهای دی‌سولفیدی هستند (۱۰)، در حالی که کونوتوکسین-Ac1 در کونوس آکاتینوس، یک توکسین خطی فاقد سیستمین است. کونوتوکسین Ac1 و واریانت آن کونوتوکسین ^{۱۹۳}Ac1-O6P، از مجرای ونوم کونوس اکاتینوس^{۱۹۴}، یک گونه حلزون مخروطی ماهی شکار جمع‌آوری شده در دریای هاینان، چین جداً شد. کونوتوکسین Ac1 پپتیدی خطی است که حاوی ۱۵ اسید آمینه است. در مطالعه لیو و همکاران، علاوه بر سنتز، خصوصیات ساختاری و عملکردی کونوتوکسین Ac1 و همچنین ۱۹ گونه آن مورد بررسی قرار گرفتند (۲۱۲). بر اساس نتایج الکتروفیزیولوژیک مطالعه آن‌ها، کونوتوکسین Ac1، زیر واحد گیرنده N-متیل D-آسپاراتات زیر گروه 2B (NR2B) را با

¹⁹⁵ Hot-plate

¹⁹⁶ Tail-flick

¹⁹⁷ Patch-Clamp

¹⁹² Conotoxin-Ac1

¹⁹³ Conotoxin-Ac1-O6P

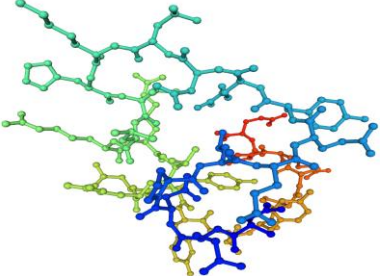
¹⁹⁴ *Conus achatinus*

فعالیت ضد درد این دو کونوتوکسین با استفاده از روش صفحه داغ و روش سوختگی - دم^{۱۹۸} نشان داد که دوزهای ۱۰، ۲۰ و ۴۰ میکروگرم بر کیلوگرم این دو کونوتوکسین، دارای فعالیت ضددرد قابل ملاحظه‌ای می‌باشد (۲۱۲).

کونوتوکسین -Ac1، حاوی ۱۵ بقایای اسید آمینه مشتمل بر شش بقایای اسید آمینه آروماتیک، N-ترمینال و C-ترمینال، بسیار آبگریز و لیوفیل است در حالی که دارای یک واسط (ROENS) آب‌دوست است (شکل ۳۳). کونوتوکسین‌های فاقد سیستم حلقه‌های مخروطی تقریباً به شش دسته تقسیم می‌شوند (۲۱۲).

کونوتوکسین Ac1-O6P-، تقریباً هیچ اثر مهارى بر Na^+ و K^+ ندارد، ۱۰ میکرومولار کونوتوکسین Ac1-O6P، یک اثر مهارى بر کانال‌های یونی Ca^{2+} و ۱۰ میکرومولار کونوتوکسین Ac1 مهار حدود ۵۶/۹۰ درصدی را روی کانال‌های یونی NMDAR نشان دادند (۲۱۲).

همچنین، نتایج کلی ارزیابی فعالیت حیوانی کونوتوکسین‌های Ac1 و Ac1-O6P، توسط لیو و همکاران، نشان داد که این دو می‌توانند موجب کوتاه شدن قابل توجهی تأخیر خواب و طولانی شدن زمان خواب گردند (۲۱۲). به علاوه، نشان داده شد که کونوتوکسین -Ac1 و کونوتوکسین -Ac1-O6P، دارای اثرات تثبیت کننده هستند. همچنین، بررسی نتایج

	ساختار
LGVLVTIFLV LFPMATLQLD GDQTADRHAG ERDQDPLEQY RNLKHVLRRT RNYLYPARP ENSWWT	توالی
۶۶	طول توالی
۷۸۶۰	جرم توالی (Da)
MALDI ۱۹۷۶/۱۱ توسط	جرم ملکولی (Da)
Conotoxin-Ac1-O6P	کونوتوکسین
UniProtKB - P0CH24 (CA1_CONAH)	منبع

شکل ۳۳) ساختار و برخی خصوصیات توالی و جرمی کونوتوکسین Ac1 (منبع: یونیپروت).

Fig 33) Structure and some sequence and mass characteristics of conotoxin Ac1 (Source: Uniprot).

به حداکثر اثر ضد دردی خود می‌رسند. کونوتوکسین -Ac1 پس از ۱۲۰ دقیقه تجویز، به حداکثر بی‌دردی می‌رسد. علاوه بر این، آستانه درد کونوتوکسین

کونوتوکسین ^{۱۹۹}Ac1-N1A، کونوتوکسین ^{۲۰۰}Ac1-Y2A و کونوتوکسین ^{۲۰۱}Ac1-N11A (۴۶) و کونوتوکسین ^{۲۰۲}Ac1-S12A تنها درد را کاهش می‌دهند بلکه، حداکثر پس از ۶۰ دقیقه از زمان تجویز،

²⁰¹ Conotoxin-Ac1-N11A

²⁰² Conotoxin-Ac1-S12A

¹⁹⁸ Tail-burn

¹⁹⁹ Conotoxin-Ac1-N1A

²⁰⁰ Conotoxin-Ac1-Y2A

معروف‌ترین حلزون‌های دریایی، با پوسته‌های مشخص، بلند، باریک و چند حلقوی هستند که برای سبک زندگی در ماسه سازگار شده‌اند.

برخی گونه‌های حلزون آوگر، غدد زهری خود را از دست داده‌اند. ونوم‌پیتیدهای این حلزون‌ها، به نام "اوگرپتید" شناخته می‌شوند. اوگرپتیدها در دو گونه‌تر بریده شناسایی گردیده‌اند. در مطالعه ایمپرئال (*Imperial*) و همکاران، مشخص گردید که ونوم پیتیدهای خالص‌سازی شده تربرا سوبولاتا^{۲۱۱}، دارای ساختارهای مشابه با O-بالاخانواده‌های معروف کونوپیتیدی هستند (۲۲۰). پس از آن، در مطالعه‌ای دیگر توسط آن‌ها، آنالیز بسیار گسترده‌ای، با استفاده از خالص‌سازی مستقیم ونوم و کلونینگ cDNA در گونه هاستلولا هکتیکا^{۲۱۲} از تربریده انجام گردید؛ توالی‌های پیتیدی نیز تعیین شدند. با وجودی که برخی از چهارچوب‌های سیستمین موجود در پیش‌سازهای پیش‌بینی شده اوگرپتید هاستلولا هکتیکا توسط کلون‌های cDNA، شبیه بالاخانواده‌های O- و P-پیتیدها بودند، لکن هیچ توالی سیگنال همسانی مشاهده نشد (۲۲۱). ساختارهای سه‌بعدی و توالی برخی اوگرپتیدها در شکل (۳۴) آورده شده است.

Ac1-E10A^{۲۰۳} و کونوتوکسین Ac1-T15A^{۲۰۴} پس از ۶۰ دقیقه تجویز بود (۶۱). برخی دیگر از کونوتوکسین-Ac1، شامل کونوتوکسین‌های Ac1-E10γ^{۲۰۵} (۲۱۸) و Ac1-E10γW14γ15^{۲۰۶} هستند (۲۱۹).

توکسین‌های سایر حلزون‌های دریایی زهرآگین

همان‌طور که ذکر گردید، علاوه بر خانواده کونیده، دو گروه حلزون‌های خانواده تربریده و توریده از حلزون‌های دریایی زهرآگین شناخته شده‌اند. بیش از ۱۰ هزار گونه در گروه آخر پیشنهاد شده است که نشان داده شده است پلیفلیتیک^{۲۰۷} هستند و اخیراً در ۱۲ گروه خانوادگی تعریف شده‌اند (۵). ونوم‌پیتیدهای حلزون‌های اوگر (خانواده تربریده)، از نظر بیوشیمیایی، مشخص شده‌اند. از ۱۲ گروه پیشنهاد شده توریده در سطح خانواده، سه مورد توریدها، کریس اسپیریدها^{۲۰۸} و کلاتورلیدها^{۲۰۹} مورد بررسی قرار گرفته‌اند.

اوگرپتیدها^{۲۱۰}: ونوم‌پیتیدهای خانواده تربریده

حلزون‌های اوگر (خانواده تربریده)، گروه متمایزی از نرم‌تنان گرمسیری ساکن شن و ماسه هستند و اعتقاد بر این است که از کرم‌های پلیکته تغذیه می‌کنند. آن‌ها از

²⁰⁸ Crassispirids

²⁰⁹ Clathrellids

²¹⁰ Augerpeptides

²¹¹ *Terebra subulata*

²¹² *Hastula hectica*

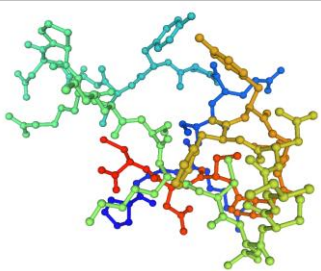
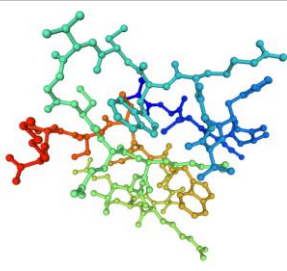
²⁰³ Conotoxin-Ac1-E10A

²⁰⁴ Conotoxin-Ac1-T15A

²⁰⁵ Conotoxin-Ac1-E10γ

²⁰⁶ Conotoxin-Ac1-E10γW14γ15

²⁰⁷ Polyphyletic

	-		ساختار
NEVCPGRCE PYCCDPRKCK CLSIDFYGLV CNCD	GECCTDCAQT AAANYC	GLSQSGCAF TGRWCVCER LRSRVVWECS PKRVVNSI	توالی
۳۵	۱۶	۳۸	طول توالی
۳۹۳۲	۱۶۲۴	۴۲۵۶	جرم توالی (Da)
Augerpeptide hheTx5	Augerpeptide hhe1a	Augerpeptide hhe53	اوگرپپتید
UniProtKB - P0CI12 (TEF5_HASHE)	UniProtKB - P0CI06 (TE1A_HASHE)	UniProtKB - P0CI21 (TE53_HASHE)	منبع

شکل ۳۴) ساختارهای سه بعدی و توالی برخی اوگرپپتیدها (منبع: (UniProtKB)).

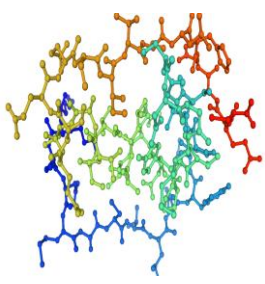
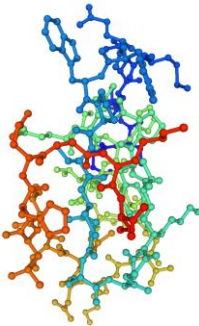
Fig 34) Three-dimensional structures and sequences of some augerpeptides (Source: (UniProtKB)).

ونوم‌پپتیدهای چندین جنس شناخته شده توریس، گمولا^{۲۱۶}، لوفیوتوما^{۲۱۷}، اوندوگمولا^{۲۱۸}، پلی‌ستیرا^{۲۱۹} و توریدروپا^{۲۲۰} تعریف می‌شوند. در حال حاضر، توالی ونوم‌پپتیدهای چندین گونه توریدیس، از جمله پلیستیرا البیدا^{۲۲۱}، گمولا دیومدئا^{۲۲۲}، گمولا کینری^{۲۲۳}، گمولا سوگودنسیس^{۲۲۴}، گمولا اسپیشوسا^{۲۲۵} و لوفیوتوما اولانگوئسیس^{۲۲۶} مشخص شده‌اند (۲۲۲). شکل (۳۵)، ساختارهای سه بعدی و توالی سه تورپپتید را نشان می‌دهد.

تورپپتیدها^{۲۱۳}: ونوم‌پپتیدهای خانواده توریده
گسترده‌ترین گروه ونوم‌پپتیدهای غیرکونوسی، تورپپتیدها هستند. خانواده توریده، قبلاً شامل همه گونه‌های توریدها بود؛ اما، یک توافق در حال ظهور وجود دارد که خانواده توریده را به شاخه مونوفیلیتیک کونوئیده محدود کنند که شامل گونه‌های جنس توریس^{۲۱۴} و توریس بایلونیا^{۲۱۵} هستند. بنابراین، تورپپتیدها با استفاده از این تعریف متمرکزتر، به‌عنوان

²²⁰ *Turridrupa*
²²¹ *Polystira albida*
²²² *Gemmula diomedea*
²²³ *G. kieneri*
²²⁴ *G. sogodensis*
²²⁵ *G. speciosa*
²²⁶ *Lophiotoma olangoensis*

²¹³ Turripeptides
²¹⁴ Turris
²¹⁵ *Turris babylonia*
²¹⁶ *Gemmula*
²¹⁷ *Lophiotoma*
²¹⁸ *Unedogemmula*
²¹⁹ *Polystira*

	-		ساختار
MKVYCLLVVL LVGLVSTQGG QLDKKCNMAC TLDYRPVCGS DGKTYP- NRCA LTSTACESQQ SITVLHDGEC	EACDDSHPCN KTLACSGNKC LIPYGSTVWD CESGFDCVIG VVCTYHGGDK VGRCTQDHRC QRGACTNPAT ECDEDEVCGY KEGETCYGPC RKGLTCRLGR CRP	CMTICTMEYW PVCGSDGKTY PNK- CHLTSTA CTSQKDITVL HEGKC	توالی
۷۰	۱۰۳	۴۵	طول توالی
۷۶۰۲	۱۱۱۶۶	۴۹۸۶	جرم توالی (Da)
Turriripeptide Pal9.2	Turriripeptide OL55-like	Turriripeptide OL11-like	تورپپتید
UniProtKB - P0DKT1 (TU92_POLAB)	UniProtKB - P0DKP2 (TU55_LOPAL)	UniProtKB - P0DKM9 (TU11_LOPAL)	منبع

شکل (۳۵) ساختارهای سه‌بعدی و توالی برخی تورپپتیدها (منبع: UniProtKB)

Fig 35) Three-dimensional structures and sequences of some turriripeptides (Source: (UniProtKB))

خانواده تورپپتیدها، بالاخانواده ^{228}Pg (G) برای جنس گمولا، عنوان گردد (۲۲۲). پس از انجام PCR استاندارد بر روی دیگر گونه‌های گمولا، پپتیدهای هومولوگ دیگری از سه گونه گمولا سوگودنسیس، گمولا دیومدیا و گمولا کینری به‌دست آمدند. توالی‌های بالاخانواده-Pg به دو گروه تقسیم شدند که نشان از این داشت که آن‌ها ممکن است روی دو هدف مولکولی متفاوت، اما هومولوگ عمل نمایند. خالص‌سازی تورپپتیدهای gsp9a و gsp9b ، توسط هرالده (Heralde) و همکاران انجام شده است (۲۲۳).

دو پپتید gsp9a و gsp9b ، مستقیماً از زهر گمولا اسپیشوزا خالص‌سازی شده‌اند (جدول ۷). این پپتیدها از این جهت قابل توجه هستند که حاوی دو آمینو اسید اصلاح شده پس از ترجمه ۴-هیدروکسی پرولین و ۷-کربوکسی گلوتامات هستند که در کونوپپتیدها یافت می‌شوند. دو پپتید خالص با شباهت توالی قابل توجه و همان چهارچوب بقایای Cys، با یکدیگر هومولوگ بودند و این فریم‌ورک مشابه بالاخانواده P-کونوپپتید^{۲۲۷} بود، اما کلونینگ از نوم گمولا اسپیشوزا نشان داد که هیچ همسانی توالی واضحی بین توالی‌های سیگنال پیش‌سازهای پپتید گمولا اسپیشوزا و بالاخانواده P-کونوپپتید وجود ندارد. پیشنهاد گردید که به این بالا

جدول ۷) برخی خصوصیات توالی و جرمی تورپتیدهای gsp9a و gsp9b . (منبع: یونیپروت)		
یافته		عنوان
GDPPRFCDK LCSGDGDCSV WCTAGCNHDM GKCDTL	IDPPRYCNHI ICYEDSECSQ WCTAGCNSIT SKCDT	توالی
۳۶	۳۵	طول توالی
۳۸۶۴	۳۹۵۷	جرم توالی (Da)
۴۵۲۲/۲	۴۰۷۱/۵	جرم ملکولی (Da) توسط MALDI
gsp9b	gsp9a	تورپتید
UniProtKB - P0C849 (C9B_GEMSP)	UniProtKB - P0C844 (C9A_GEMSP)	منبع

زهرآگین هستند که شاخه‌ای متفاوت از تورپدها را تشکیل می‌دهند. شواهد فیلوژنتیک نشان می‌دهند که آن‌ها به خانواده دریلیده^{۲۳۳} شبیه‌تر هستند (۲۲۴ و ۲۲۵). تعیین دقیق طبقه‌بندی این گروه (خانواده کراسیپیریده یا سودوملاتومیده^{۲۳۴}) هنوز مشخص نگردیده است. به ونوم‌پتید کراسیپیریده‌ها "کراسیپتید" گویند. در منابع، فقط ونوم گونه کراسیپیرا سریتینا^{۲۳۵} مورد بررسی قرار گرفته‌است. در مطالعه کابانگ (Cabang) و همکاران یک کراسیپتید به نام "Cce9a"، توصیف و از نظر شیمیایی نیز به صورت یک ترکیب فعال بیولوژیکی سنتز شده است (شکل ۳۶). این پتید، علائم جدیدی را در تزریق به CNS موش ایجاد می‌کند که وابسته به دوز و دوره رشد جانور است و نشان می‌دهد که این کراسیپتید ممکن است یک تارگت مولکولی جدید در CNS موش داشته باشد. اخیراً، آنالیز کلون‌های cDNA از کراسیپیرا سریتینا، هفت بالاخانواده مختلف ونوم ژن را شناسایی کرده است که پتیدهایی را با ۱ تا ۴ پیوند دی‌سولفید کدگذاری می‌کند (۲۲۴).

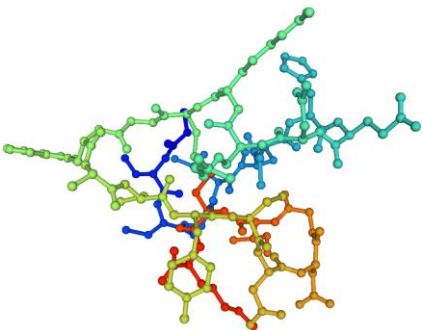
یکی از جنبه‌های غیرمعمول ونوم‌های تورپده، ونوم پتیدهایی بدون هیچ بقایای سیستمین و ترکیبات اسید آمینه بسیار غیرمعمول هستند. آنالیز پتیدهای زهر لوفیوتوما (زنوروتوریس^{۲۲۹}) اولانگوئسیس^{۲۳۰} و نیز بالا خانواده‌های تورپتیدی با استفاده از کلونینگ cDNA، یک بالاخانواده پتیدی کدگذاری شده با ۱۶ بقایای سیستمین، مجموعه‌ای از اجزاء ونوم بسیار بزرگ‌تر از هر بالاخانواده پتیدی کونوس را نشان داد. پتیدهای هر دو زهر، غنی از متیونین و لوسین، کاملاً برخلاف هر یک از کونوپتیدهای مشخص شده، از ونوم‌های تورپد شناسایی گردیدند (۲۲۲).

کراسیپتیدها^{۲۳۱}: ونوم‌پتیدهای حلزون‌های کراسیپیرید^{۲۳۲}

کراسیپیریده‌ها به گروه بزرگی از گونه‌هایی تعلق دارند که زمانی به خانواده تورپده اختصاص داده شده بودند. داده‌های فیلوژنتیک مولکولی اخیر نشان داده اند که آن‌ها یک گروه بزرگ از تنوع زیستی حلزون‌های

²³³ Drillidae
²³⁴ Pseudomelatomidae
²³⁵ Crassispira cerithina

²²⁹ Xenuroturris
²³⁰ olangoensis
²³¹ Crassipeptides
²³² Crassispirid

	ساختار
ADNHARVAGP RAVASGRYAT EKAFLQMMTR GSCGLPCHEN RRCGWACYCD DGICKPLRV	توالی
۵۹	طول توالی
۶۴۷۱	جرم توالی (Da)
۳۲۰۴/۱۱	جرم ملکولی (Da) توسط MALDI
Crassipeptide cce9a	کراسیپتید
UniProtKB - G8FZS4(CX9A_CRACE)	منبع

شکل ۳۶) ساختار سه بعدی و برخی خصوصیات توالی و جرمی کراسیپتید Cce9a (منبع: یونیپروت)

Fig 36) Three-dimensional structure and some sequence and mass characteristics of crassipeptide Cce9a (Source: UniProt)

معمولی شبه‌کونوپپتید می‌باشد. با بهبود تکنیک‌های کوننی دستیابی به توالی ونوم‌پپتیدها در حلزون‌های میکرو، می‌توان انتظار داشت که فارماکولوژی جدیدی از این گروه بسیار متنوع، گسترش یابد.

کونوانسولین‌ها^{۲۳۸}

کونوانسولین‌ها، کلاس جدیدی از کونوتوکسین‌ها را تشکیل می‌دهند که به‌طور گسترده در حلزون‌های مخروطی شکارگر ماهی یافت شده‌اند. بر اساس مطالعه صفوی-همتی (Safavi-Hemami) و همکاران، این ترکیبات موجب ایجاد شوک هیپوگلیسمی در ماهی می‌گردند (۲۲۷).

کونوانسولین G1^{۲۳۹}

کونوانسولین G1، کوچک‌ترین آنالوگ انسولین است که تاکنون به‌طور طبیعی شناسایی گردیده‌است. اندازه

کلاتورلیپتیدها^{۲۳۶}: از ریز کونوئیدهای زهراگین

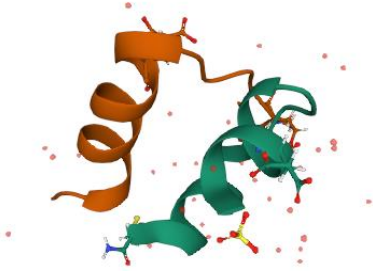
کلاتورلیپدها، متعلق به یکی از گروه‌های اصلی توریدری هستند که توسط بوکت و همکاران در خانواده کلاتورلیپد^{۲۳۷} جای گرفتند (۵). اعتقاد بر این است که آن‌ها یکی از نزدیک‌ترین گروه‌های تورید به کونوس می‌باشند. در واقع، در یک طرح طبقه‌بندی پیشین، پیشنهاد گردیده بود که کلاتورلیپدها با کونوس در خانواده کونوئید گنجانیده شوند (۲۲۶). اتفاق نظر این است که این یک گروه بسیار متنوع از نرم‌تنان زهراگین، در آب‌های عمیق هستند که بر اساس داده‌های فیلوژنتیک مولکولی، یک شاخه کاملاً مشخص از کونوئید هستند. بنابراین، به پپتیدهای موجود در زهرهای خانواده کلاتورلیپد، "کلاتورلیپتید" اطلاق می‌گردد. به دلیل اندازه بسیار کوچک اکثر کلاتورلیپدها، تاکنون تعداد کمی از آن‌ها آنالیز شده‌اند. با این حال، سه توالی منتشر شده است که یکی از آن‌ها یک پیش‌ساز

²³⁸ Conoinsulins
²³⁹ Con-Ins G1

²³⁶ Clathurellipeptides
²³⁷ Clathurellidae

کوچکتر آن، ممکن است با فراهمی زیستی بهتری همراه باشد (شکل ۳۷) (۲۲۸). شباهت توالی به انسولین مهره‌داران و اندازه کوچکتر، فرصت منحصر به فردی را برای بررسی پتانسیل فارماکولوژیکی این مولکول‌های خاص برای توسعه بیشتر فراهم نموده است تا تأثیر آن‌ها بر هموستازی گلوکز مورد بررسی قرار گیرد. در مطالعه منتینگ (Menting) و همکاران، مشخص گردید که Con-Ins G1، یک مقلد انسولین انسانی با زنجیره B کوتاه می‌باشد (۲۲۹). گرچه، Con-Ins G1 فاقد قسمت C- ترمینال انسولین انسانی در زنجیره B که واسطه اتصال در گیرنده انسولین و مونتاژ فرم ذخیره هگزامریک هورمون است، اما تمام ویژگی‌های

ساختاری دیگر انسولین مهره‌داران از جمله زنجیره A و الگوهای پیوند دی‌سولفید متعارف را حفظ نموده است (۲۲۸). کونوانسولین G1، شامل دو زنجیره پپتیدی متفاوت است که بوسیله دو پیوند دی‌سولفیدی بین زنجیره‌ای به هم پیوند می‌یابند (۲۲۹). همانگونه که اشاره گردید، ساختار Cons-Ins-G1، بسیار شبیه به انسولین‌های پستانداران است با این تفاوت که یک قطعه ۱۰ اسید آمینه‌ای در N- ترمینال زنجیره دوم که یک ساختار β - رشته‌ای برای انسولین‌های پستانداران تشکیل می‌دهد را از دست داده است. نکته قابل توجه این است که Con-Ins G1، گیرنده انسولین انسانی را فقط با ۱۰ برابر فعالیت کمتر از انسولین انسانی فعال می‌کند (۲۲۹).

	ساختار
MTTSSYFLLM ALGLLLYVCQ SSFGNQHTRT FDKPKHRCGS EIT-NSYMDLC YRKRNDAGEK RGRASPLWQR RGLSKLKR AKNR-GAFHLP RDGRGVVEHC CHRPCSNAEF KKYCG	توالی
۱۱۵	طول توالی
۱۳۱۳۴	جرم توالی (Da)
۵۰۳۰/۱	جرم ملکولی (Da) توسط ESI
G1 کونوانسولین	کونوانسولین
UniProtKB - A0A0B5AC95 (INS1A_CONGE)	منبع

شکل ۳۷) ساختار و برخی خصوصیات توالی و جرمی کونوانسولین G1 (منبع: یونیپروت).

Fig 37) Structure and some sequence and mass properties of Con-Ins G1 (Source: UniProt).

می‌نمایند. نشان داده شده است که کوانسولین‌ها، گلوکز خون را در مدل دیابت ناشی از استرپتوزوتوسین بر زبرافیش و موش کاهش می‌دهند (۲۳۰). این کوانسولین‌های جدید، می‌توانند یک داربست جدید

با وجود فقدان بقایای زنجیره B معادل، کونوانسولین‌های مونومریک K_1 , T_2 , T_1A , TIB , G_3 و G_1 و K_2 به شدت به ایزوفریم B گیرنده انسولین انسانی متصل می‌گردند و سیگنالینگ گیرنده را فعال

اخیراً، کونورفامید-Sr3 (CNF-Sr3)^{۲۴۶}، از ونوم کونوس اسپوریوس توسط لویز-ورا (López-Vera) و همکاران، جداسازی و نشان داده شد که یک اثر مهاری وابسته به دوز روی کانال پتاسیمی شاکر^{۲۴۷} دارد (۵۵). کانال‌های پتاسیمی دریچه-ولتاژ، در سیگنالینگ سلولی، از رژنراسیون پتانسیل‌های عمل در نورون‌ها گرفته تا تنظیم ترشح انسولین در سلول‌های پانکراس در پستانداران، نقش مهمی را ایفاء می‌نمایند (۲۳۲). کونورفامید-Sr3، از نظر توالی دارای شباهت بالایی با CNF-Sr1 و CNF-Sr2 است. تزریق این کونورفامید به موش، موجب بیش‌فعالی در آن‌ها گردیده است (۲۳۴). بخش C-ترمینال کونورفامید-Sr3، فاقد بقایای سیستمین، شبیه تتراپپتید Phe-Met-Arg-Phe-NH₂ محرک قلبی نرم‌تنان حلزونی است که در ابتدا در کلاس بیوالویا^{۲۴۸} شاخه مولوسکا و پس از آن در دیگر شاخه‌های بی‌مهرگان و مهره داران یافت گردید (۲۳۵). در مطالعه کمپوس-لیرا و همکاران، کونورفامید-Sr3، موجب مهار کانال‌های پتاسیمی وابسته به ولتاژ و زیر گروه شاکر بر روی خانواده دروزوفیلا^{۲۴۹} گردید لکن تأثیر قابل‌ملاحظه‌ای بر سایر خانواده‌های اصلی کانال‌های پتاسیمی ولتاژ-فعال (Shal, Shaw, Shab) و Eag) نداشت (۲۳۲).

در پستانداران، حداقل ۴۰ ژن وجود دارد که کانال‌های پتاسیمی ولتاژ-دریچه دار را کدگذاری می‌کنند. با توجه به تنوع بسیار زیاد این کانال‌ها و استفاده اثبات شده از کونوتوکسین‌ها به عنوان ابزاری برای تشخیص کانال‌های یونی مختلف لیگاند و ولتاژ دردار^{۲۵۰}، بررسی اثر احتمالی CNF-Sr3 بر چهار زیرگروه همولوگ

برای طراحی یک کلاس بهبود یافته از آنالوگ‌های مقلد انسولین انسانی درمانی، با عمل یکپارچه و سریع ذاتی باشند (۲۳۱).

پپتیدهای آرفامید

کونورفامیدها، دارای شباهت توالی زیادی با تتراپپتید آرفامید^{۲۴۰} (Phe-Met-Arg-Phe-NH₂)، محرک قلبی نرم‌تنان (FMRFamide) و سایر پپتیدهای مرتبط با FMRF هستند که در شاخه‌های مختلف بی‌مهرگان و مهره‌داران یافت می‌شوند (۲۳۲). کونورفامیدها دارای پلی‌فارماکولوژی هستند (۲۳۳).

کونورفامیدهای Sr1^{۲۴۱} و Sr2^{۲۴۲} از کونوس اسپوریوس^{۲۴۳} از اولین کونوپپتیدهای کشف شده از یک گونه کونوس شکارگر کرم آتلانتیک بودند (۲۳۲). در مطالعه کمپوس-لیرا (Campos-Lira)، نشان داده شد که کونورفامید-Sr1، یک هایپراکتیویته مشابه با نوروپپتید FMRF-NH₂، در موش ایجاد می‌نماید. همچنین، تزریق کونورفامید-Sr2 به موش، فعالیت‌های پارالیتیک در لیمپت پاتلا اوپنا^{۲۴۴} و هایپراکتیویته در حلزون‌های آب شیرین پوماسه پالودوزا^{۲۴۵} مشاهده شد. کونورفامید-Sr2 به توالی نوروپپتیدهای آرفامید نرم‌تنان دریایی و آب شیرین شباهت دارد که می‌توان فعالیت‌های بیولوژیکی آن را در مقابل نرم‌تنان توجیه نمود. همچنین توالی کونورفامید-Sr2، بسیار شبیه به نوروپپتیدهای آرفامید از پلی‌کته‌ها، طعمه‌های کونوس اسپوریوس است و نقش اکولوژیکی قابل قبولی را در شکار فراهم می‌نماید (۲۳۲).

²⁴⁶ Conorfamide- Sr3

²⁴⁷ Shaker

²⁴⁸ Bivalvia

²⁴⁹ Drosophila

²⁵⁰ Ligand- and Voltage-Gated Ion Channels

²⁴⁰ RFamide

²⁴¹ Cono-RFamide-Sr1

²⁴² Cono-RFamide-Sr2

²⁴³ *Conus spurius*

²⁴⁴ Limpet Patella Opea

²⁴⁵ *Pomacea paludosa*

که فاقد بقایای Cys باشند و بیشتر آن‌ها پپتیدهای حاوی دی‌سولفید هستند (۲۴۱ و ۲۴۲). بر اساس مطالعه لوپز-ورا و همکاران، CNF-Sr3 قادر است کانال‌های Kv1.6 و Kv1.3 انسانی را به همان اندازه کونوتوکسین‌ها یا کونوپپتیدهای گزارش شده پیشین، مهار نماید (۵۵).

یکی از علل تمایل نسبتاً کم این توکسین در برابر کانال‌های Kv1، ممکن است استفاده از کانال‌های پتاسیمی پستانداران در مطالعات باشد (۲۴۳). حتی اگر CNF-Sr3 میل نسبتاً کمی به کانال‌های Kv1 انسانی داشته باشد، توالی کوتاه آن که متشکل از ۱۵ باقیمانده اسید آمینه، بدون بقایای سیستمین است، در مقایسه با سایر کونوتوکسین‌ها یا کونوپپتیدهای با متوسط ۲۵ اسید آمینه در طول چهار تا هشت باقیمانده سیستمین، ممکن است اجازه دهد که به عنوان یک ابزار مولکولی مفید برای روشن کردن نقش کانال‌های Kv1.6 و Kv1.3 در انسان و سایر گونه‌های پستانداران و یا به‌عنوان داربست برای طراحی و سنتز مولکول‌های پروب اختصاصی‌تر برای این کانال‌ها ایفای نقش نماید (۵۵). برخی کونورفامیدها و خصوصیات توالی و جرمی آن‌ها در جدول (۸) آورده شده است.

کانال پتاسیمی ولتاژ دردار کانال شاکر، از اهداف مطالعه لوپز-ورا و همکاران بود. از نتایج این مطالعه، میل ترکیبی بالای CNF-Sr3 به‌ترتیب برای زیرگروه‌های Kv1.6 و Kv1.3 نسبت به Kv1.4 و Kv1.5 بود و پیشنهاد گردید که این کونورفامید ممکن است به یک پروب مولکولی جدید برای مطالعه جنبه‌های مختلف کانال‌های Kv1.3 و Kv1.6 انسانی تبدیل گردد (۵۵). در پستانداران، هشت عضو مربوط به خانواده شاکر (Kv1.1 - Kv1.8) وجود دارد. جهش در برخی از این اعضاء منجر به بیماری‌های مختلفی در انسان می‌شود. تغییرات کانال Kv1.1، ممکن است موجب آتاکسیای اپیزودیک نوع ۱ شود (۲۳۶)؛ کانال Kv1.3 با بیماری مولتیپل اسکلروزیس، دیابت نوع ۱ و آرتریت روماتوئید مرتبط است (۲۳۷). مارتل (Martel) و همکاران، با ثبت الکتروشیمیایی در استریاتوم خلفی^{۲۵۱} موش صحرائی، نقش Kv1.2 و Kv1.6 را در انتشار دوپامین تأیید کردند (۲۳۸) و همچنین در برخی مطالعات نشان داده است که Kv1.4 و Kv1.5 با اثرات قلبی مرتبط هستند (۲۳۹ و ۲۴۰).

بر اساس مطالعات متعدد، تعداد انگشت‌شماری از کونوتوکسین‌ها یا کونوپپتیدها، از جمله CNF-Sr3 دارای فعالیت بر روی کانال‌های پتاسیمی وجود دارند

جدول (۸) برخی کونورفامیدها و خصوصیات توالی و جرمی آن‌ها (منبع: یونیپروت)			
یافته			عنوان
ATSGPMGWLP VFYRF	GPMPDPLEII RI	GPMGWVPVIFY RF	توالی
۱۵	۱۲	۱۲	طول توالی
۱۷۲۹	۱۳۸۳	۱۴۵۶	جرم توالی (Da)
۱۷۲۶/۷۷	۱۴۶۸/۷	۱۴۵۴/۸	جرم ملکولی (Da)
MALDI توسط	ESI توسط	ESI توسط	توسط ESI
Conorfamide- Sr3	Conorfamide-Sr2	Conorfamide-Sr1	کونورفامید
UniProtKB - P0DM28 (CRFA3_CONSP)		UniProtKB - P58805 (CRFA1_CONSP)	منبع

ASIC3 (۲۴۷)، توکسین MitTx مار مرجانی فعال‌کننده pan-ASIC (۲۴۸) و توکسین مار مامبالژینز^{۲۵۴} مهارکننده‌های ASIC1a و b1 (۲۴۹)، جهت هدف قرار دادن ASIC یافت شده‌اند. این توکسین‌ها در آشکار کردن عملکردهای فیزیولوژیکی و ساختار ASIC نقش مهمی داشته‌اند.

اخیراً، دو کونورفامید As1a- و As2a-، از حلزون مخروطی مکزیکی کونوس اوستینی^{۲۵۵} شناسایی شده‌اند (۲۳۳). خصوصیات فارماکولوژیکی این پپتیدها در مطالعه جین (Jin) و همکاران نشان داد که As2a جریان‌های ASIC1a را با EC₅₀ حدود ۱۰/۹ میکرومولار تقویت می‌کند؛ در حالی که تا ۲۰۰ میکرومولار As1a نیز تأثیر کمی بر جریان پیک دارد. فعالیت بر nAChR قوی‌ترین هدف شناخته شده کونورفامید تا به امروز است. به نظر می‌رسد که نقش اکولوژیکی بالقوه کونورفامیدها می‌تواند ایجاد افزایش درد یا ناراحتی در هنگام تزریق به شکارچیان با هدف قرار دادن ASICها و یا nAChRهای عضلانی باشد (۲۳۳).

کونوتوکسین‌های شبه-گرانولین^{۲۵۶}

ونومیکس کونوس مایلس، یک کونوتوکسین تحت عنوان "φMiXXVIIA"، متعلق به بالاخانواده بسیار جدید G2 را معرفی نمود (۲۵۰). کونوتوکسین φMiXXVIIA با چهارچوب XXVII، دارای هشت بقایای سیستمین (C-C-C-CCC-C-C) مشتمل بر سه بقایای نادر سیستمینی متوالی (CCC) و چهار پیوند دی‌سولفیدی هستند و یک توپولوژی منحصر به فرد را نشان می‌دهد که شامل دو β-hairpins شبیه به φ-دامنه N-ترمینال تنظیم‌کننده تکثیر سلولی گرانولین

در سال ۲۰۱۵، یک آرفامید شبه‌کونوتوکسین، تحت عنوان کونورفامید-Vc1^{۲۵۲}، از کونوس ویکتوریا کشف گردید. (۲۴۴). مشابه با کونورفامید-Sr1، تزریق دوزهای پایین کونورفامید-Vc1 به موش، موجب هایپراکتیویته و دوزهای بالاتر (۲۰-۲/۵ نانومول)، موجب ناتوانی کامل موش‌ها در ۲۰ دقیقه گردید. در ارزیابی فعالیت زیستی آن مشخص گردید که کونورفامید-Vc1، موجب نوسان در سطح یون کلسیم در طیف وسیعی از سلول‌های DRG عصبی و غیرعصبی می‌شود (۲۴۴).

هدف فارماکولوژیکی کونورفامیدها، با کشف کونورپرفامید Tx1.1^{۲۵۳} توسط ریمرز (Reimers) و همکاران مشخص گردید (۲۴۵). کونورپرفامید Tx1.1، به‌طور اختصاصی از طریق افزایش تحریک‌پذیری نوروهای حسی، موجب افزایش جریان‌های ASIC3 کانال یونی مخصوص گیرنده درد می‌گردد. کونورپرفامید Tx1.1 با وجود تعلق به خانواده مشابه آرفامید، کانال‌های سدیمی دریچه‌دار FMRFa را فعال نمی‌کند که اختصاصی بودن آن را برای کانال‌های ASIC3 تأیید می‌نماید. تمایل ده برابری به ASIC3 به FMRFamide، موجب می‌گردد که کونورپرفامید Tx1.1، قوی‌ترین آرفامید تعدیل‌کننده ASIC شناخته شده تاکنون باشد. توانایی RPRF-amide در افزایش درد عضلانی ناشی از اسید در موش‌ها از طریق فعال‌سازی زیرگروه‌های ASIC3 نشان می‌دهد که این پپتید می‌تواند ابزاری مفید برای مطالعه بیشتر نقش ASIC3 در درد باشد (۲۴۵). قابل ذکر است که تنها چهار توکسین رتیل PcTx1 مهارکننده ASIC1a (۲۴۶)، توکسین APETx2 شقایق دریایی بازدارنده

²⁵⁵ *Conus austini*

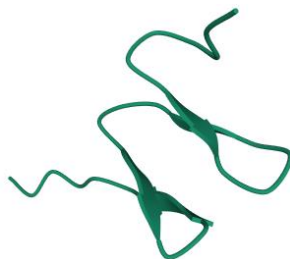
²⁵⁶ Granulin-Like

²⁵² Cono-RFamide-Vc1

²⁵³ RPRF-amide Tx1.1

²⁵⁴ Mambalgins

کولانژیوسیت^{۲۵۷} کبدی انسان H69 می‌گردد (۲۵۱). با وجود عدم عاملیت قوی تکثیر سلولی، لکن ϕ MiXXVIIA از مرگ سلولی آپوپتوتیک (۲/۲: EC₅₀ میکرومولار)، محافظت می‌کند (۲۵۰). کونوتوکسین‌های با فعالیت ضد آپپتوز بسیار نادر هستند. توکسین s-cal14.1a از کونوس کالیفورنیکوس نیز دارای فعالیت آپپتوز در حد میکرومولار در سلول‌های سرطانی ریه انسانی است.



MRFFLLTV ALFLTSITGD DAERMLGMKE GGYVREDCGS
DCMPCGGECC CEPNSCIDGT CHHESSPN

۶۸

۷۴۰۲

Conotoxin phi-MiXXVIIA

UniProtKB - A0A0E3SVE7 (CG2RA_CONMI)

ساختار

توالی

طول توالی

جرم توالی (Da)

جرم ملکولی (Da) توسط ESI

کونوتوکسین شبه-گرانولین

منبع

شکل ۳۸) ساختار روبانی سه-بعدی و توالی (منبع: UniProtKB).

Fig 38) Three-dimensional ribbon structure and ϕ -MiXXVIIA sequence of ϕ -MiXXVIIA (Source: UniProtKB).

شبه نوروپپتیدهای درون‌زا

با رویکردهای ونومیکس یکپارچه، لایه دیگری از تنوع کونوتوکسین‌ها آشکار شده است. برخی کونوتوکسین‌ها با ویژگی‌های ساختاری جدید فعالیت‌های جدیدی را نشان داده‌اند. در میان این موارد، شبه نوروپپتیدهای درون‌زا و یا هورمون‌ها هستند که نشانگر منشاء تکاملی آن‌ها است. در مطالعات پیشین، توالی شبه نوروپپتیدهایی چون کونوپرسین‌ها، کونوتولاکین‌ها و کونانتوکین‌های یافت شده در ونوم‌های حلزون مخروطی، مشخص شده‌اند (۱۶ و ۲۸). در سال‌های

A انسانی می‌باشد و یک فعالیت ملایم شبه‌گرانولینی برای این پپتید کشف شده است (۲۵۰).

ساختار ϕ -MiXXVIIA توسط طیف سنجی NMR تعیین شده است (شکل ۳۸). گرانولین A، یک فاکتور رشد اجدادی است که در ترمیم زخم نقش دارد. همچنین، نشان داده شده است که ϕ -MiXXVIIA با EC₅₀ حدود ۱۷/۸۵ میکرومولار، موجب پرولیفراسیون سلولی هر چند نه چندان قوی در رده سلولی

یک پپتید HVc7.2 از بالاخانواده-H از کونوس ویکتوریا با ساختاری شبیه به ناحیه N-ترمینال پروتئین گرانولین انسانی گزارش شده است که علی‌رغم داشتن اتصالات معمولی ICK (-CysIV/CysII-) CysI CysV/CysIII-CysVI)، از چهارچوب سیستمین VI/VII، یک فولد شبه گرانولین به دست آورده است. دامنه C-ترمینال α D-GeXXA نیز دارای یک فولد گرانولین است (۲۵۲). موارد مذکور، نشان می‌دهد که ساختارهای شبه‌گرانولینی، ممکن است در توکسین‌ها وجود داشته باشند.

پلانوربیس، زیرگروه ۱/۶ Kv را با میل ترکیبی بسیار بالاتری نسبت به CNF-Sr3، مسدود می‌کنند (۲۵۳). و خصوصیات توالی و جرمی این کونوپتیدها در جدول (۹) آورده شده است.

اخیر، چندین کلاس جدید از مولکول‌های شبه نوروپتیدی یا هورمونی در حلزون‌های مخروطی با هدف قرار دادن فرایندهای نورواندوکرینی کشف شده‌اند. کونوپتیدهای CPY-Fe1 جدا شده از کونوس فروژینوئس و CPY-PI1، فرم جدا شده از کونوس

جدول ۹) کونوپتیدهای CPY-Fe1 و CPY-PI1، و خصوصیات توالی و جرمی آن‌ها (منبع: یونیپروت)		
عنوان	یافته	
توالی	MSKLGVVLFV FLLLLPLAAP QPVGDPADQ PADRNAEARG TY-LYPFSYYR LWRYFTRFLH KQPYVVVHI	MSKLGVVLFV FLLLLPLAAP QPVGDPADQ PADRNAEARA RFLHPFQYYT LYRYLTRLFLH RYPIY-YIRY
طول توالی	۶۹	۶۹
جرم توالی (Da)	۸۱۸۴	۸۲۳۶
جرم ملکولی (Da) توسط ESI	۴۰۴۰/۱	۴۰۹۲/۱
کونوپتیدها	Conopeptide Y-Fe1	Conopeptide Y-PI1
منبع	UniProtKB - B3SVF1(CPY1_CONFR)	(CPY1_CONPO) UniProtKB - B3SVF0

ونومیکس یکپارچه^{۲۵۸}

آنالیز ترانسکریپتومیکس از مجاری ونوم حلزون‌های مخروطی، منجر به افزایش چشمگیری از توالی رونویسی کونوتوکسین شده است. اصطلاح "ونومیکس یکپارچه"، مطالعه سیستماتیک پروفایل توکسین‌های کل ونوم و مجاری ونوم را با ادغام ترانسکریپتومیکس، پروتئومیکس و بیوانفورماتیکس، تشریح می‌نماید (۲۵۴ و ۲۵۵). این رویکرد، یک روش بسیار قدرتمند است زیرا توالی نسل بعدی می‌تواند پیش‌سازها و همچنین انواع نادر را تشخیص دهد که از طریق پروتئومیکس کلاسیک تنها امکانپذیر نمی‌باشد (۲۵۶). این روش، همراه با طیف‌سنجی جرمی با حساسیت بالا، سطح جدیدی از تنوع کونوتوکسین را نشان داده است (۱۵۶ و ۲۵۷).

ترانسکریپتومیکس

ظهور فناوری‌های توالی‌یابی با توان بالا، نظیر سیستم عامل‌های ۴۵۴ جی‌اس اف‌ال‌ایکس تیتانیوم (روش) (۲۵۹)، سولکسا GAI (ایلومینا) (۲۶۰)، آپی‌جی سالید ۳ (لایف) (۲۶۱)، سولکسا جی‌اس اف‌ال‌ایکس تیتانیوم (روش) (۲۶۲)، یا هلیسکوپ (هلیکوس بیوساینسیس) (۲۶۳)، موجب تحول در مطالعات ترانسکریپتومیکس گردید. تا سال ۲۰۱۷، رونویسی از مجاری زهر ۳۰ گونه (۵ شکارگر ماهی، ۴ شکارگر نرم‌تن و ۲۰ شکارگر کرم) و نیز کونوس کالیفورنیایکوس توالی‌بندی شده و یک مجموعه داده (۳۰) قطعه ۷۵۰ تایی WoRMS در whole jigsaw: <http://www.marinespecies.org/>، از کل حلزون‌های مخروطی جهان را تشکیل داده‌اند.

بین سال‌های ۲۰۰۸ تا ۲۰۱۳، پلتفرم پیروسکوئسنسینگ Roche 454، به‌طور گسترده‌ای مورد استفاده قرار

²⁶¹ APG SOLiD 3 (Life)

²⁶² Solexa GS FLX Titanium (Roche)

²⁶³ HeliScope (Helicos Biosciences)

²⁵⁸ Integrated venomcs

²⁵⁹ 454 GS FLX Titanium (Roche)

²⁶⁰ Solexa GAI (Illumina)

ایجاد می‌نمایند که برای بررسی کامل پتانسیل آن‌ها به یک پشتیبانی بیوانفورماتیکی نیاز است (۲۶۵).
 برای بهبود دقت شناسایی توالی و طبقه‌بندی خودکار و طبقه‌بندی بالا خانواده‌های کوتوتوکسین در کنار ابزارهای موجود کونوسور (۷۵)، کونوسورتر^{۲۶۴} (۲۶۶)، کونودیکتور^{۲۶۵} (۲۶۷)، از متدولوژی‌های دیگر با استفاده از رویکردهای *in silico*، و نمایش‌های ریاضی یک پپتید استفاده می‌گردد (۲۶۸). از بین روش‌های آزمایش شده (بلاست^{۲۶۶}، پیش‌بین ایزورت^{۲۶۷}، حداقل الگوریتم فاصله عملگر^{۲۶۸}، حداقل الگوریتم فاصله اقلیدسی^{۲۶۹} و ماشین‌های بردار پشتیبان چند گروهی (SVM)^{۲۷۰})، با یک صحت عملکرد کلی ۸۸ درصدی، پیش‌بینی‌های صحیحی از دسته آزمون‌هایی چون بالاخانواده‌های A، M و O را داشتند. همچنین، یک رویکرد مبتنی بر ویژگی (PredCSF) (۲۶۹)، پیش‌بینی با استفاده از کاهش ابعاد نقشه نفوذ و یک طبقه‌بندی زیر فضا (dHKNN) (۲۷۰)، توزیع دو جمله‌ای و روش شبکه عملکرد شعاعی (۲۷۱)، و پیش‌بین مبتنی بر توالی (نوع-ICTX)، به ترتیب دقت‌های ۹۱، ۹۲، ۸۶ و ۹۱ درصد پیش‌بینی دقیق را ارائه می‌دهند (۲۳۹).

به‌طور کلی، به‌نظر می‌رسد که در رویه‌های *in silico* می‌توان با موفقیت با تدوین‌های دستی و تفسیری رقابت کرد، اگرچه ریاضیات پیچیده‌ای که در آن‌ها وجود دارد احتمالاً از استفاده گسترده آن‌ها جلوگیری می‌کند. اخیراً، برخی از آن‌ها در وب سرورهای کاربرپسند در دسترس قرار گرفته‌اند (۲۳۹). ابزارهای یادگیری ماشین^{۲۷۱} نیز جهت طبقه‌بندی کوتوتوکسین‌ها به بالاخانواده‌های خود، بکار رفته‌اند (۵۸). کونوس

گرفت و درک دانشمندان را در مورد تنوع ونوم، فرایندهای پس ترجمه‌ای و مکانیسم‌های کوتوتوکسین، افزایش داد (۲۵۸). به‌طور کلی، پلتفرم ۴۵۴، در یک اجرا تا ۷۵۰/۰۰۰ برچسب توالی بیان شده (EST) را در مقایسه با تنها حدود ۸۹۷ EST تولید شده توسط توالی سنگر، ایجاد نموده است (۲۵۹). ترانسکریپتوم مجاری زهر بسیاری از گونه‌های حلزون مخروطی، از کونوس ژئوگرافوس کشنده (۵۱ و ۲۶۰)، تا کونوس گلوریاماریس زیبا (۲۶۱)، کونوس تولیپای ماهی‌خوار (۲۵۶)، کونوس مرمئوس نرم‌تن‌خوار (۹۱)، کونوس ایمپریالیس کرم‌خوار (۲۶۲) تا کونوس کالیفرنیکوس رفتگر (۲۵۸) مورد مطالعه قرار گرفته‌اند. به‌طور متوسط، بیش از ۱۰۰ توالی کوتوتوکسین در سطح توالی ژنی و بیش از ۱۰۰۰ کوتوتوکسین در سطح پپتیدی، برای هر گونه مشخص شده‌است (۱۶، ۲۰، ۱۵۶ و ۲۵۷).

پروتئومیکس

پروتئومیکس در کشف توانایی تغییر شکل بین ترکیبات مختلف ونوم حلزون‌های مخروطی در حمله و دفاع، نقش اصلی را بازی نمود (۲۵۴). در مطالعه دوترتر و همکاران، ونوم القاء شده از شکار دو نمونه کونوس ایمپریالیس، ارتباط بسیار زیادی بین رونویسی و ترجمه کوتوتوکسین‌های بیان شده را نشان داد (۵۱).

اخیراً، در کنار ابزارهای موجود، متدولوژی‌های مختلفی برای بهبود صحت تعیین توالی و طبقه‌بندی اتوماتیک درون بالاخانواده‌ها توسعه یافته‌اند (۵۸ و ۲۶۳). فناوری‌های پر توان مورد استفاده در ونومیکس به ویژه ترانسکریپتومیکس (۲۶۴)، مجموعه داده‌های بزرگی را

²⁶⁸ least Hamming distance algorithm

²⁶⁹ least Euclidean distance algorithm

²⁷⁰ multiclass support vector machines

²⁷¹ Machine learning

²⁶⁴ ConoSorter

²⁶⁵ ConoDicator

²⁶⁶ Blast

²⁶⁷ ISort predictor

کونوپیتیدهای مختلفی چون α -کونوتوکسین‌ها، σ -کونوتوکسین‌ها، ω -کونوتوکسین‌ها، μ -کونوتوکسین‌ها، ψ -کونوتوکسین‌ها، τ -کونوتوکسین‌ها، δ -کونوتوکسین‌ها و κ -کونوتوکسین‌ها، کونکونیتزین‌ها، کوناتوکین‌ها، کونتریفان‌ها، کونوتوکسین‌های Ac1، کونوانسولین‌ها، کونوتوکسین‌های شبه-گرانولین از کونوئیدها؛ اوگریپتیدها از ونوم‌پیتیدهای خانواده تربریده؛ توریپتیدها از ونوم‌پیتیدهای خانواده توریده؛ کراسیپتیدها، ونوم‌پیتیدهای حلزون‌های کراسیپیریده؛ کلاتورلیپتیدها از ریز کونوئیدهای زهر آگین و ترکیبات دیگری چون پیتیدهای آرفامید و شبه‌نوروپیتیدهای درون‌زا در زهر مخروطی‌ها دیده شده است که عمکردهای زیستی شگفت‌انگیزی را نشان داده‌اند. از آنجا که چندین کونوپیتید در کارآزمایی‌های بالینی مورد ارزیابی قرار گرفته‌اند و همچنین با توجه به مورد تأیید قرارگرفتن ω -کونوتوکسین MVIIA، به‌عنوان یک داروی ضد درد زیکونیتاید (Prialt®)، نیاز به تولید بیشتر کونوپیتیدها، افزایش یافته است. این پتانسیل زیست پزشکی کونوپیتیدها است که تحقیقات فعلی در زمینه خصوصیات آن‌ها را به خود معطوف داشته است و با این روند محتمل است که کونوپیتیدهای بیشتری با خواص فارماکولوژیکی شگفت‌انگیز، کشف شوند. با توجه به ماهیت بسیار قوی و انتخابی کونوتوکسین‌ها، در طیف وسیعی از گیرنده‌ها، می‌توانند به‌عنوان عوامل درمانی نوظهوری پدیدار شوند. پیشرفت‌های عمده‌ای با استفاده از رویکردهای ونومیکس یکپارچه صورت گرفته است که سرعت کشف توالی‌های کونوتوکسین بیان شده را به طرز چشمگیری افزایش داده است. امید است که با درک بهتر و شناسایی کونوتوکسین‌ها و سایر

پایپ^{۲۷۲}، ابزاری جدید که سه مدل یادگیری ماشینی رگرسیون لجستیک، یادگیری نیمه نظارت شده و شبکه عصبی مصنوعی را یکپارچه کرده و توالی کونوتوکسین از ترانسکریپتوم‌های غدد زهری ۱۰ گونه مختلف کونوس را با دقت کلی ۹۶-۹۸ درصد، بازیابی نموده است (۲۷۲).

اخیراً، رزونانس مغناطیسی هسته‌ای (NMR)، برای شناسایی برجسب‌های^{۲۷۳} توالی کوتاه، مورد استفاده قرار گرفته است که می‌تواند برای بازیابی سریع توالی پیتیدهای تمام قد، از پایگاه داده ترانسکریپتوم استفاده شود. در این روش که صرفه‌جویی در نمونه است، نیازی به دستکاری قبلی نمونه همچون هضم پروتئازی و نظایر آن نمی‌باشد (۲۶۳).

نتیجه‌گیری

ونوم‌های مخروطی‌ها، به‌طور انحصاری در یک مجرای لوله‌ای طویل، در غده زهری تولید می‌شوند و یک کوکتلی از پیتیدهای کوتاه متعدد کونوتوکسین تشکیل می‌دهند که کانال یا گیرنده‌های عصبی عضلانی طعمه و یا هورمون‌ها را مهار و موجب تداخل در سیگنال‌های انتقالی طعمه می‌گردند. حلزون‌های مخروطی، توانایی شگفت‌انگیزی برای جابجایی سریع بین دو نوع مختلف از ترکیبات ونوم در پاسخ به محرک‌های شکاری یا دفاعی دارا می‌باشند. برآورد می‌شود که در ونوم‌های حلزون مخروطی زنده، بیش از ۵۰۰۰۰ پیتید مختلف وجود داشته باشد. انواع مختلفی از حلزون‌های مخروطی وجود دارند و هر نوع حلزون مخروطی دارای توکسین‌های مختلفی می‌باشد تعداد به روز شده از همه چهارچوب‌های پیتیدی کونوس، در وب سایت کونوسرور نگهداری می‌شود. کونوتوکسین‌ها و

تضاد منافع

هیچ‌گونه تعارض منافع توسط نویسندگان بیان نشده است.

توکسین‌های به‌دست آمده از حلزون‌ها و سایر شکم‌پایان در درمان بیماری‌هایی که بشر در برابر آن‌ها تسلیم شده است، مورد استفاده قرار گیرند.

این مقاله تحت حمایت مالی هیچ سازمان یا مؤسسه‌ای نمی‌باشد.

References:

1. Olivera BM, Watkins M, Bandyopadhyay P, et al. Adaptive Radiation Of Venomous Marine Snail Lineages And The Accelerated Evolution Of Venom Peptide Genes. *Ann N Y Acad Sci* 2012; 1267: 61-70.
2. Tu AT, editor. *Handbook Of Natural Toxins. Vol 3. Marine Toxins And Venoms.* New York: Marcel Dekker Inc, 1988.
3. Pimm SL, Jenkins CN, Abell R, et al. The Biodiversity Of Species And Their Rates Of Extinction, Distribution, And Protection. *Science* 2014; 344(6187): 1246752.
4. Bouchet P, Lozouet P, Maestrati P, et al. Assessing The Magnitude Of Species Richness In Tropical Marine Environments: High Numbers Of Molluscs At A New Caledonia Site. *Biol J Linn Soc* 2002; 75(4): 421-36.
5. Bouchet P, Kantor YI, Sysoev A, et al. A New Operational Classification Of The Conoidea (Gastropoda). *J Molluscan Stud* 2011; 77(3): 273-308.
6. Cone snails. Queensland Museum. (Accessed January 12, 2021, at <https://www.qm.qld.gov.au/Find+out+about/Animals+of+Queensland/Molluscs/Venomous+marine+snails/Cone+snails>).
7. Olivera BM, Rivier J, Clark C, et al. Diversity Of Conus Neuropeptides. *Science* 1990; 249(4966): 257-63.
8. Grandal M, Hoggard M, Neely B, et al. Proteogenomic Assessment Of Intraspecific Venom Variability: Molecular Adaptations In The Venom Arsenal Of *Conus Purpurascens*. *Mol Cell Proteomics* 2021; 20: 100100.
9. Tucker JK, Tenorio MJ. *Illustrated Catalog Of The Living Cone Shells.* Wellington FL, USA: MDM Publishing, 2013, 517.
10. Terlau H, Olivera BM. Conus Venoms: A Rich Source Of Novel Ion Channel-Targeted Peptides. *Physiol Rev* 2004; 84(1): 41-68.
11. Olivera BM. Conus Venom Peptides: Reflections From The Biology Of Clades And Species. *Ann Rev Ecol Syst* 2002; 33: 25-47.
12. Olivera BM, Teichert RW. Diversity Of The Neurotoxic Conus Peptides: A Model For Concerted Pharmacological Discovery. *Mol Interv* 2007; 7(5): 251-60.
13. Fish-eating species. (Accessed February 10, 2021, at https://www.qm.qld.gov.au/Explore/Find+out+about/Animals+of+Queensland/Molluscs/Venomous+marine+snails/~link.aspx?_id=02E6FB8580544832BF61E5CF3D038532&_z=z).
14. Queensland Mollusc, 2021. Mollusc-eating species. (Accessed February 10, 2021, at <https://www.qm.qld.gov.au/Find+out+about/Animals+of+Queensland/Molluscs/Venomous+marine+snails/Cone+snails/Mollusc-eating+species>).
15. Queensland Worm, 2021. Worm-eating species. (Accessed March 20, 2021, at <https://www.qm.qld.gov.au/Find+out+about/Animals+of+Queensland/Molluscs/Venomous+marine+snails/Cone+snails/Worm-eating+species>).
16. Akondi KB, Muttenthaler M, Dutertre S, et al. Discovery, Synthesis, And Structure Activity Relationships Of Conotoxins. *Chem Rev* 2014; 114(11): 5815-47.
17. Hu H, Bandyopadhyay PK, Olivera BM, et al. Characterization Of The *Conus Bullatus* Genome And Its Venom-Duct Transcriptome. *BMC Genomics* 2011; 12: 60.
18. Biass D, Dutertre S, Gerbault A, et al. Comparative Proteomic Study Of The Venom Of The Piscivorous Cone Snail *Conus Consors*. *J Proteomics* 2009; 72(2): 210-8.
19. Calderon-Celis F, Cid-Barrio L, Encinar JR, et al. Absolute Venomics: Absolute Quantification Of Intact Venom Proteins Through Elemental Mass Spectrometry. *J Proteomics* 2017; 164: 33-42.

20. Pennington MW, Czerwinski A, Norton RS. Peptide Therapeutics From Venom: Current Status And Potential. *Bioorg Med Chem* 2018; 26(10): 2738-58.
21. Robinson SD, Li Q, Bandyopadhyay PK, et al. Hormone-Like Peptides In The Venoms Of Marine Cone Snails. *Gen Comp Endocrinol* 2017; 244: 11-18.
22. Dutertre S, Jin AH, Alewood PF, et al. Intraspecific Variations In The Defence-Evoked Venom Of *Conus geographus* And Estimation Of The Human Lethal Dose. *Toxicon* 2014; 91: 135-44.
23. Shaw HON. On The Anatomy Of *Conus tulipa* And *Conus textile*, Linn. *Q J Microsc Sci* 1914; 60: 1-60.
24. Hermitte LCD. Venomous Marine Molluscs Of The Genus *Conus*. *Trans R Soc Trop Med Hyg* 1946; 39: 485-512.
25. Endean R, Duchemin C. The Venom Apparatus Of *Conus magus*. *Toxicon* 1967; 4(4): 275-84.
26. Whysner JA, Saunders PR. Studies On The Venom Of The Marine Snail *Conus californicus*. *Toxicon* 1963; 1(3): 113-22.
27. Safavi-Hemami H, Young ND, Williamson NA, et al. Proteomic Interrogation Of Venom Delivery In Marine Cone Snails: Novel Insights Into The Role Of The Venom Bulb. *J Proteome Res* 2010; 9(11): 5610-9.
28. Lewis RJ, Dutertre S, Vetter I, et al. *Conus* Venom Peptide Pharmacology. *Pharmacol Rev* 2012; 64(2): 259-98.
29. Whyte JM, Endean R. Pharmacological Investigation Of The Venoms Of The Marine Snails *Conus Textile* And *Conus geographus*. *Toxicon* 1962; 1(1): 25-31.
30. Marshall J, Kelley WP, Rubakhin SS, et al. Anatomical Correlates Of Venom Production In *Conus californicus*. *Biol Bull* 2002; 203(1): 27-41.
31. Marsh H. The Radular Apparatus Of *Conus*. *J Molluscan Stud* 1977; 43(1): 1-11.
32. Dutertre S, Lewis RJ. Cone Snail Biology, Bioprospecting And Conservation. In: Gotsiridze-Columbus NS, editors. *Snails: Biology, Ecology And Conservation*. New York: Nova Science Publisher, 2011, 85-105.
33. Tucker JK, Tenorio MJ. Systematic Classification Of Recent And Fossil Conoidean Gastropods. Hackenheim: ConchBooks, 2009.
34. Kohn AJ, Nishi M, Pernet B. Snail Spears And Scimitars: A Character Analysis Of *Conus* Radular Teeth. *J Molluscan Stud* 1999; 65(4): 461-81.
35. Nishi M, Kohn AJ. Radular Teeth Of Indo-Pacific Molluscivorous Species Of *Conus*: A Comparative Analysis. *J Molluscan Stud* 1999; 65(4): 483-97.
36. Marsh H. The Foregut Glands Of Vermivorous Cone Shells. *Aust J Zool* 1971; 19(4): 313-26.
37. Biggs JS, Olivera BM, Kantor YI. Alpha-Conopeptides Specifically Expressed In The Salivary Gland Of *Conus pulicarius*. *Toxicon* 2008; 52(1): 101-5.
38. Schultz MC. A Correlated Light And Electron Microscopic Study Of The Structure And Secretory Activity Of The Accessory Salivary Glands Of The Marine Gastropods, *Conus flavidus* And *C. vexillum* (Neogastropoda, Conacea). *J Morphol* 1983; 176(1): 89-111.
39. Miller JA. The Toxoglossan Proboscis Structure And Function. *J Molluscan Stud* 1989; 55(2): 167-81.
40. Green BR, Bulaj G, Norton RS. Structure And Function Of M-Conotoxins, Peptide-Based Sodium Channel Blockers With Analgesic Activity. *Future Med Chem* 2014; 6(15): 1677-98.
41. James D, Prator CA, Martin GG, et al. Morphology Of Sensory Papillae On The Feeding Proboscis Of Cone Snails (Mollusca, Gastropoda). *Invertebr Biol* 2014; 133(3): 221-31.
42. Schulz JR, Norton AG, Gilly WF. The Projectile Tooth Of A Fish-Hunting Cone Snail: *Conus Catus* Injects Venom Into Fish Prey Using A High-Speed Ballistic Mechanism. *Biol Bull* 2004; 207(2): 77-9.
43. Salisbury SM, Martin GG, Kier WM, et al. Venom Kinematics During Prey Capture In *Conus*: The Biomechanics Of A Rapid Injection System. *J Exp Biol* 2010; 213(5): 673-82.
44. Terlau H, Shon KJ, Grilley M, et al. Strategy For Rapid Immobilization Of Prey By A Fish-Hunting Marine Snail. *Nature* 1996; 381(6578): 148-51.
45. Han TS, Teichert RW, Olivera BM, et al. *Conus* Venoms-A Rich Source Of Peptide-Based Therapeutics. *Curr Pharm Des* 2008; 14(24): 2462-79.

46. Liu L, Chew G, Hawrot E, et al. Two Potent Alpha3/5 Conotoxins From Piscivorous *Conus achatinus*. *Acta Biochim Biophys Sin* (Shanghai) 2007; 39(6): 438-44.
47. Gowd KH, Dewan KK, Iengar P, et al. Probing Peptide Libraries From *Conus achatinus* Using Mass Spectrometry And Cdna Sequencing: Identification Of Delta And Omega-Conotoxins. *J Mass Spectrom* 2008; 43(6): 791-805.
48. Olivera BM, Gray WR, Zeikus R, et al. Peptide Neurotoxins From Fish-Hunting Cone Snails. *Science* 1985; 230(4732): 1338-43.
49. Abalde S, Tenorio MJ, Afonso CML, et al. Conotoxin Diversity In *Chelyconus ermineus* (Born, 1778) And The Convergent Origin Of Piscivory In The Atlantic And Indo-Pacific Cones. *Genome Biol Evol* 2018; 10(10): 2643-62.
50. Dutertre S, Biass D, Stöcklin R, et al. Dramatic Intraspecimen Variations Within The Injected Venom Of *Conus consors*: An Unsuspected Contribution To Venom Diversity. *Toxicon* 2010; 55(8): 1453-62.
51. Dutertre S, Jin AH, Vetter I, et al. Evolution Of Separate Predation- And Defence-Evoked Venoms In Carnivorous Cone Snails. *Nat Commun* 2014; 5: 3521.
52. Phuong MA, Mahardika GN. Targeted Sequencing Of Venom Genes From Cone Snail Genomes Improves Understanding Of Conotoxin Molecular Evolution. *Mol Biol Evol* 2018; 35(5): 1210-24.
53. Pardos-Blas JR, Irisarri I, Abalde S, et al. Conotoxin Diversity In The Venom Gland Transcriptome Of The Magician's Cone, *Pionoconus magus*. *Mar Drugs* 2019; 17(10): 553.
54. Puillandre N, Duda TF, Meyer C, et al. One, Four Or 100 Genera? A New Classification Of The Cone Snails. *J Molluscan Stud* 2015; 81(1): 1-23.
55. López-Vera E, Martínez-Hernández L, Aguilar MB, et al. Studies Of Conorfamide-Sr3 On Human Voltage-Gated Kv1 Potassium Channel Subtypes. *Mar Drugs* 2020; 18(8): 425.
56. Lebbe EK, Tytgat J. In The Picture: Disulfide-Poor Conopeptides, A Class Of Pharmacologically Interesting Compounds. *J Venom Anim Toxins Incl Trop Dis* 2016; 22: 30.
57. Qiuyun D. Progress In Toxicology And Pharmacology Of Conotoxins. *Chin J Pharmacol Toxicol* 2016; 12(30): 1397-410.
58. Mansbach RA, Travers T, McMahon BH, et al. Snails In Silico: A Review Of Computational Studies On The Conopeptides. *Mar Drugs* 2019; 17(3): 145.
59. Buczek O, Bulaj G, Olivera BM. Conotoxins And The Posttranslational Modification Of Secreted Gene Products. *Cell Mol Life Sci* 2005; 62(24): 3067-79.
60. Stanley TB, Stafford DW, Olivera BM, et al. Identification Of A Vitamin K-Dependent Carboxylase In The Venom Duct Of A *Conus* Snail. *FEBS Lett* 1997; 407(1): 85-8.
61. Craig AG, Norberg T, Griffin D, et al. Contulakins, An O-Glycosylated Invertebrate Neurotensin. *J Biol Chem* 1999; 274(20): 13752-9.
62. Grant MA, Morelli XJ, Rigby AC. Conotoxins And Structural Biology: A Prospective Paradigm For Drug Discovery. *Curr Protein Pept Sci* 2004; 5(4): 235-48.
63. Daly NL, Craik DJ. Structural Studies Of Conotoxins. *IUBMB Life* 2009; 61(2): 144-50.
64. Kaas Q, Westermann JC, Halai R, et al. Conoserver, A Database For Conopeptide Sequences And Structures. *Bioinformatics* 2008; 24(3): 445-6.
65. Olivera BM. Conus Peptides: Biodiversity-Based Discovery And Exogenomics. *J Biol Chem* 2006; 281(42): 31173-7.
66. Becker S, Terlau H. Toxins From Cone Snails: Properties, Applications And Biotechnological Production. *Appl Microbiol Biotechnol* 2008; 79(1): 1-9.
67. Sharpe IA, Gehrmann J, Loughnan ML, et al. Two New Classes Of Conopeptides Inhibit The A1-Adrenoceptor And Noradrenaline Transporter. *Nature Neurosci* 2001; 4(9): 902-7.
68. Hillyard DR, Monje VD, Mintz IM, et al. A New *Conus* Peptide Ligand For Mammalian Presynaptic Ca²⁺ Channels. *Neuron* 1992; 9(1): 69-77.
69. Kim HW, McIntosh JM. Alpha6 nAChR Subunit Residues That Confer Alpha-Conotoxin BuIA Selectivity. *FASEB J* 2012; 26(10): 4102-10.
70. Stewart MJ, Harding BI, Adamson KJ, et al. Characterisation Of Two Conopressin Precursor Isoforms In The Land Snail, *Theba pisana*. *Peptides* 2016; 80: 32-9.
71. Reyes-Guzman EA, Vega-Castro N, Reyes-Montano EA, et al. Antagonistic Action On NMDA/GluN2B Mediated Currents Of Two

- Peptides That Were Conantokin-G Structure-Based Designed. *BMC Neurosci* 2017; 18: 44.
72. McIntosh JM, Jones RM. Cone Venom - From Accidental Stings To Deliberate Injection. *Toxicon* 2001; 39(10): 1447-51.
73. McIntosh JM, Santos AD, Olivera BM. Conus Peptides Targeted To Specific Nicotinic Acetylcholine Receptor Subtypes. *Annu Rev Biochem* 1999; 68: 59-88.
74. Röckel D, Korn W, Kohn AJ. *Manual of the living Conidae*. Wiesbaden, Germany: Verlag Christa Hemmen, 1995.
75. Kaas Q, Yu R, Jin AH, et al. Conoserver: Updated Content, Knowledge, And Discovery Tools In The Conopeptide Database. *Nucleic Acids Res* 2012; 40(D1): D325-30.
76. Doyle DA, Cabral JM, Pfuetzner RA, et al. The Structure Of The Potassium Channel: Molecular Basis Of K⁺ Conduction And Selectivity. *Science* 1998; 280(5360): 69-77.
77. Lange A, Giller K, Hornig S, et al. Toxin-Induced Conformational Changes In A Potassium Channel Revealed By Solid-State NMR. *Nature* 2006; 440(7086): 959-62.
78. King GF, Gentz MC, Escoubas P, et al. A Rational Nomenclature For Naming Peptide Toxins From Spiders And Other Venomous Animals. *Toxicon* 2008; 52(2): 264-76.
79. Jiang H, Wang CZ, Xu CQ, et al. A Novel M-Superfamily Conotoxin With A Unique Motif From *Conus vexillum*. *Peptides* 2006; 27(4): 682-9.
80. Zhou M, Wang L, Wu Y, et al. Characterizing The Evolution And Functions Of The M-Superfamily Conotoxins. *Toxicon* 2013; 76: 150-9.
81. Tosti E, Boni R, Gallo A. μ -Conotoxins Modulating Sodium Currents In Pain Perception And Transmission: A Therapeutic Potential. *Mar Drugs* 2017; 15(10): 295.
82. Corpuz GP, Jacobsen RB, Jimenez EC, et al. Definition Of The M-Conotoxin Superfamily: Characterization Of Novel Peptides From Molluscivorous Conus Venoms. *Biochemistry* 2005; 44(22): 8176-86.
83. Du WH, Han YH, Huang FJ, et al. Solution Structure Of An M-1 Conotoxin With A Novel Disulfide Linkage. *FEBS J* 2007; 274(10): 2596-602.
84. Franco A, Dovell S, Möller C, et al. Structural Plasticity Of Mini-M Conotoxins - Expression Of All Mini- M Subtypes By *Conus regius*. *FEBS J* 2018; 285(5): 887-902.
85. Remigio EA, Duda Jr TF. Evolution Of Ecological Specialization And Venom Of A Predatory Marine Gastropod. *Mol Ecol* 2008; 17(4): 1156-62.
86. Hansson K, Furie B, Furie BC, et al. Isolation And Characterization Of Three Novel Gla-Containing Conus *Marmoreus* Venom Peptides, One With A Novel Cysteine Pattern. *Biochem Biophys Res Commun* 2004; 319(4): 1081-7.
87. Sousa SR, McArthur JR, Brust A, et al. Novel Analgesic Ω -Conotoxins From The Vermivorous Cone Snail *Conus moncuri* Provide New Insights Into The Evolution Of Conopeptides. *Sci Rep* 2018; 8: 13397.
88. Englan LJ, Imperial J, Jacobsen R, et al. Inactivation Of A Serotonin-Gated Ion Channel By A Polypeptide Toxin From Marine Snails. *Science* 1998; 281(5376): 575-8.
89. Teichert RW, Jimenez EC, Olivera BM. α S-conotoxin RVIII A: A Structurally Unique Conotoxin That Broadly Targets Nicotinic Acetylcholine Receptors. *Biochemistry* 2005; 44(21): 7897-902.
90. Lirazan MB, Hooper D, Corpuz GP, et al. The Spasmodic Peptide Defines A New Conotoxin Superfamily. *Biochemistry* 2000; 39(7): 1583-8.
91. Dutertre S, Jin AH, Kaas Q, et al. Deep Venomics Reveals The Mechanism For Expanded Peptide Diversity In Cone Snail Venom. *Mol Cell Proteomics* 2013; 12(2): 312-29.
92. Jin AH, Dutertre S, Kaas Q, et al. Transcriptomic Messiness In The Venom Duct Of *Conus miles* Contributes To Conotoxin Diversity. *Mol Cell Proteomics* 2013; 12(12): 3824-33.
93. Jimenez EC, Shetty RP, Lirazan M, et al. Novel Excitatory Conus Peptides Define A New Conotoxin Superfamily. *J Neurochem* 2003; 85(3): 610-21.
94. Figueroa-Montiel A, Bernaldez J, Jimenez S, et al. Antimycobacterial Activity: A New Pharmacological Target For Conotoxins Found In The First Reported Conotoxin From *Conasprella ximenes*. *Toxins* 2018; 10(2): 51.
95. Moller C, Rahmankhah S, Lauer-Fields J, et al. A Novel Conotoxin Framework With A

- Helix-Loop-Helix (Cs α/α) Fold. *Biochemistry* 2005; 44(49): 15986-96.
96. Oroz-Parra I, Navarro M, Cervantes-Luevano KE, et al. Apoptosis Activation In Human Lung Cancer Cell Lines By A Novel Synthetic Peptide Derived From *Conus californicus* Venom. *Toxins* 2016; 8(2): 38.
97. Peng C, Liu L, Shao X, et al. Identification Of A Novel Class Of Conotoxins Defined As V-Conotoxins With A Unique Cysteine Pattern And Signal Peptide Sequence. *Peptides* 2008; 29(6): 985-91.
98. Ye M, Hong J, Zhou M, et al. A Novel Conotoxin, Qc16a, With A Unique Cysteine Framework And Folding. *Peptides* 2011; 32(6): 1159-65.
99. Yuan DD, Liu L, Shao XX, et al. Isolation And Cloning Of A Conotoxin With A Novel Cysteine Pattern From *Conus characteristicus*. *Peptides* 2008; 29(9): 1521-5.
100. Chen JS, Fan CX, Hu KP, et al. Studies On Conotoxins Of *Conus betulinus*. *J Nat Toxins* 1999; 8(3): 341-9.
101. Chen P, Garrett JE, Watkins M, et al. Purification And Characterization Of A Novel Excitatory Peptide From *Conus distans* Venom That Defines A Novel Gene Superfamily Of Conotoxins. *Toxicon* 2008; 52(1): 139-45.
102. Prashanth JR, Dutertre S, Jin AH, et al. The Role Of Defensive Ecological Interactions In The Evolution Of Conotoxins. *Mol Ecol* 2016; 25(2): 598-615.
103. Xu S, Zhang T, Kompella SN, et al. Conotoxin α DGeXXA Utilizes A Novel Strategy To Antagonize Nicotinic Acetylcholine Receptors. *Sci Rep* 2015; 5: 14261.
104. Moller C, Mari F. 9.3 KDa Components Of The Injected Venom Of *Conus Purpurascens* Define A New Five-Disulfide Conotoxin Framework. *Biopolymers* 2011; 96(2): 158-65.
105. Robinson SD, Safavi-Hemami H, McIntosh LD, et al. Diversity Of Conotoxin Gene Superfamilies In The Venomous Snail, *Conus victoriae*. *PLoS One* 2014; 9(2): e87648.
106. Elliger CA, Richmond TA, Lebaric ZN, et al. Diversity Of Conotoxin Types From *Conus californicus* Reflects A Diversity Of Prey Types And A Novel Evolutionary History. *Toxicon* 2011; 57(2): 311-22.
107. Biggs JS, Watkins M, Puillandre N, et al. Evolution Of Conus Peptide Toxins: Analysis Of *Conus californicus* Reeve, 1844. *Mol Phylogenet Evol* 2010; 56(1): 1-12.
108. Ye M, Khoo KK, Xu S, et al. A Helical Conotoxin From *Conus imperialis* Has A Novel Cysteine Framework And Defines A New Superfamily. *J Biol Chem* 2012; 287(18): 14973-83.
109. Luo S, Christensen S, Zhangsun D, et al. A Novel Inhibitor of $\alpha 9\alpha 10$ Nicotinic Acetylcholine Receptors From *Conus vexillum* Delineates A New Conotoxin Superfamily. *PLoS One* 2013; 8(1): e54648.
110. Aguilar MB, Zugasti-Cruz A, Falcon A, et al. A Novel Arrangement Of Cys Residues In A Paralytic Peptide Of *Conus cancellatus* (Jr. Syn.: *Conus austini*), A Worm-Hunting Snail From The Gulf Of Mexico. *Peptides* 2013; 41: 38-44.
111. Bernaldez J, Roman-Gonzalez SA, Martinez O, et al. A *Conus Regularis* Conotoxin With A Novel Eightcysteine Framework Inhibits Cav2.2 Channels And Displays An Antinociceptive Activity. *Mar Drugs* 2013; 11(4): 1188-202.
112. Santos AD, McIntosh JM, Hillyard DR, et al. The A-Superfamily Of Conotoxins: Structural And Functional Divergence. *J Biol Chem* 2004; 279(17): 17596-606.
113. Wen J, Adams DJ, Hung A. Interactions Of The $\alpha 3\beta 2$ Nicotinic Acetylcholine Receptor Interfaces with α -Conotoxin LsIA and its Carboxylated C-terminus Analogue: Molecular Dynamics Simulations. *Mar Drugs* 2020; 18(7): 349.
114. Paterson D, Nordberg A. Neuronal Nicotinic Receptors In The Human Brain. *Prog Neurobiol* 2000; 61(1): 75-111.
115. Marquart LA, Turner MW, Warner LR, et al. Ribbon α -Conotoxin KTM Exhibits Potent Inhibition of Nicotinic Acetylcholine Receptors. *Mar Drugs* 2019; 17(12): 669.
116. Ellison M, Gao F, Wang HL, et al. α - Conotoxins ImI and ImII Target Distinct Regions Of The Human $\alpha 7$ Nicotinic Acetylcholine Receptor And Distinguish Human Nicotinic Receptor Subtypes. *Biochemistry* 2004; 43(51): 16019-26.
117. Dineley KT, Pandya AA, Yakel JL. Nicotinic ACh Receptors As Therapeutic Targets In CNS Disorders. *Trends Pharmacol Sci* 2015; 36(2): 96-108.

118. Singh S, Pillai S, Chellappan S. Nicotinic Acetylcholine Receptor Signaling In Tumor Growth And Metastasis. *J Oncol* 2011; 2011: 456743.
119. Hurst R, Rollema H, Bertrand D. Nicotinic Acetylcholine Receptors: From Basic Science To Therapeutics. *Pharmacol Ther* 2013; 137(1): 22-54.
120. Osipov AV, Terpinskaya TI, Yanchanka T, et al. α -Conotoxins Enhance Both The In Vivo Suppression Of Ehrlich Carcinoma Growth And In Vitro Reduction In Cell Viability Elicited By Cyclooxygenase And Lipoxigenase Inhibitors. *Mar Drugs* 2020; 18(4): 193.
121. Napier IA, Klimis H, Rycroft BK, et al. Intrathecal α -conotoxins Vc1.1, AuIB and MII Acting On Distinct Nicotinic Receptor Subtypes Reverse Signs Of Neuropathic Pain. *Neuropharmacology* 2012; 62(7): 2202-7.
122. Jin AH, Vetter I, Dutertre S, et al. MrIC, A Novel α -Conotoxin Agonist In The Presence Of PNU At Endogenous $\alpha 7$ Nicotinic Acetylcholine Receptors. *Biochemistry* 2014; 53(1): 1-3.
123. Giribaldi J, Dutertre S. Alpha-Conotoxins To Explore The Molecular, Physiological And Pathophysiological Functions Of Neuronal Nicotinic Acetylcholine Receptors. *Neurosci Lett* 2018; 679: 24-34.
124. Lebbe EK, Peigneur S, Wijesekara I, et al. Conotoxins Targeting Nicotinic Acetylcholine Receptors: An Overview. *Mar Drugs* 2014; 12(5): 2970-3004.
125. Craik DJ, Fairlie DP, Liras S, et al. The Future Of Peptide-Based Drugs. *Chem Biol Drug Des* 2013; 81(1): 136-47.
126. Inserra MC, Kompella SN, Vetter I, et al. Isolation And Characterization Of α -conotoxin LsIA With Potent Activity At Nicotinic Acetylcholine Receptors. *Biochem Pharmacol* 2013; 86(6): 791-9.
127. Millar NS, Gotti C. Diversity Of Vertebrate Nicotinic Acetylcholine Receptors. *Neuropharmacology* 2009; 56(1): 237-46.
128. Dutertre S, Nicke A, Lewis RJ. Beta2 Subunit Contribution To 4/7 α -conotoxin Binding To The Nicotinic Acetylcholine Receptor. *J Biol Chem* 2005; 280(34): 30460-8.
129. Abraham N, Healy M, Ragnarsson L, et al. Structural Mechanisms For α -Conotoxin Activity At The Human $\alpha 3\beta 4$ Nicotinic Acetylcholine Receptor. *Sci Rep* 2017; 7: 45466.
130. Turner MW, Marquart LA, Phillips PD, et al. Mutagenesis Of Alpha-Conotoxins For Enhancing Activity And Selectivity For Nicotinic Acetylcholine Receptors. *Toxins* 2019; 11(2): 113.
131. Daniel JT, Clark RJ. Molecular Engineering Of Conus Peptides As Therapeutic Leads. *Adv Exp Med Biol* 2017; 1030: 229-54.
132. Friedman JR, Richbart SD, Merritt JC, et al. Acetylcholine Signaling System In Progression Of Lung Cancers. *Pharmacol Ther* 2019; 194: 222-54.
133. Terpinskaya TI, Osipov AV, Kuznetsova TE, et al. α -conotoxins Revealed Different Roles Of Nicotinic Cholinergic Receptor Subtypes In Oncogenesis Of Ehrlich Tumor And In The Associated Inflammation. *Dokl Biochem Biophys* 2015; 463(1): 216-9.
134. Clark RJ, Fischer H, Dempster L, et al. Engineering Stable Peptide Toxins By Means Of Backbone Cyclization: Stabilization Of The α -conotoxin MII. *Proc Natl Acad Sci USA* 2005; 102(39): 13767-72.
135. Cai Y, Yousef A, Grandis JR, et al. NSAID Therapy For PIK3CA-Altered Colorectal, Breast, And Head And Neck Cancer. *Adv Biol Regul* 2020; 75: 100653.
136. Cartier GE, Yoshikami D, Gray WR, et al. A New Alpha-Conotoxin Which Targets $\alpha 3\beta 2$ Nicotinic Acetylcholine Receptors. *J Biol Chem* 1996; 271(13): 7522-8.
137. Berry JN, Engle SE, McIntosh JM, et al. $\alpha 6$ -Containing Nicotinic Acetylcholine Receptors In Midbrain Dopamine Neurons Are Poised To Govern Dopamine-Mediated Behaviors And Synaptic Plasticity. *Neuroscience* 2015; 304: 161-75.
138. Sanjakdar SS, Maldoon PP, Marks MJ, et al. Differential Roles Of $\alpha 6\beta 2^*$ And $\alpha 4\beta 2^*$ Neuronal Nicotinic Receptors In Nicotine- And Cocaine-Conditioned Reward In Mice. *Neuropsychopharmacology* 2015; 40(2): 350-60.
139. Mackey EDW, Engle SE, Kim MR, et al. $\alpha 6^*$ Nicotinic Acetylcholine Receptor Expression And Function In A Visual Saliency Circuit. *J Neurosci* 2012; 32(30): 10226-37.
140. Li X, Wang S, Zhu X, et al. Effects Of Cyclization On Activity And Stability Of α -Conotoxin TxIB. *Mar Drugs* 2020; 18(4): 180.

141. Zhangsun D, Wu Y, Zhu X, et al. Antagonistic Activity Of α -Conotoxin TxIB Isomers On Rat And Human $\alpha 6 / \alpha 3 \beta 2 \beta 3$ Nicotinic Acetylcholine Receptors. *Chin Pharm J* 2017; 52: 574-80.
142. You S, Li X, Xiong J, et al. α -Conotoxin TxIB: A Uniquely Selective Ligand For $\alpha 6 / \alpha 3 \beta 2 \beta 3$ Nicotinic Acetylcholine Receptor Attenuates Nicotine-Induced Conditioned Place Preference In Mice. *Mar Drugs* 2019; 17(9): 490.
143. Cuny H, Yu R, Tae HS, et al. α - Conotoxins Active At $\alpha 3$ -Containing Nicotinic Acetylcholine Receptors And Their Molecular Determinants For Selective Inhibition. *Br J Pharmacol* 2018; 175(11): 1855-68.
144. Xu Q, Tae HS, Wang Z, et al. Rational Design Of α -Conotoxin RgIIA Analogues Selectively Inhibiting The Human $\alpha 3 \beta 2$ Nicotinic Acetylcholine Receptor Through Computational Scanning. *ACS Chem Neurosci* 2020; 11(18): 2804-11.
145. Gu HF, Li N, Tang YL, et al. Nicotinate-Curcumin Ameliorates Cognitive Impairment In Diabetic Rats By Rescuing Autophagic Flux In CA1 Hippocampus. *CNS Neurosci Ther* 2019; 25(4): 430-41.
146. Adams DJ, Berecki G. Mechanisms Of Conotoxin Inhibition Of N-type (Ca(v)2.2) Calcium Channels. *Biochim Biophys Acta* 2013; 1828(7): 1619-28.
147. Gautam S, Roy S, Ansari MN, et al. DuCLOX-2/5 Inhibition: A Promising Target For Cancer Chemoprevention. *Breast Cancer* 2017; 24(2): 180-90.
148. Cheneval O, Schroeder CI, Durek T, et al. Fmoc-Based Synthesis Of Disulfide-Rich Cyclic Peptides. *J Org Chem* 2014; 79(12): 5538-44.
149. Wu X, Huang YH, Kaas Q, et al. Backbone Cyclization Of Analgesic Conotoxin GeXIVA Facilitates Direct Folding Of The Ribbon Isomer. *J Biol Chem* 2017; 292(41): 17101-12.
150. Van Lierop BJ, Robinson SD, Kompella SN, et al. Dicarba α -conotoxin Vc1.1 Analogues With Differential Selectivity For Nicotinic Acetylcholine And GABAB Receptors. *ACS Chem Biol* 2013; 8(8): 1815-21.
151. Christensen SB, Hone AJ, Roux I, et al. RgIA4 Potently Blocks Mouse $\alpha 9 \alpha 10$ nAChRs and Provides Long Lasting Protection against Oxaliplatin-Induced Cold Allodynia. *Front Cell Neurosci* 2017; 11: 219.
152. Romero HK, Christensen SB, Mannelli LDC, et al. Inhibition of $\alpha 9 \alpha 10$ Nicotinic Acetylcholine Receptors Prevents Chemotherapy-induced Neuropathic Pain. *Proc Natl Acad Sci USA* 2017; 114(10): E1825-32.
153. Zouridakis M, Papakyriakou A, Ivanov IA, et al. Crystal Structure Of The Monomeric Extracellular Domain Of $\alpha 9$ Nicotinic Receptor Subunit In Complex With α -conotoxin RgIA: Molecular Dynamics Insights Into RgIA Binding To $\alpha 9 \beta 10$ Nicotinic Receptors. *Front Pharmacol* 2019; 10: 474.
154. Mueller A, Starobova H, Insera MC, et al. α -Conotoxin MrIC Is A Biased Agonist At $\alpha 7$ Nicotinic Acetylcholine Receptors. *Biochem Pharmacol* 2015; 94(2): 155-63.
155. Starobova H, Himaya SW, Lewis RJ, et al. Transcriptomics In Pain Research: Insights From New And Old Technologies. *Mol Omics* 2018; 14(6): 389-404.
156. Himaya SWA, Mari F, Lewis RJ. Accelerated Proteomic Visualization Of Individual Predatory Venoms Of *Conus purpurascens* Reveals Separately Evolved Predation-Evoked Venom Cabals. *Sci Rep* 2018; 8(1): 330.
157. Pawar VK, Meher JG, Singh Y, et al. Targeting Of Gastrointestinal Tract For Amended Delivery Of Protein/Peptide Therapeutics: Strategies And Industrial Perspectives. *J Control Release* 2014; 196: 168-83.
158. Ismail R, Csoka I. Novel Strategies In The Oral Delivery Of Antidiabetic Peptide Drugs-Insulin, GLP1 And Its Analogs. *Eur J Pharm Biopharm* 2017; 115: 257-67.
159. Lovelace ES, Gunasekera S, Alvarmo C, et al. Stabilization Of Alpha-Conotoxin Auib: Influences Of Disulfide Connectivity And Backbone Cyclization. *Antioxid Redox Signal* 2011; 14(1): 87-95.
160. Halai R, Callaghan B, Daly NL, et al. Effects Of Cyclization On Stability, Structure, And Activity Of Alpha-Conotoxin RgIA At The Alpha9alpha10 Nicotinic Acetylcholine Receptor And GABA(B) Receptor. *J Med Chem* 2011; 54(19): 6984-92.
161. Grau V, Richter K, Hone AJ, et al. Conopeptides [V11L; V16D] ArIB and RgIA4: Powerful Tools For the Identification Of Novel Nicotinic Acetylcholine Receptors In Monocytes. *Front Pharmacol* 2019; 9: 1499.

162. Clark RJ, Jensen J, Nevin ST, et al. The Engineering Of An Orally Active Conotoxin For The Treatment Of Neuropathic Pain. *Angew Chem Int Ed Engl* 2010; 49(37): 6545-8.
163. Liu Z, Bartels P, Sadeghi M, et al. A Novel α -conopeptide Eu1.6 Inhibits N-Type (CaV2.2) Calcium Channels And Exhibits Potent Analgesic Activity. *Sci Rep* 2018; 8: 1004.
164. Van Hout M, Valdes A, Christensen SB, et al. α -Conotoxin VnIB From *Conus Ventricosus* Is A Potent And Selective Antagonist Of $\alpha 6\beta 4$ Nicotinic Acetylcholine Receptors. *Neuropharmacology* 2019; 157: 107691.
165. Yang L, Tae HS, Fan Z, et al. A Novel Lid-Covering Peptide Inhibitor Of Nicotinic Acetylcholine Receptors Derived From α D-Conotoxin GeXXA. *Mar Drugs* 2017; 15(6): 164.
166. Christensen SB, Bandyopadhyay PK, Olivera BM, et al. α S-Conotoxin GVIIIB Potently And Selectively Blocks $\alpha 9\alpha 10$ Nicotinic Acetylcholine Receptors. *Biochem Pharmacol* 2015; 96(4): 349-56.
167. Luo S, Zhangsun D, Harvey PJ, et al. Cloning, Synthesis, And Characterization Of α O-conotoxin GeXIVA, A Potent $\alpha 9\alpha 10$ Nicotinic Acetylcholine Receptor Antagonist. *Proc Natl Acad Sci USA* 2015; 112(30): E4026-35.
168. Marquart LA, Turner MW, McDougal OM. Qualitative Assay To Detect Dopamine Release By Ligand Action On Nicotinic Acetylcholine Receptors. *Toxins* 2019; 11(12): 682.
169. Yu S, Li Y, Chen J, et al. TAT-Modified Omega-Conotoxin MVIIA For Crossing The Blood-Brain Barrier. *Mar Drugs* 2019; 17(5): 286.
170. Pope JE, Deer TR. Ziconotide: A Clinical Update And Pharmacologic Review. *Expert Opin Pharmacother* 2013; 14(7): 957-66.
171. Miljanich GP. Ziconotide: Neuronal Calcium Channel Blocker For Treating Severe Chronic Pain. *Curr Med Chem* 2004; 11(23): 3029-40.
172. Merrifield RB. Solid Phase Peptide Synthesis. 1. Synthesis Of A Tetrapeptide. *J Am Chem Soc* 1963; 85(14): 2149-54.
173. Becker S, Atherton E, Gordon RD. Synthesis And Characterization Of Mu-Conotoxin IIIa. *Eur J Biochem* 1989; 185(1): 79-84.
174. Georgiou G, Valax P. Expression Of Correctly Folded Proteins In *Escherichia coli*. *Curr Opin Biotechnol* 1996; 7(2): 190-7.
175. Prinz WA, Aslund F, Holmgren A, et al. The Role of The Thioredoxin and Glutaredoxin Pathways In Reducing Protein Disulfide Bonds In The *Escherichia coli* Cytoplasm. *J Biol Chem* 1997; 272(25): 15661-7.
176. Malakhov MP, Mattern MR, Malakhova OA, et al. SUMO Fusions And SUMO-Specific Protease for Efficient Expression and Purification of Proteins. *J Struct Funct Genomics* 2004; 5: 75-86.
177. Kapust RB, Waugh DS. *Escherichia coli* Maltose-Binding Protein Is Uncommonly Effective at Promoting the Solubility of Polypeptides to Which It Is Fused. *Protein Sci* 1999; 8(8): 1668-74.
178. Lavallie ER, Diblasio EA, Kovacic S, et al. A Thioredoxin Gene Fusion Expression System That Circumvents Inclusion Body Formation in the *Escherichia coli* Cytoplasm. *Biotechnology* 1993; 11(2): 187-93.
179. Nygren PA, Stahl S, Uhlen M. Engineering Proteins To Facilitate Bioprocessing. *Trends Biotechnol* 1994; 12(5): 184-8.
180. Gottesman S. Proteases And Their Targets In *Escherichia coli*. *Annu Rev Genet* 1996; 30: 465-506.
181. Xia Z, Chen Y, Zhu Y, et al. Recombinant Omega-Conotoxin MVIIA Possesses Strong Analgesic Activity. *BioDrugs* 2006; 20(5): 275-81.
182. Zamponi GW. Targeting Voltage-Gated Calcium Channels In Neurological And Psychiatric Diseases. *Nat Rev Drug Discov* 2016; 15: 19-34.
183. Sanford M. Intrathecal Ziconotide: A Review Of Its Use In Patients With Chronic Pain Refractory To Other Systemic Or Intrathecal Analgesics. *CNS Drugs* 2013; 27(11): 989-1002.
184. Lewis RJ, Nielsen KJ, Craik DJ, et al. Novel ω -Conotoxins From *Conus catus* Discriminate Among Neuronal Calcium Channel Subtypes. *J Biol Chem* 2000; 275(45): 35335-44.
185. Kolosov A, Aurini L, Williams ED, et al. Intravenous Injection Of Leconotide, An ω -Conotoxin: Synergistic Antihyperalgesic Effects With Morphine In A Rat Model Of Bone Cancer Pain. *Pain Med* 2011; 12(6): 923-41.
186. Wang F, Yan Z, Liu Z, et al. Molecular Basis Of Toxicity Of N-type Calcium Channel Inhibitor MVIIA. *Neuropharmacology* 2016; 101: 137-45.

187. Sousa SR, Vetter I, Lewis RJ. Venom Peptides As A Rich Source Of Cav2.2 Channel Blockers. *Toxins* 2013; 5(2): 286-314.
188. Pan X, Li Z, Huang X, et al. Molecular Basis For Pore Blockade Of Human Na⁽⁺⁾ Channel Nav1.2 By The mu-Conotoxin KIIIa. *Science* 2019; 363(6433): 1309-13.
189. Gajewiak J, Azam L, Imperial J, et al. A Disulfide Tether Stabilizes The Block Of Sodium Channels By The Conotoxin $\mu\text{O}\xi\text{-GVIII}$. *Proc Natl Acad Sci USA* 2014; 111(7): 2758-63.
190. Chen F, Huang W, Jiang T, et al. Determination of the $\mu\text{-}$ Conotoxin PIIIa Specificity Against Voltage-Gated Sodium Channels From Binding Energy Calculations. *Mar Drugs* 2018; 16(5): 153.
191. Van Wagoner RM, Ireland CM. An Improved Solution Structure For $\psi\text{-}$ Conotoxin PIIIe. *Biochemistry* 2003; 42(21): 6347-52.
192. Van Wagoner RM, Jacobsen RB, Olivera BM, et al. Characterization And Three-Dimensional Structure Determination Of $\psi\text{-}$ conotoxin pIIIe, A Novel Noncompetitive Antagonist Of Nicotinic Acetylcholine Receptors. *Biochemistry* 2003; 42(21): 6353-62.
193. Violette A, Biass D, Dutertre S, et al. Large-Scale Discovery Of Conopeptides And Conoproteins In The Injectable Venom Of A Fishhunting Cone Snail Using A Combined Proteomic And Transcriptomic Approach. *J Proteomics* 2012; 75(17): 5215-25.
194. Del Rio-Sancho S, Cros C, Coutaz B, et al. Cutaneous Iontophoresis Of $\mu\text{-}$ conotoxin CnIIIc-A Potent Nav1.4 Antagonist with Analgesic, Anaesthetic and Myorelaxant Properties. *Int J Pharm* 2017; 518(1-2): 59-65.
195. Bennett DL, Clark AJ, Huang J, et al. The Role Of Voltage-Gated Sodium Channels In Pain Signaling. *Physiol Rev* 2019; 99(2): 1079-151.
196. Deuis JR, Mueller A, Israel MR, et al. The Pharmacology Of Voltage-Gated Sodium Channel Activators. *Neuropharmacology* 2017; 127: 87-108.
197. Leipold E, Ullrich F, Thiele M, et al. Subtype-Specific Block Of Voltage-Gated K⁽⁺⁾ Channels By $\mu\text{-}$ Conopeptides. *Biochem Biophys Res Commun* 2017; 482(4): 1135-40.
198. Wilson MJ, Yoshikami D, Azam L, et al. Block Of Sodium Channels Nav1.1-1.8 By A Panel Of $\mu\text{-}$ Conotoxins: Identity Of Channels Responsible For Action Potentials In Sciatic Nerve. *PNAS* 2011; 338: 689-93.
199. Aman JW, Imperial JS, Ueberheide B, et al. Insights Into The Origins Of Fish Hunting In Venomous Cone Snails From Studies Of *Conus tessulatus*. *Proc Natl Acad Sci USA* 2015; 112(16): 5087-92.
200. Jin AH, Israel MR, Inserra MC, et al. $\delta\text{-}$ Conotoxin SuVIA Suggests An Evolutionary Link Between Ancestral Predator Defence And The Origin Of Fish-Hunting Behaviour In Carnivorous Cone Snails. *Proc Royal Soc B Biol Sci* 2015; 282(1811): 20150817.
201. Boccaccio A, Conti F, Olivera BM, et al. Binding Of Kappa-Conotoxin PVIIa To Shaker K⁽⁺⁾ Channels Reveals Different K⁽⁺⁾ And Rb⁽⁺⁾ Occupancies Within The Ion Channel Pore. *J Gen Physiol* 2004; 124(1): 71-81.
202. Naranjo D. Inhibition Of Single Shaker K Channels By Kappa-Conotoxin-PVIIa. *Biophys J* 2002; 82(6): 3003-11.
203. Shon KJ, Stocker M, Terlau H, et al. Kappa-Conotoxin PVIIa Is A Peptide Inhibiting The Shaker K⁽⁺⁾ Channel. *J Biol Chem* 1998; 273(1): 33-8.
204. Zhang SJ, Yang XM, Liu GS, et al. CGX-1051, A Peptide From Conus Snail Venom, Attenuates Infarction In Rabbit Hearts When Administered At Reperfusion. *J Cardiovasc Pharmacol* 2003; 42(6): 764-71.
205. Kancherla AK, Meesala S, Jorwal P, et al. A Disulfide Stabilized B-Sandwich Defines The Structure Of A New Cysteine Framework M-Superfamily Conotoxin. *ACS Chem Biol* 2015; 10(8): 1847-60.
206. Aguilar MB, Pérez-Reyes LI, López Z, et al. Peptide Sr11a From *Conus spurius* Is A Novel Peptide Blocker For Kv1 Potassium Channels. *Peptides* 2010; 31(7): 1287-91.
207. Dawson PE, Kent SBH. Synthesis Of Native Proteins By Chemical Ligation. *Annu Rev Biochem* 2000; 69: 923-60.
208. Dy CY, Buczek P, Imperial JS, et al. Structure Of Konkunitzin-S1, A Neurotoxin And Kunitz-Fold Disulfide Variant From Cone Snail. *Acta Crystallogr D Biol Crystallogr* 2006; 62: 980-90.
209. Baneyx F. Recombinant Protein Expression In *Escherichia coli*. *Curr Opin Biotechnol* 1999; 10(5): 411-21.

210. Donevan SD, McCabe RT. Conantokin G Is An NR2Bselective Competitive Antagonist Of N-Methyl-D-Aspartate Receptors. *Mol Pharmacol* 2000; 58(3): 614-23.
211. Chen Z, Blandl T, Prorok M, et al. Conformational Changes Inconantokin-G Induced Upon Binding Of Calcium And Magnesium As Revealed By NMR Structural Analysis. *J Biol Chem* 1998; 273(26): 16248-58.
212. Liu X, Yao G, Wang K, et al. Structural And Functional Characterization Of Conotoxins From *Conus achatinus* Targeting NMDAR. *Mar Drugs* 2020; 18(3): 135.
213. Yuan Y, Balsara RD, Zajicek J, et al. Discerning The Role Of The Hydroxyproline Residue In The Structure Of Conantokin RI-B And Its Role In Glun2b Subunit-Selective Antagonistic Activity Toward N-Methyl-d-Aspartate Receptors. *Biochemistry* 2016; 55(51): 7112-22.
214. Maillou M, Aguilar MB, Lopez-Vera E, et al. Conorfamide, A *Conus* Venom Peptide Belonging To The Rfamamide Family Of Neuropeptides. *Toxicon* 2002; 40(4): 401-7.
215. Drane SB, Robinson SD, MacRaild CA, et al. Structure And Activity Of Contryphan-Vc2: Importance Of The D-Amino Acid Residue. *Toxicon* 2017; 129: 113-22.
216. Sonti R, Gowd KH, Rao KN, et al. Conformational Diversity In Contryphans From *Conus* Venom: Cis-Trans Isomerisation And Aromatic/Proline Interactions In The 23-Membered Ring Of A 7-Residue Peptide Disulfide Loop. *Chem Eur J* 2013; 19(45): 15175-89.
217. Robinson SD, Chhabra S, Belgi A, et al. A Naturally Occurring Peptide With An Elementary Single Disulfide-Directed β -hairpin Fold. *Structure* 2016; 24(2): 293-9.
218. Balsara R, Li N, Weber-Adrian D, et al. Opposing Action Of Conantokin-G On Synaptically And Extrasynaptically-Activated NMDA Receptors. *Neuropharmacology* 2012; 62(7): 2227-38.
219. Warder SE, Blandl T, Klein RC, et al. Amino Acid Determinants For NMDA Receptor Inhibition By Conantokin-T. *J Neurochem* 2001; 77(3): 812-22.
220. Imperial JS, Watkins M, Chen P, et al. The Augertoxins: Biochemical Characterization Of Venom Components From The Toxoglossate Gastropod *Terebra subulata*. *Toxicon* 2003; 42(4): 391-8.
221. Imperial JS, Kantor Y, Watkins M, et al. Venomous Auger Snail *Hastula (Impages) Hec tica* (Linnaeus, 1758): Molecular Phylogeny, Foregut Anatomy And Comparative Toxinology. *J Exp Zool B Mol Dev Evol* 2007; 308(6): 744-56.
222. López-Vera E, De La Cotera EPH, Maillou M, et al. A Novel Structural Class Of Toxins: The Methionine-Rich Peptides From The Venoms Of Turrid Marine Snails (Mollusca, Conoidea). *Toxicon* 2004; 43(4): 365-74.
223. Heralde FM 3rd, Imperial J, Bandyopadhyay PK, et al. A Rapidly Diverging Superfamily Of Peptide Toxins In Venomous *Gemmula* Species. *Toxicon* 2008; 51(5): 890-7.
224. Cabang AB, Imperial JS, Gajewiak J, et al. Characterization Of A Venom Peptide From A Crassispirid Gastropod. *Toxicon* 2011; 58(8): 672-80.
225. Puillandre N, Meyer CP, Bouchet P, et al. Genetic Divergence And Geographic Variation In The Deep-Water *Conus orbigny* Complex (Mollusca: Conoidea). *Zool Scr* 2011; 40(4): 350-63.
226. Taylor JD, Kantor YI, Sysoev AV. Foregut Anatomy, Feeding Mechanisms, Relationships And Classification Of The Conoidea (=Toxoglossa) (Gastropoda). *Bull Nat Hist Museum Zool S* 1993; 59(2): 125-70.
227. Safavi-Hemami H, Gajewiak J, Karanth S, et al. Specialized Insulin Is Used For Chemical Warfare By Fish-Hunting Cone Snails. *Proc Natl Acad Sci USA* 2015; 112(6): 1743-8.
228. Robinson SD, Safavi-Hemami H. Insulin As A Weapon. *Toxicon* 2016; 123: 56-61.
229. Menting JG, Gajewiak J, MacRaild CA, et al. A Minimized Human Insulin-Receptor-Binding Motif Revealed In A *Conus geographus* Venom Insulin. *Nat Struct Mol Biol* 2016; 23(10): 916-20.
230. Ahorukomeye P, Disotuar MM, Gajewiak J, et al. Fish-Hunting Cone Snail Venoms Are A Rich Source Of Minimized Ligands Of The Vertebrate Insulin Receptor. *Elife* 2019; 8: e41574.
231. Menting JG, Whittaker J, Margetts MB, et al. How Insulin Engages Its Primary Binding Site On The Insulin Receptor. *Nature* 2013; 493(7431): 241-5.
232. Campos-Lira E, Carrillo E, Aguilar MB, et al. Conorfamide-Sr3, A Structurally Novel Specific

- Inhibitor Of The Shaker K⁺ Channel. *Toxicon* 2017; 138: 53-8.
233. Jin AH, Cristofori-Armstrong B, Rash LD, et al. Novel Conorfamides From *Conus austini* Venom Modulate Both Nicotinic Acetylcholine Receptors And Acid-Sensing Ion Channels. *Biochem Pharmacol* 2019; 164: 342-8.
234. Aguilar MB, Luna-Ramírez KS, Echeverría D, et al. Conorfamide-Sr2, A Gamma-Carboxyglutamate-Containing Fmrfamide-Related Peptide From The Venom Of *Conus spurius* With Activity In Mice And Mollusks. *Peptides* 2008; 29(2): 186-95.
235. López-Vera E, Aguilar MB, De La Coteria EPH. FMRFamide And Related Peptides In The *Phylum mollusca*. *Peptides* 2008; 29(2): 310-7.
236. Lee H, Wang H, Jen JC, et al. A Novel Mutation In KCNA1 Causes Episodic Ataxia Without Myokymia. *Hum Mutat* 2004; 24(6): 536.
237. Frolov RV, Bagati A, Casino B, et al. Potassium Channels In *Drosophila*: Historical Breakthroughs, Significance, And Perspectives. *J Neurogenet* 2012; 26(3-4): 275-90.
238. Martel P, Leo D, Fulton S, et al. Role Of Kv1 Potassium Channels In Regulating Dopamine Release And Presynaptic D2 Receptor Function. *PLoS ONE* 2011; 6(5): e20402.
239. Ding H, Deng EZ, Yuan LF, et al. iCTX-Type: A Sequence-Based Predictor For Identifying The Types Of Conotoxins In Targeting Ion Channels. *Biomed Res Int* 2014; 2014: 286419.
240. Suzuki S, Baba A, Kaida K, et al. Cardiac Involvements In Myasthenia Gravis Associated With Anti-Kv1.4 Antibodies. *Eur J Neurol* 2014; 21(2): 223-30.
241. Sudaralal S, Singaravadevelan G, Ramasamy P, et al. A Novel 13 Residue Acyclic Peptide From The Marine Snail, *Conus monile*, Targets Potassium Channels. *Biochem Biophys Res Commun* 2004; 317(3): 682-8.
242. Mahdavi S, Kuyucak S. Why The *Drosophila* Shaker K⁺ Channel Is Not A Good Model For Ligand Binding To Voltage-Gated Kv1 Channels. *Biochemistry* 2013; 52(9): 1631-40.
243. Al-Sabi A, Lennartz D, Ferber M, et al. kM-Conotoxin RIIK, Structural And Functional Novelty In A K⁺ Channel Antagonist. *Biochemistry* 2004; 43(27): 8625-35.
244. Robinson SD, Safavi-Hemami H, Raghuraman S, et al. Discovery By Proteogenomics And characterization Of An RF-Amide Neuropeptide From Cone Snail Venom. *J Proteomics* 2015; 114: 38-47.
245. Reimers C, Lee CH, Kalbacher H, et al. Identification Of A Cono-Rfamamide From The Venom Of *Conus textile* That Targets ASIC3 And Enhances Muscle Pain. *Proc Natl Acad Sci USA* 2017; 114(17): E3507-15.
246. Escoubas P, De Weille JR, Lecoq A, et al. Isolation Of A Tarantula Toxin Specific For A Class Of Proton-Gated Na⁺ Channels. *J Biol Chem* 2000; 275(33): 25116-21.
247. Diochot S, Baron A, Rash LD, et al. A New Sea Anemone Peptide, Apetx2, Inhibits ASIC3, A Major Acid-Sensitive Channel In Sensory Neurons. *EMBO J* 2004; 23(7): 1516-25.
248. Bohlen CJ, Chesler AT, Sharif-Naeini R, et al. A Heteromeric Texas Coral Snake Toxin Targets Acidsensing Ion Channels To Produce Pain. *Nature* 2011; 479: 410-14.
249. Diochot S, Baron A, Salinas M, et al. Black Mamba Venom Peptides Target Acid-Sensing Ion Channels To Abolish Pain. *Nature* 2012; 490: 552-5.
250. Jin AH, Dekan Z, Smout MJ, et al. Conotoxin ϕ -MiXXVIIA From The Superfamily G2 Employs A Novel Cysteine Framework That Mimics Granulin And Displays Anti-Apoptotic Activity. *Angew Int Ed Chem* 2017; 56(47): 14973-6.
251. Smout MJ, Mulvenna JP, Jones MK, et al. Expression, Refolding And Purification Of Ov-GRN-1, A Granulin-Like Growth Factor From The Carcinogenic Liver Fluke, That Causes Proliferation Of Mammalian Host Cells. *Protein Expr Purif* 2011; 79(2): 263-70.
252. Nielsen LD, Foged MM, Albert A, et al. The Three-Dimensional Structure Of An H-Superfamily Conotoxin Reveals A Granulin Fold Arising From A Common ICK Cysteine Framework. *J Biol Chem* 2019; 294(22): 8745-59.
253. Imperial JS, Chen P, Sporning A, et al. Tyrosine-rich Conopeptides Affect Voltage-gated K⁺ Channels. *J Biol Chem* 2008; 283(34): 23026-32.
254. Calvete JJ. Venomics: Integrative Venom Proteomics And Beyond. *Biochem J* 2017; 474(5): 611-34.

255. Oldrati V, Arrell M, Violette A, et al. Advances In Venomics. *Mol Biosyst* 2016; 12(12): 3530-43.
256. Dutt M, Dutertre S, Jin AH, et al. Venomics Reveals Venom Complexity Of The Piscivorous Cone Snail *Conus tulipa*. *Mar Drugs* 2019; 17(1): 71.
257. Gao C, Peng C, Yang J, et al. Cone Snails: A Big Store Of Conotoxins For Novel Drug Discovery. *Toxins* 2017; 9(12): 397.
258. Mardis ER. DNA Sequencing Technologies: 2006–2016. *Nat Protoc* 2017; 12(2): 213-8.
259. Pi C, Liu Y, Peng C, et al. Analysis Of Expressed Sequence Tags From Venom Ducts Of *Conus striatus*: Focusing On The Expression Profile Of Conotoxins. *Biochimie* 2006; 88(2): 131-40.
260. Hu H, Bandyopadhyay PK, Olivera BM, et al. Elucidation Of The Molecular Envenomation Strategy Of The Cone Snail *Conus geographus* Through Transcriptome Sequencing Of Its Venom Duct. *BMC Genomics* 2012; 13: 284.
261. Robinson SD, Li Q, Lu A, et al. The Venom Repertoire Of *Conus gloriamaris* (Chemnitz, 1777), The Glory Of The Sea. *Mar Drugs* 2017; 15(5): 145.
262. Jin AH, Dutertre S, Dutt M, et al. Transcriptomic-Proteomic Correlation In The Predation-Evoked Venom Of The Cone Snail *Conus imperialis*. *Mar Drugs* 2019; 17(3): 177.
263. Wilson D, Daly NL. Nuclear Magnetic Resonance Seq (NMRseq): A New Approach To Peptide Sequence Tags. *Toxins* 2018; 10(11): 437.
264. Vetter I, Davis JL, Rash LD, et al. Venomics: A New Paradigm For Natural Products-Based Drug Discovery. *Amino Acids* 2011; 40(1): 15-28.
265. Prashanth JR, Lewis RJ. An Efficient Transcriptome Analysis Pipeline To Accelerate Venom Peptide Discovery And Characterisation. *Toxicon* 2015; 107(Pt B): 282-9.
266. Lavergne V, Dutertre S, Jin AH, et al. Systematic Interrogation Of The *Conus marmoreus* Venom Duct Transcriptome With Conosorter Reveals 158 Novel Conotoxins And 13 New Gene Superfamilies. *BMC Genomics* 2013; 14: 708.
267. Koua D, Brauer A, Laht S, et al. Conodictor: A Tool For Prediction Of Conopeptide Superfamilies. *Nucleic Acids Res* 2012; 40(W1): W238-41.
268. Mondal S, Bhavna R, Mohan Babu R, et al. Pseudo Amino Acid Composition And Multi-Class Support Vector Machines Approach For Conotoxin Superfamily Classification. *J Theor Biol* 2006; 243(2): 252-60.
269. Fan YX, Song J, Shen HB, et al. PredCSF: An Integrated Feature-Based Approach For Predicting Conotoxin Superfamily. *Protein Pept Lett* 2011; 18(3): 261-7.
270. Yin JB, Fan YX, Shen HB. Conotoxin Superfamily Prediction Using Diffusion Maps Dimensionality Reduction And Subspace Classifier. *Curr Protein Pept Sci* 2011; 12(6): 580-8.
271. Yuan LF, Ding C, Guo SH, et al. Prediction Of The Types Of Ion Channel-Targeted Conotoxins Based On Radial Basis Function Network. *Toxicol In Vitro* 2013; 27(2): 852-6.
272. Li Q, Watkins M, Robinson SD, et al. Discovery Of Novel Conotoxin Candidates Using Machine Learning. *Toxins* 2018; 10(12): 503.

Review Article

Toxinology of Marine Venomous Snails

GH. Mohebbi (PhD)^{1}, I. Nabipour (MD)^{1**}*

¹ *The Persian Gulf Marine Biotechnology Research Center, The Persian Gulf Biomedical Sciences Research Institute, Bushehr University of Medical Sciences, Bushehr, Iran*

(Received 16 Aug, 2021

Accepted 22 Oct, 2021)

Abstract

A surprisingly large number of sea snail species are venomous. Cone snail venoms are produced in a lengthy tubular duct from a complex venom gland and form a cocktail of many toxins, particularly conotoxins which have high potency and specificity for their target specific receptors. They inhibit various channels, neuromuscular receptors or hormones of the victim, and interfere in the transmitted signals of the prey, or dissuade predators. Cone snails have an amazing ability to quickly convert between two different types of defense-evoked and predation-evoked venoms in response to defensive or predatory stimuli. Various conotoxins and conopeptides such as α -conotoxins, σ -conotoxins, ω -conotoxins, μ -conotoxins, ψ -conotoxins, τ -conotoxins, δ -conotoxins, κ -conotoxins and conkunitzins, conantokins, contryphans, Ac1 conotoxins, conoinsulins, granulin-like conotoxins from conoidea; augerpeptides derived from the venom peptide family Terebridae; turripeptides from the venom peptide family Turridae; crassipeptides venom peptides from Crassispiridae; clathurellipeptides from venomous micro-conoidea Clathurellidae, and other toxins such as RFamide peptides and endogenous neuropeptide-like peptides such as conopressins, as well as contulakins have been found in cone snail venoms, which have demonstrated remarkable biological and pharmacological functions. Given the approval of some conotoxins, such as the analgesic medication ziconotide (Prialt®) in clinical trials as well as their biomedical potential, current research has focused on these toxins. The use of integrated venomomics approaches has dramatically accelerated the detection of conotoxin sequences. It is anticipated that a better understanding and identification of conotoxins and other toxins derived from other sea snails will lead to their use for the treatment of diseases to which humans have succumbed.

Keywords: Sea snails, Venom, Toxin, Mode of action

©Iran South Med J.All right reserved

Cite this article as: Mohebbi GH, Nabipour I. Toxinology of Marine Venomous Snails. Iran South Med J 2021; 24(5): 505-581

Copyright © 2021 Mohebbi et al. This is an open-access article distributed under the terms of the Creative Commons Attribution-noncommercial 4.0 International License which permits copy and redistribute the material just in noncommercial usages, provided the original work is properly cited.

***Address for correspondence:* The Persian Gulf Marine Biotechnology Research Center, The Persian Gulf Biomedical Sciences Research Institute, Bushehr University of Medical Sciences, Bushehr, Iran Email: inabipour@gmail.com

*ORCID: 0000-0003-3393-702X

**ORCID: 0000-0002-1785-0883

Website: <http://bpums.ac.ir>
Journal Address: <http://ismj.bpums.ac.ir>